

YILDIZ TEKNİK ÜNİVERSİTESİ
FEN BİLİMLERİ ENSTİTÜSÜ

Viyadük, San., kes., Yük., Orta Aya., Hes.,

VÖKSEK LİSANS TEZİ

Arsenij Denisenko

1990

52-

150

83

İnş

35000 TL

YILDIZ ÜNİVERSİTESİ
FEN BİLİMLERİ ENSTİTÜSÜ

YİYADÜKLERDE SANDIK KESİTLİ YÜKSEK ORTA
AYAKLARIN HESABI

YÜKSEK LİSANS TEZİ

İnş.Müh. ARSENİ DENİSENKO

İSTANBUL - 1990

YILDIZ TEKNİK ÜNİVERSİTESİ
KÜTÜPHANE DOKÜMANTASYON
DAİRE BAŞKANLIĞI

R 150
Kot 183
Alındığı Yer : FEN BİL. ENS.
.....
Tarih : 21.10.1991
Fatura : - - - - -
Fiyatı : 35.000.TL.
Ayniyat No : 1/15
Kayıt No : 47776
UDC : 624. 378.242.
Ek :



YILDIZ UNIVERSITESI FEN BİLİMLERİ ENSTİTUSU

YILDIZ ÜNİVERSİTESİ
D.B. No 45552

VİYADUKLERDE SANDIK KESİTLİ YÜKSEK ORTA AYAKLARIN
HESABI

YÜKSEK LISANS TEZİ

ANA BİLİM DALI : İNŞAAT

İNŞ. MUH. ARSENI DENISENKO



YÖNETEN : PROF. DR. HUSEYİN CELASUN

OCAK , 1990

1. İNCELEME VE TANIMLAR

1.1. Matris Dayanma Girişleri Üntüne Tezis

1.2. Diferansiyel Denklemlerin Çözümleri

1.3. Diferansiyel Denklemlerin Çözümleri

1.4. Diferansiyel Denklemlerin Çözümleri

1.5. Diferansiyel Denklemlerin Çözümleri

2. DİFERANSİYEL DENKLEMLER

2.1. Diferansiyel Denklemlerin Çözümleri

2.2. Diferansiyel Denklemlerin Çözümleri

2.3. Diferansiyel Denklemlerin Çözümleri

2.4. Diferansiyel Denklemlerin Çözümleri

2.5. Diferansiyel Denklemlerin Çözümleri

TEŞEKKUR

Bu tezin hazırlanmasında değerli bilgilerini ve ellindeki kaynakları benden esirgemeyen sayın Prof.Dr. Hüseyin CELASUN'a teşekkürü bir borç bilirim.Saygılarımla.

1. Diferansiyel Denklemler

1.1. Diferansiyel Denklemlerin Çözümleri

1.2. Diferansiyel Denklemlerin Çözümleri

1.3. Diferansiyel Denklemlerin Çözümleri

1.4. Diferansiyel Denklemlerin Çözümleri

1.5. Diferansiyel Denklemlerin Çözümleri

1.6. Diferansiyel Denklemlerin Çözümleri

1.7. Diferansiyel Denklemlerin Çözümleri

1.8. Diferansiyel Denklemlerin Çözümleri

1.9. Diferansiyel Denklemlerin Çözümleri

1.10. Diferansiyel Denklemlerin Çözümleri

1.11. Diferansiyel Denklemlerin Çözümleri

1.12. Diferansiyel Denklemlerin Çözümleri

1.13. Diferansiyel Denklemlerin Çözümleri

1.14. Diferansiyel Denklemlerin Çözümleri

1.15. Diferansiyel Denklemlerin Çözümleri

1.16. Diferansiyel Denklemlerin Çözümleri

1.17. Diferansiyel Denklemlerin Çözümleri

1.18. Diferansiyel Denklemlerin Çözümleri

1.19. Diferansiyel Denklemlerin Çözümleri

- ÖZET
GİRİŞ
1. BÖLUM 1
NOTASYONLAR VE TANIMLAR
- BÖLUM 2
- 2.1 Boyutsuz ve Rölatif Dayanma Güçleri Üstüne Temel Bilgiler
- 2.2 SIA 162 /34 Şartlarına Göre Taban Hesabı
- 2.3 Sandık Kesit İçin Abaklar
- 2.3.1 Tasarım Modu Seçimi
- 2.3.2 Parametrelerin Seçimi
- a Beton
- b Donatı
- c İki Bakımdan Simetrik Kesitler
- BÖLUM 3
ABAKLARIN IKINCI MERTEBEDEN ETKİ HESAPLARINA UYGULANMASI (BİLEŞİK EGİLME)
- 3.1 Basitleştirilmiş Yöntemin İlkesi
- 3.2 Plastik Bir Kesitin Ortalama Rigidliginin Tanımı
- 3.3 Normal Kuvvet Rigidlik Bagıntısı
- 3.4 Bileşik Egilme Abakları İle EJ Rigidliginin Uygunlamalı Hesabı
- 3.4.1 Genel Açıklamalar
- 3.4.2 35 Nö'lü Yönegenin Sadeleştirilmiş Yöntemi
- 3.4.3 Rigidlik Hesabı İçin Dogrudan Yöntem
- 3.4.4 Fluat Etkisi Hakkında Sadeleştirilmiş Düşünceler
- BÖLUM 4
- 4.1 Tarifler ve Kabuller
- 4.1.1 Sandık Kesit
- 4.1.2 İki Dogrultuda Flambaj
- 4.1.3 Kabul Edilen Gerilme-Birimboy Değişimi Diagramları
- 4.1.4 Denge Şartları
- 4.1.5 Momentlik-Egrilik Bagıntısından Egilme Rigidliginin Türetilmesi
- 4.2 Yükleme Durumları
- 4.2.1 Sayısal Tablo
- 4.2.2 Gövde Donatısının Gözönüne Alınması
- 4.3 Stabilite Tahkiki
- 4.3.1 Esaslar
- 4.3.2 Formüllerin Çıkarılması
- BÖLUM 5
EKLER
- 5.1 $= f(m/m')$ Bagıntısının Lineerliği
- 5.2 4 Çubuklu Donatı Abaklarıyla Lineer Olarak Dağılan Donatı Abakları Arasındaki Interpolasyon
- 5.3 $= (t/b) (t/H)$ Parametresine Göre Interpolasyon Kontrolü

BÖLÜM 6 ÖRNEKLER

- 6.1 $m = m /m$ 'e Göre Interpolasyon
- 6.2 t /b ve t /H Parametresine Göre Interpolasyon
- 6.3 Donatının Durumuna Göre Interpolasyon
- 6.4 Fluaj Etkisi İle ve Etkisi Olmadan Viyadük Orta Ayağının Boyutlandırılması
 - 6.4.1 Fluaj Etkisi Gözönüne Alınmadan Yapılan Bir Donatı Boyutlaması
 - 6.4.2 Fluaj Etkisi
- Kaynaklar
- Abaklar

İşbu bölümde orta ayağının boyutları kayıcı halip, kırık, kalan, sümük, sümük-sümük yapıllılar. Sümüklerin yapılmıştı pişmiş olduğu ve 2. merkeze göre yapılmazıdır. Bu yapımlar çeşitli metodlar ile bu şartları karşılamaktadır. Bir iterasyon işlemiyle boyutlanan boyutlar (sümük boyutları) ve boyutlu enkazit türlerinin boyutları.

GİRİŞ

Vyadüklerde orta ayaklar genetikle sandık kesitli olmaları istenir. Kayıcı kalıplar kullanıldığı zaman, orta ayaklar sade dikdörtgen enkesit ve genetikle örülmüş olasılıklar daha sıvırılmışıdır. Buna rağmen, sandık kesitli hesaplamalar orta ayakların eğimi, gitme hızı, plastiklik, kırılma direnci ve boyutlandırma kolaylığı gibi teknik özelliklerde iyileşme göstermektedir.

ÖZET:

Yüksek viyadüklerde orta ayaklar, özellikle kayıcı kalıp kullanıldığı zaman, sandık kesitli olarak yapılırlar. Bunların hesapları plastik mafsallarla ve 2. meretebe teorisine göre yapılmalıdır. Bu çalışmada verilen metodlar az zaman sarfı ile bu şartları yerine getirir. Bir iterasyon prosesi yardımıyla boyutlandırmada kullanılacak momentleri ve gerekli donatı enkesit alanlarını verir.

Aşağıda, yüksekviyadüklerde orta ayaklar hesaplamaları hakkında bilgi verilmektedir.

— Hareketler, statik durumda ein alnan hareketdir. Yuklerin düşen boy değişmelerinden dolayı, eksen, eksenler ileri geri hareketlenir.

— Hareketin miktarı hareketindeki eksenin maksimuma ulaşması, sentetik kuvvet.

— Hareketin maksimuma ulaşması.

— Hareketin maksimuma ulaşması, orta ayakların eğimi, gitme hızı, plastiklik, kırılma direnci ve boyutlandırma kolaylığı gibi teknik özelliklerde iyileşme göstermektedir.

ÖZET

Yüksek viyadüklerde orta ayaklar genetikle sandık kesitli olmaları istenir. Kayıcı kalıplar kullanıldığı zaman, orta ayaklar sade dikdörtgen enkesit ve genetikle örülmüş olasılıklar daha sıvırılmışıdır. Buna rağmen, sandık kesitli hesaplamalar orta ayakların eğimi, gitme hızı, plastiklik, kırılma direnci ve boyutlandırma kolaylığı gibi teknik özelliklerde iyileşme göstermektedir.

Orta ayakların Dengezi

Orta ayakların dengesi 3 durumda elde edilir:

-- Dengez oluyor.

GİRİŞ:

Yüksek viyadüklerde orta ayaklar genellikle sandık kesitli olarak inşa edilirler. Kayıcı kalıplar kullanıldığı zaman, orta ayaklar için dikdörtgen enkesit ve genellikle düşey cidarlar daha elverişlidir. Bundan dolayı, sandık kesitli betonarme orta ayakların taşıma gücüne göre, plastik mafsalılarla ve 2. mertebe teorisi kullanılarak hesaplanabilir.

Orta Ayaklara Gelen Tesirler

Bunlar, mekanik, fizik veya kimyasal orjinlidir.

Açıklıkların reaksiyonları: Mekanik orjinli bu tesirler şunlardan ileri gelir:

- Daimi yükler, statik durumda ele alınan hareketli yükler ve lineer boy değişimlerinden (ısı, rötre, sünme) ileri gelen reaksiyonlar.
- Hareketli yüklerin hareketinden ileri gelen reaksiyonlar (fren kuvveti, santrifüj kuvvet)
- Mesnet sürtünme reaksiyonları

Orta ayaklarda, dış kuvvetlerin bileşkesi ne kadar kesitin merkezine yakın geçerse ve ne kadar düşeye yakın bulunursa stabilité ve ekonomi yönünden o kadar iyidir.

Rüzgar ve Deprem Etkisi

Orta ayak stabilitesi üzerine rüzgar ve deprem etkisinin önemi, orta ayak yüksekliği ile artar; bu etki, viyadük orta ayakları gibi yüksek orta ayakların boyutlandırılmasında esas rolü oynar.

Orta Ayakların Dengesi

Orta ayakların dengesi 2 durumda etüd edilir;

-- mukavemet etüdü

-- stabilité ve temel zemini gerilmeleri etüdü

Çok Yüksek Orta Ayaklar

Çok yüksek orta ayakların kesiti, genellikle, rüzgar (deprem) etkisiyle tayin edilir. Orta ayakların belirli bir elastikliği hız olması lazımdır; dolayısıyla, sabit veya değişken atalet momentli keson kesitler veya dikdörtgen sandık kesitli orta ayak tipleri seçilir; bu tür kesitler, kayıcı veya tırmanıcı kalıp kullanmak imkanını verirler.

Misyon: ~~ayaklarla~~ dik doğrultuda sıkı sınırları (genellik kılımı).

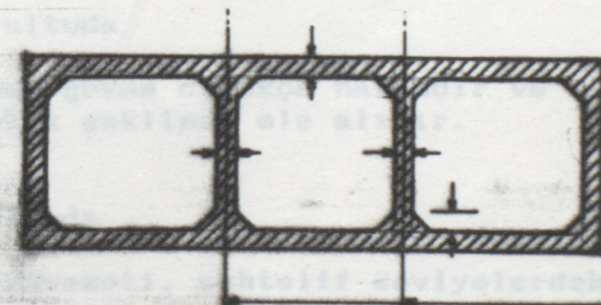
Santivili: ~~ayaklarla~~

Deprem:

İki etkinlik için degerlendirme.

Orta Ayak Grevinin Nedeni

Şekil.1



-- Düşük genellik.

-- Düşük süspansiyon.

Hesap Metodu, Boyutlandırma

Göz önüne alınacak tesirler:

-- Düşey kuvvetler:

Orta ayak zati ağırlığı.

Daimi ve hareketli yükler altında tabliyenin mesnet reaksiyonları.

-- Yatay kuvvetler:

Viyadük eksene paralel fren kuvveti,

Viyadük eksene dik doğrultuda akım tesiri (genellikle küçük),

Santrifüj kuvvet

Deprem,

İş etkisi ile deplasmanlar.

Orta Ayak Gövdesinin Hesabı

Boyuna doğrultuda

Bu doğrultuda gövde oldukça narindir ve bileşik eğilmeye çalışan bir çubuk şeklinde ele alınır.

Enine doğrultuda

Gövdenin mukavemeti, muhtelif seviyelerdeki kesitlerde ve yapı ömrünün muhtelif zamanları için tahkik edilir.

-- inşaat esnasında,

-- hizmet süresince

Orta Ayak Stabilitesi

Bir orta ayagın stabilitesi, evvelce görülmüş bulunan, temel zemini mukavemetine müncər olur.

Orta ayagın stabilitesi, yapı ömrünün muhtelif devreleri için etüd edilir.

- inşaat esnasında
- hizmette, boşken,
- hizmette, yüklü iken.

BÖLÜM 1

NOTASYONLAR VE TANIMLAR

Klasik Kopma Durumu

Maksimum basınc altındaki beton ya da akma durumundaki donatının ugrayacağı maksimum klasik birim deformasyon durumu.

Geometrik Büyüklükler

H : Toplam yükseklik geometrik yükseliş.

b : Kesit genişliği mekanik merkezi.

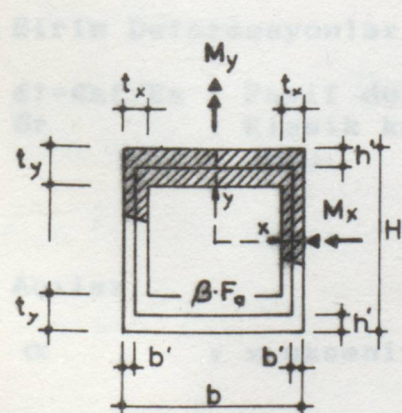
t_y, t_x, t : Beton kesitin kalınlığı

h', b' : Kesit kenarları arasındaki uzaklıklar ve donatının ağırlık merkezi.

İndisler

a : Donatıyla ilgili

b : Betola ilgili



$$n = \frac{N}{bH\beta_w} \quad m = \frac{M}{bH^2\beta_w}$$
$$m_x = \frac{M_x}{bH^2\beta_w} \quad m_y = \frac{M_y}{b^2H\beta_w}$$
$$\mu^{(\%)} = \frac{F_{a\text{ tot}}}{bH} \cdot 100$$
$$\omega = \mu \cdot \frac{\sigma_f}{\beta_w} = \frac{\sigma_{\text{tot}}}{\beta_w} \cdot \frac{\sigma_f}{\beta_w}$$

Sekil 1.1

Taşıma Güçleri

- $N=N_r$: Klasik kopma durumundaki normal dayanma kuvveti.
 $M=M_r$: Birleşik eğilme durumundaki klasik kopma momenti.
 $M_x=M_{xr}$: Egik eğilme durumundaki klasik kopma momenti.
 $M_y=M_{yr}$: Egik eğilme durumundaki klasik kopma momenti.
 $n.m.mx.my$: Boyutsuz rölatif dayanma güçleri (şkl 1.1'e bkz)
 $\eta=mx/mx$: Boyutsuz rölatif momentlerin oranı.

Burada "normal ve rölatif güçlerin" de濂ili bir bicimde
söylediğimiz, her abagrın uygunluğunuza, belenin izzetligi ve
Donatı

- $F_a=F_{a\ top}$: Pasif donatının toplam alanı.
 β : Dikdörtgen kesiti için donatının sınıflandırma
parametresi.
 μ (%) : (Toplam) Donatı geometrik yüzdesi.
 ω : (Toplam) Donatı mekanik mertebesi.

Gerilmeler

- $\sigma_f=\sigma_{af}$: Pasif donatının klasik zorlama akışı.
 $\beta_w = \beta_{w28}$: Yirmisekiz günlük küb betonun mukavemeti.
 β_r : Beton hesabındaki mukavemet ($=0.6$ SIA 162
normunun 34. şartına göre)

Birim Deformasyonlar

- $\epsilon_f=\epsilon_{af}/E_a$: Pasif donatı klasik akış limiti
 ϵ_r : Klasik kopma durumundaki betonun birim deformasyonu.

Açılar

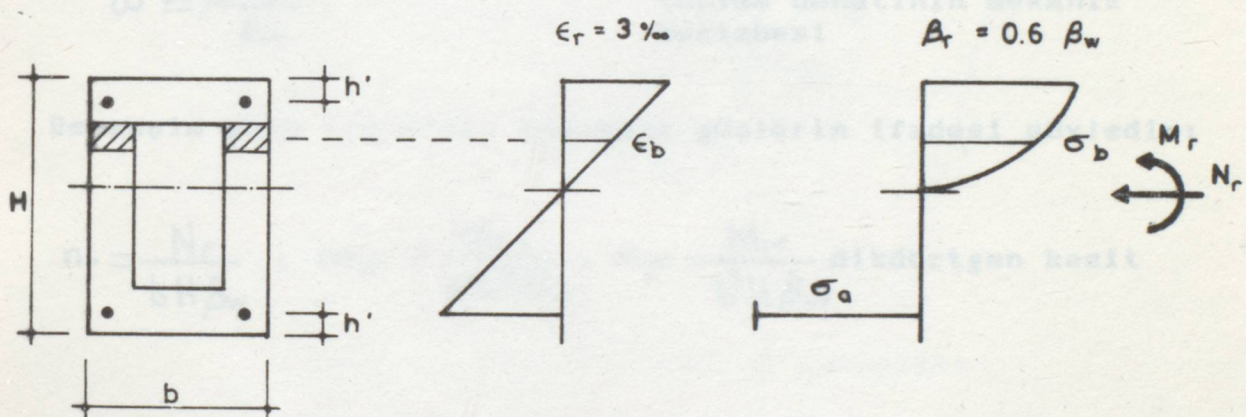
- α : x eksene göre tarafsız eksenin yönü.

BÖLUM 2

ABAKLARIN AÇIKLAMASI VE KULLANIMI

2.1 Boyutsuz ve Rölatif Dayanma Güçleri Üstüne Temel Bilgiler

Boyutsuz ve rölatif güçlerin dolaylı bir biçimde gösterilmesi, bir abagın uygulama alanı, betonun özelligi ve boyutları ne olursa olsun, iyi parametreli her kesite uygulanabilir. Statik hesaplarla verilen gerçek dayanma güçlerinden boyutsuz güçlere geçiş şu basitleştirilmiş örnekle gösterilebilir.



BETON

Deformasyon Durumu

Şekil 2.1

ÇELİK

$$M_r = \sum f_1 \cdot bH \cdot f_2 \beta_w \cdot f_3 H + \sum g_1 F_{\text{atop}} \cdot g_2 \sigma_f \cdot g_3 H \\ = bH^2 \beta_w \sum f_1 \cdot f_2 \cdot f_3 + F_{\text{atop}} \sigma_f H \sum g_1 \cdot g_2 \cdot g_3$$

Bu gücün bH faktörü ile bölersek, bir zorlama boyutunu alır, böylece kesitin gerçek boyutlarından (kesit $1x1$) kurtulunur. O zaman beton ve donatının rölatif durumunda h/H parametresi işin içine girer.

$$\frac{M_r}{bH^2} = \beta_w \cdot \beta + \mu \cdot \sigma_f \cdot A \left(\frac{h'}{H} \right)$$

Boyutsuz güce kesin geçiş, bu ifadenin bir "gerilme" ile bölünmesiyle elde edilir. Bu gerilmenini seçimi doğal olarak betonun mukavemetine yönelik olarak yapılır. Bunun nedeni de gerilmesinin daha önemli değişikliklere sahip olmasıdır.

$$m_r = \frac{M_r}{bH^2\beta_w} = B \quad + \quad \omega \cdot A (h'/H)$$

birlikte

$$\omega = \frac{\sigma_f}{\beta_w}$$

toplam donatının mekanik mertebesi

Benzeşim yolu ile öteki boyutsuz güçlerin ifadesi şöyledir:

$$n_r = \frac{N_r}{bH\beta_w}, \quad m_{xr} = \frac{M_{xr}}{bH^2\beta_w}, \quad m_{yr} = \frac{M_{yr}}{b^2H\beta_w} \text{ dikdörtgen kesit}$$

Bu güçler uygulamada kolaylık sağlamak amacıyla betonun efektif kesit alanına değil de, içi oyulmamış kesit alanına götürülür. Şu halde elde edilen donatı miktarı efektif degildir. ($\mu = F_a/bH \leq M_{eff} = F_a/F_b$)

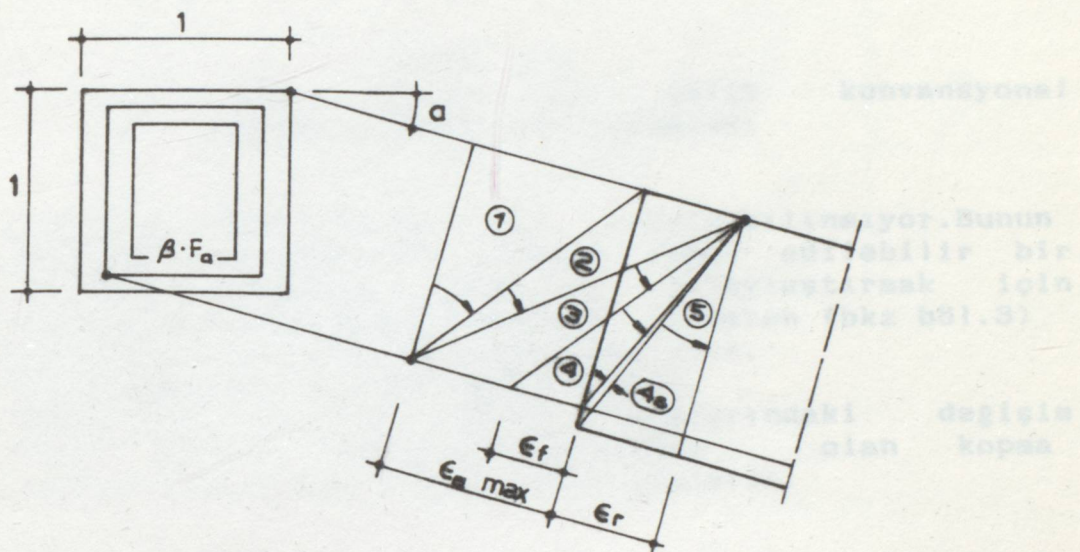
Bu bizi genel biçimde mekanik donatı mertebesini ($\omega_{max} = 0.3$) sınırlamaya götürür.

Bu örnek aynı zamanda kesitlerin temel direnç özelliklerinden birini belirtmektedir.

- Zorla bir deformasyonana tabi olmuş, verilen bir kesitin direnci lineer olarak ($W_r = B + W \cdot A$) kesitinde gösterilen donatı miktarına bağlıdır.

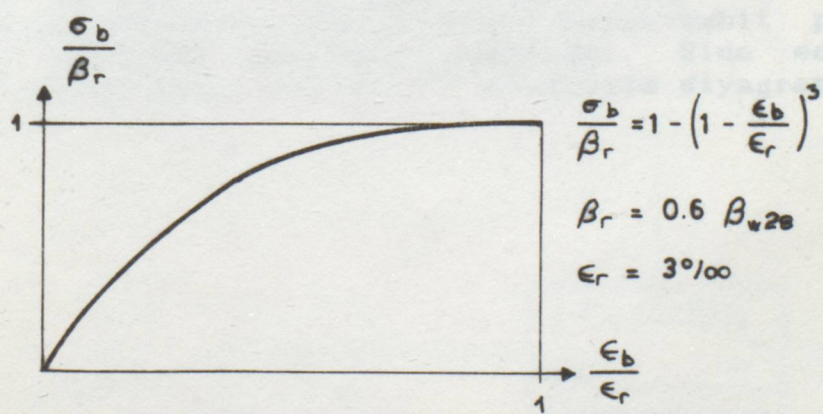
2.2 SIA 162/34 Şartlarına Göre Taban Hesabı

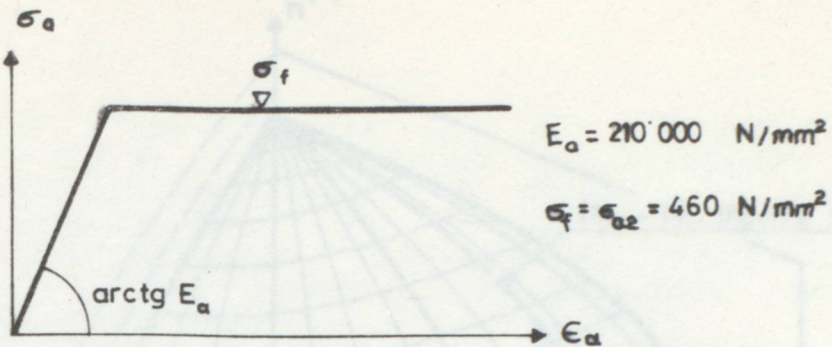
Verilen bir kesit için efektif kopma istek durumlarının tolamı (n, m_x, m_y) istekler uzayında bir etkileşim alanıyla gösterilebilir. Hesabı için bu alan bir kopma konvansiyonel alanı yardımıyla yaklaştırılır. Bu alan, şekil 2.2'de gösterilen konvansiyonel deformasyon durumlarını simetrik biçimde koyarak elde edilir.



Şekil 2.2
Klasik birim deformasyon durumları

Kopmadaki konvansiyonel direnci hesabı aşağıdaki gerilme-deformasyon ilişkilerine dayanarak yapılır.





Şekil 2.3

34 şartına göre beton ve çelik konvansyonel deformasyon-gerilme durumları

$\epsilon_{a\max}=5\%$. limiti 34 şartında zorunlu kılınmıyor. Bunun iç direnç değerleri üzerinde tamamen ihmali edilebilir bir etkisi vardır. Sayısal hesapları kolaylaştırmak için gereklidir. Dirençlerin momentlerinden itibaren (bkz böl.3) sonraki riyidlik hesaplarında doğrulanmıştır.

Betonun çekmedeki direnci ihmali edilir.

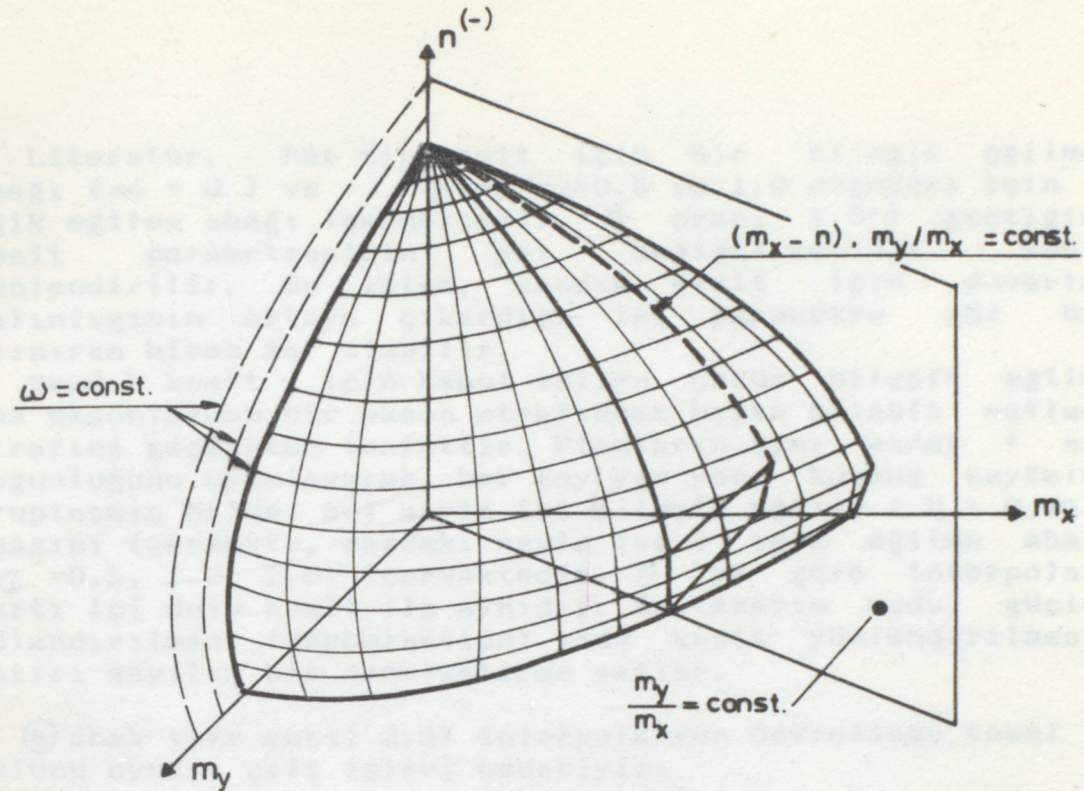
Verilen bir kesitin donatı miktarındaki değişim parametresi donatı mekanik mertebesi olan kopma konvansiyonel alan ailesi ile kendini gösterir.

2.3 Sandık Kesit İçin Abaklar

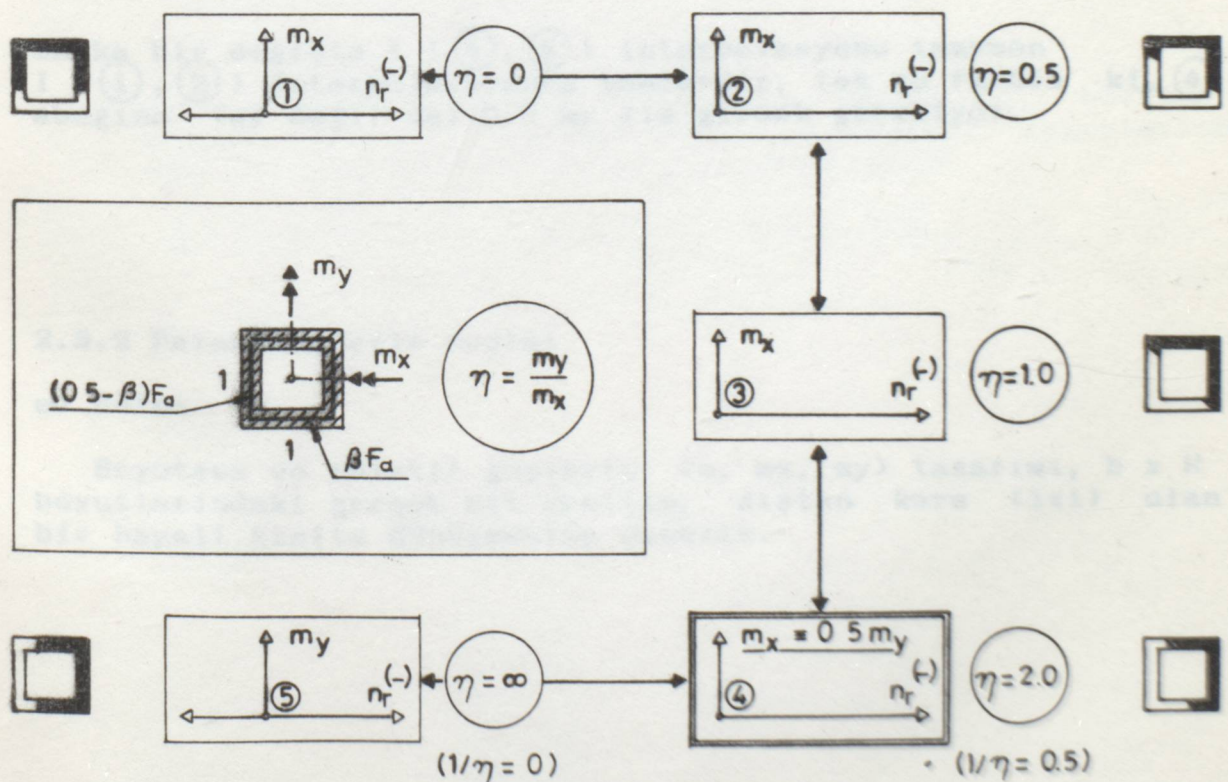
2.3.1 Tasarım Modu Seçimi

Bileşik eğilme, tasarımda ($m_r - n_r$) hiç bir özel sorun çıkarmaz. Eğik eğilme ise, tersine ilke olarak 3 boyutlu bir tasarım modu gerektirir.

Birinci derlemenin hazırlanması sırasında elde edilen deneyim gösteriyor ki daha sonra ($m_x - n^{(-)}$) planına yansıtılan etkileşim alan ailesini $m_y/m_x = \text{sabit}$ planları ile keserek problemi çevirmek mümkündür. Elde edilen sonuç verilen m_y/m_x oranı ile $m_x - n^{(-)}$ etkileşim diyagramlarının bir devamıdır.



Şekil 2.4
Verilen bir kesitin kopma konvansiyonel alanlarının tümü.



Şekil 2.5
($\eta = m_y/m_x$ oranına göre interpolasyon)

Literatür, her tip kesit için bir bileşik eğilme abağı ($\alpha = 0$) ve $\eta = my/mx = 0.5$ ve 1.0 oranları için iki eğik eğilme abağı içermektedir. η oranı 1.0'i geçtiginde, kesit parametresinin yer degiştirmesiyle yeniden yönlendirilir. Bu işlem, sandık kesit için duvarların kalınlığının ortaya çıkardığı iki parametre göz önüne alınırsa biraz zor olabilir.

Sandık kesit için kabul edilen çözüm bileşik eğilmede ana eksenlerden bir eksen etrafından başka bileşik eğilmenin etrafına geçmekten ibarettir. Planların aynı $mx/my = \text{sabit}$ yoğunluğunu uygulayarak, her şey yan yana konmuş sayfalarda gruplaşmış halde, sol sayfa iki bileşik eğilme ($\eta = 0, \infty$) abagını içermekte, sağdaki sayfa ise 3 eğik eğilme abagını ($\eta = 0.5, 1.0, 2.0$) içermektedir. η 'ya göre interpolasyon şartı içi dolu kesit ile aynıdır. Bu tasarım modu, güçlerin adlandırılması (denomination) yada kesit yönlendirilmesinde hatırlı sayılır bir sadeleştirme sağlar.

(4) abak (bkz şekil 2.5) interpolasyon devresinde temel öge rolunu oynar; çift işlevi nedeniyle:

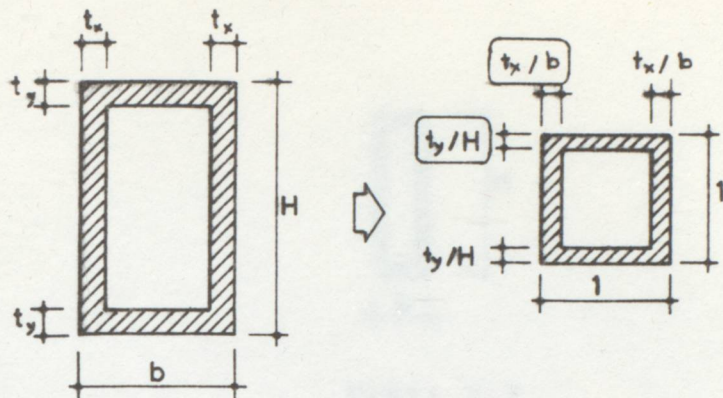
- * $1.0 < \eta < 2.0$ iken I (3, 4) interpolasyonu için ($m - n$) fonksiyon abagi
- * $0.5 > 1/\eta > 0$ iken I (4, 5) interpolasyonu için ($0.5 my - n$) fonksiyon abagi

Başka bir degişle I (4, 5) interpolasyonu tamamen I (1, 2) interpolasyonuna benzerdir, tek şu farkla ki, (4) abagına (my değil de) 0.5 my ile girmek gerekiyor.

2.3.2 Parametrelerin seçimi

a) Beton

Boyutsuz ve rölatif güçlerin (n, mx, my) tasarımını, $b \times H$ boyutlarındaki gerçek bir kesitin, dıştan kare (ixi) olan bir hayali kesite dönüşmesine denktir.



Şekil 2.6

Sandık kesit abağı t_x / b ve t_y / H (rölatif duvar kalınlıkları) tümleyici parametrelerine bağlıdır.

İlk bakışta, bu iki parametrenin varlığı böylesi kesitler için bir abak derlemesi girişimini gerçekleştirmeyi raslantıya bağlı kılıyor gibi gözükmüyor. Uygulamada sıkça kabul edilen kesitler üzerinde yapılan kısa bir inceleme bu iki parametrenin değişim alanının çok az önemli olduğunu gösteriyor. Özellikle kısa olan duvar genellikle daha kalın seçilir. Enlemesine yeterli bir riyitlik sağlamak için, bu da $\delta = (t_x / b) / (t_y / H)$ oranlarını 1'e yakın olacak şekilde seçilmesine götürür.

- Uygulamada karşılaşılan durumların büyük bir bölümünü örtmek için δ parametresinin aşağıdaki değerlerine uyan üç abak ailesi hazırlamak yeterlidir.

$$\delta = (t_x / b) / (t_y / H) = 1.0 \cdot 2.0 \cdot 3.0$$

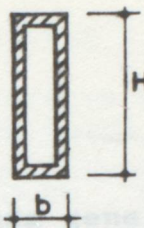
ÖRNEK:

$$t = t$$

$$H = 3 \cdot b$$

$$\delta = 3$$





3) Donatı

Sandık kesitin donatı formunda olduğu gibi varır, biri
diğer yarçaya, keski iç yüzev yukarıdır. Statik ve yapı ile
lijitler arasında dolu olmakla sandık kesitin köse
boğazının yarımçıtırıllı.

Şekil 2.7

- Kesit, sürekli $t_y / H \leq t_x / b$ koşulunu gerçekleştirecek biçimde yönlendirilmelidir.

- Aşağıdaki değerler t_y / H parametresi için kabul edilmişlerdi.

$$t_y / H = 0.06 . 0.08 . 0.10 . 0.12 . 0.14 . 0.16 . 0.20 . 0.24$$

- t_x / b parametresi de 0.24 ile sınırlanmıştır.

$$(t_x / b)_{\max} = 0.24$$

ÖRNEK :

$$0.06 = 60 \text{ cm} / 10 \text{ m} = 36 \text{ cm} / 6 \text{ m} = 12 \text{ cm} / 2 \text{ m}$$

$$0.24 = 240 \text{ cm} / 10 \text{ m} = 144 \text{ cm} / 6 \text{ m} = 48 \text{ cm} / 2 \text{ m}$$

Verilen bir kesitin işleyisi t_x / b ve t_y / H parametrelerine göre lineer interpolasyonla gerçekleştirilebilir. Gerçekleştirilen sayısız kontrollerin ışığı altında interpolasyonun kesinliği çok iyi görülmektedir.

Şekil 2.8

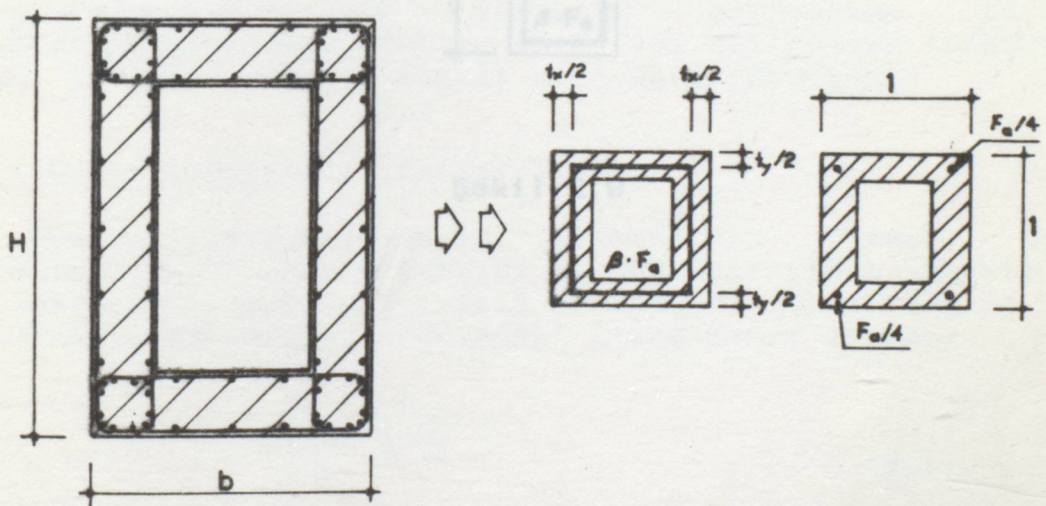
İki durumda kabul edilen tasarılmada Şekil 2.8, a
ve b'ye göre kesitin değişimiini analizleye izin verir.

b) Donatı

Sandık kesitin donatısında genelde iki örtü vardır, biri dış yüzeye, öteki iç yüzeye yakındır. Statik ve yapı ile ilgili nedenlerden dolayı bu donatı sandık kesitin köşe bölgelerine yerleştirilir.

Bu gerçek durum, abaklarda, lineer olarak düzenlenen, beton duvarın ortasına yerleştirilen ve değişken bir dağılım gösteren iki yandan simetrik (faktör β) bir donatı yardımıyla ideal olarak tasarlantır.

Donatının açılıarda toplanma durumu, donatının ideal olarak tasarlandığı durumla ve bütün donatının 4 çubuk ve kesitin 4 açısından toplanmış olduğu en uç durum arasında interpolasyon yapılarak göz önüne alınabilir.



Şekil 2.8

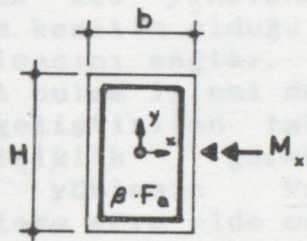
c) İki Bakımdan Simetrik Kesitler ($\delta = (t_x/b) / (t_y/H) = 1$)

Bu durumda kabul edilen tasarım modu (Şekil 2.5), β parametresinin değişimini azaltmaya izin verir.

$$\beta = \underbrace{0.10 \cdot 0.15 \cdot 0.20 \cdot 0.25 \cdot 0.30 \cdot 0.35 \cdot 0.40}_{\delta=1} \underbrace{\cdot 2 \cdot 3}_{\delta=2 \text{ ve } 3}$$

Bu durumda $t_y/H \leq t_x/b$ kesitinin yönlendirme koşulunun yerine $\beta \geq 0,25$ koşulu konur.

$$\beta \geq 0,25$$



Şekil 2.9

Düzenli ortaklı birim alanının etrafında dönen birim alanın presyonu kesitinin tərkibini içeren artırmış vüklüre həzir istehsalçıların nəzətindən keçən (VV 1.31) ya həzir konstruksiyaların düzən hazırlanmasında istifadə edilir.

(3.1)

Şəkil 2.9-də, ikinci mərhəbədən - problemlər 8 təsvirinə daxiləndiyənə təkli - olasılıcılara - karakteristik istifadə olunmalıdır. Parçaların əzəl durusundə normal kuvvetlərinə etibarət olaraq ikinci mərhəbədən deformasiyalarlardan etkilənəz. Dördüncü aşagı momentoğlu göstərir, həm de əldələnən yox.

(3.2)

BÖLÜM 3

ABAKLARIN İKİNCİ MERTEBEDEN ETKİ HESAPLARINA UYGULANMASI (BİLEŞİK EĞİLME)

2. Bölümde uzun sıkıştırılmış parçaların kopma güvenliğini denetim altında tutacak basit ve hoş bir yöntem geliştirildi. İkinci mertebeden deformasyonlar, flüajın muhtemel etkisiyle, ortalama bir rijiditenin yardımıyla yaklaştırılmıştır. Bu tüm parçanın yıkıma kadar götürecek yük altına sokulması sırasındaki davranışını karakterize eder. Bu basitleştirilmiş yöntem SIA 162 normunun 35. önergesinin temelini oluşturur. Karakteristik deformasyon durumlarını kesin belli eden direnç abaklarına sahip olundugunda bunun pratik uygulaması özellikle kolay olmaktadır. Yapılacak işlemin basitliği çok kısa süre içinde bir çok kez yinelenen tahkikler yapmaya imkan verir, bu da beton kesitin olduğu kadar donat kesitinin de optimal boyutlandırmasını sağlar.

Abak yardımıyla boyut bulma işlemi daha aşağıda bütünüyle gösterilecektir. 2 de geliştirilen tahkik yöntemine göre birkaç pratik değişiklik gerekmektedir. Bu biçim değişiklikleri ilk yöntemin kavramında birşeyler değiştirmiyor. Temel yönteme göre elde edilenlere tamamen uygun güvenlik ve aynı donatı miktarına götürür.

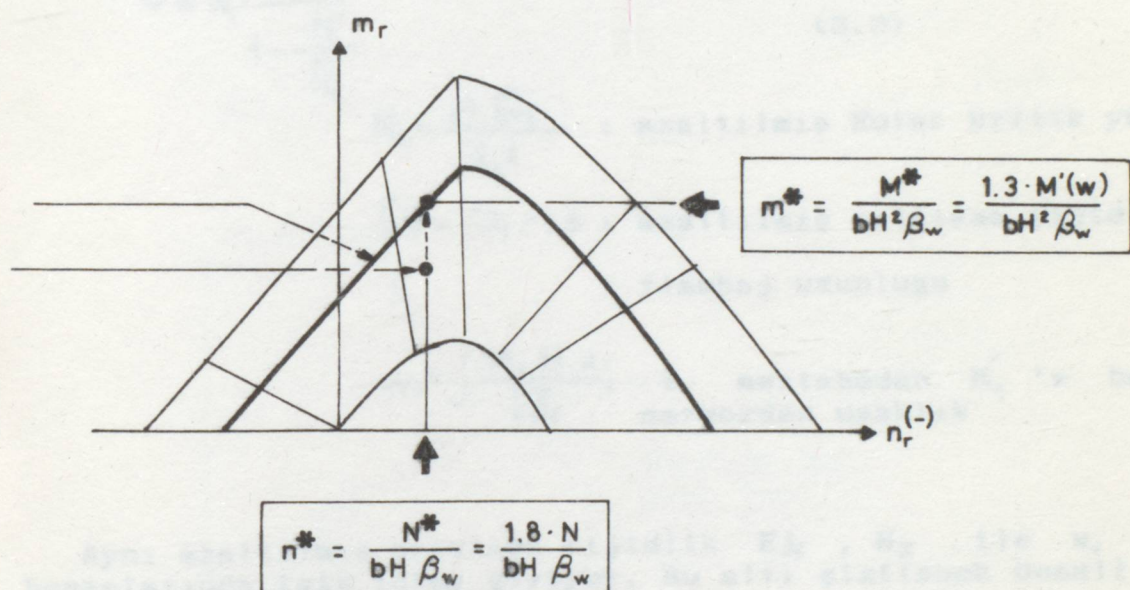
3.1 Basitleştirilmiş Yöntemi İlkesi

Basınç altındaki narin elemanların (lineer olmayan problem) kesitlerinin tahkiki kısmen artırılmış yüklerle bağlı isteklerle kısmen azaltılmış kopma ($W_f / 1.3$) ya bağlı konvansiyonel direnç arasındaki kıyaslamaya dayanır.

$$\frac{W_f}{1.3} \geq S' \quad (3.1)$$

Genel biçimde, ikinci mertebeden problemler S isteklerinin deformasyonlara bağlı olmasıyla karakterize edilirler. Sıkıştırılmış parçaların özel durumunda normal kuvvet genel olarak ikinci mertebeden deformasyonlardan etkilenmez. Sadece eğilme momenti artış gösterir, hem de oldukça çok.

$$M' = M'_1 + M'_2 = M'_1 + N' \cdot w \quad (3.2)$$



Şekil 3.1

M' : Kısmen artırılmış yüklerle bağlı eğilme momenti

M'_1 : Deforme olmamış (1. mertebe) durumındaki eğilme momenti

M'_2 : Deformasyonlara (2. mertebe) bağlı artma

N' : Kısmen artırılmış normal kuvvet

w : Deformasyon ya da toplam merkezden uzaklık

Toplam merkezden uzaklık w , yaklaşık olarak 1.mertebeden moment M' den gelen w merkezden uzaklığını bir f genişleme faktörü ile çarparak elde edilebilir.

$$w = w_1 \cdot \frac{1}{1 - \frac{N'}{N_E}} \quad (3.3)$$

$N_E = \frac{\pi^2 \bar{EJ}_f}{\lambda_k^2}$: azaltılmış Euler kritik yük

$\bar{EJ}_f = EJ_f / 1.3$: azaltılmış ortalama rijidite

λ_k : flambaj uzunluğu

$w_1 = \int \frac{M'_1 \cdot M \cdot dx}{EJ_f} : 1. mertebeden M'_1 'e bağlı merkezden uzaklık$

Aynı azaltılmış ortalama rijidlik EJ_f , N_E ile w_1 , hesaplarında işin içine giriyor. Bu altı çizilecek önemli bir durumdur.

Konvansiyonel kopma durumlarındaki kesitlerin direnci abaklarda azaltılmamış biçimde gösterilmiştir. Şu halde abaklara girmek için (formül 3.1) büükü moment M' 'i kısmi faktör 1.3 ile çarpmak gereklidir. * işaretini kopma durumundaki direnç isteklerini ayırdetmek için kullanıyoruz.

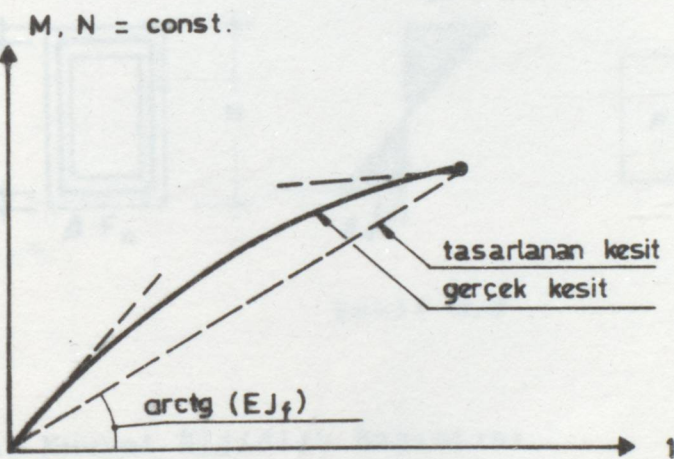
3.2 Plastik Bir Kesitin Ortalama Rigidliginin Tanımı

Konvansiyonel kopma durumunda, uzun sıkıştırılmış parçanın bir bölümü çatlar ve bazı kesitleri esner. Bu durumda elastik rigidlik kavramı E.J 'nin hiç bir anlamı yoktur. Çünkü ne elastisite modülü E, ne de eylemsizlik momenti J burada tanımlanabilir. Rigidlik toplam bir kavram olarak göz önüne alınmalıdır. Ancak moment-egrilik oranı temelinde mantıklı bir biçimde tanımlanabilir.

Elastik hesap $EJ = M \cdot \rho$ ilişkisini en üst evresine (M_r noktası) uygularsak, gerçek dönüşümü yıkıma doğru elastik, orta kalitede, homojen bir kesit yardımıyla idealize edilebilir.

(3.4)

$$(EJ)_r = EJ_f = M_r \cdot \rho$$



Şekil 3.2

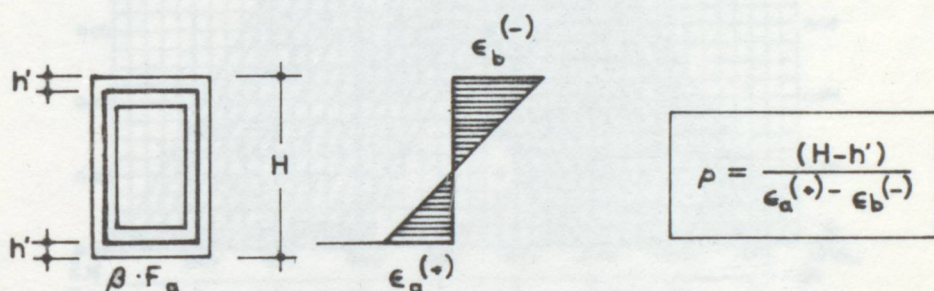
Rigidlik ekseni olarak tanımlanan EJ_f homojen evre ile kopma durumu arasında tanımlanabilen farklı tegetsel rigiditeliklere göre bir ortalama rigidlik değerini alır. Esnekleşmiş kesitin ortalama davranışını karakterize eder. Yıkıma kadarki gelişimi sırasında onu "lineerleşmiş" rigidlik olarak nitelendirebiliriz.

[2] 'de önerilen yöntemin inceliği:
Tüm parçanın davranışını belirtmek için gerçege yakın tek ortalama bir rijidilik kabul edilebilir. Kesitin plastikleşme seviyesinde tanımlanır.

Teorik incelemelerle doğrulanmış bu ömeli sadeleştirme bir çok deneme ile de incelenip gerçekliği saptanmıştır.

Kesitlerin güçlü bir değişimini karşısında (örn. viyadük ayakları) ya da iç güçlerin dış görünüşü bir çok plastik diskapagı (örn. Bi-anastre kemer ayığı) ortaya çıkarabilir. Bir çok eksende kesen rijidilik EJ_f 'yi hesap etmek tercih edilir, daha örnek bir ortalama elde etmek için.

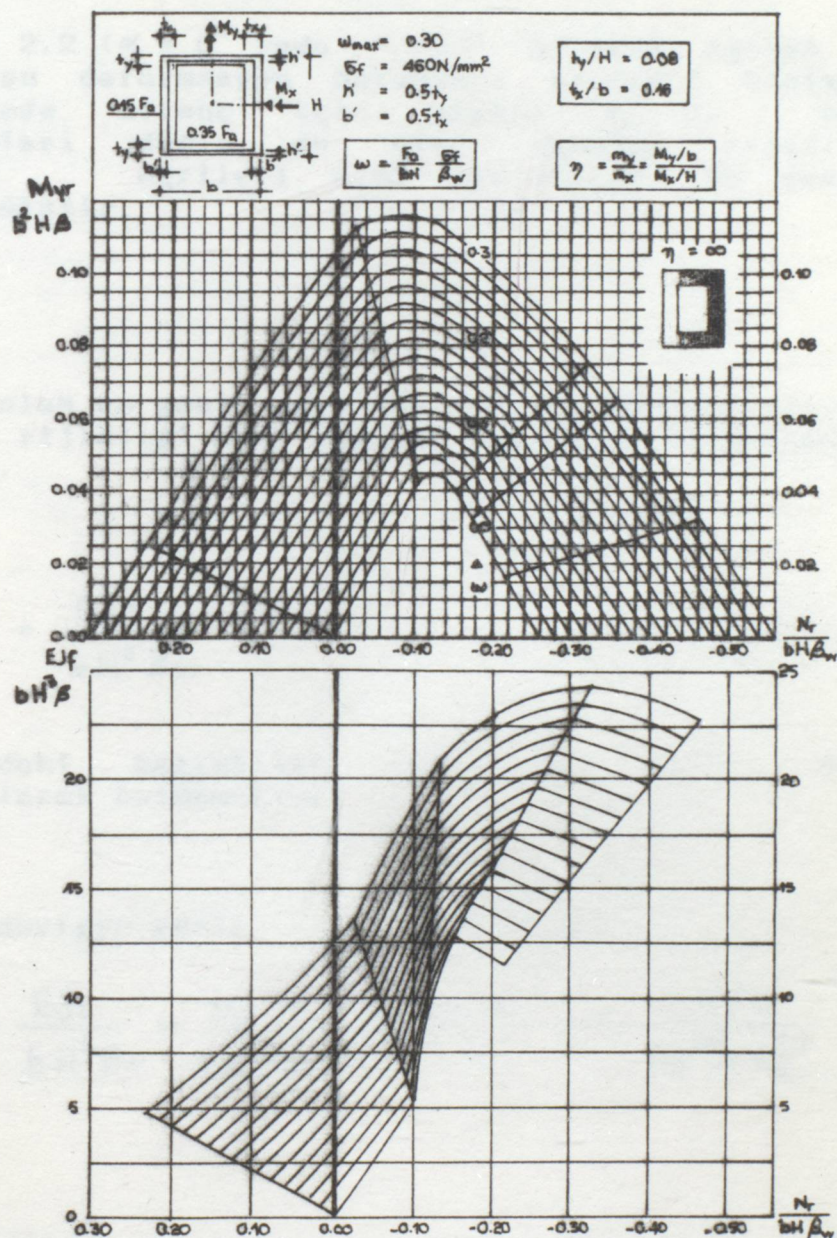
Konvansiyonel kopma durumu, Betonun en sıkıştırılmış noktasında ve donatının akma sınırındaki birim boy değişim değeri ile saptanır. Bileşik eğilme halinde egrilik yarı capı ρ statik $H-h'$ yüksekliği ve birim boy değişiminin farklılık fonksiyonu cinsinden ifade edilmelidir.



Şekil 3.3

3.3 Normal Kuvvet Rigidlik Bağıntısı

Aşağıda belirtildiği gibi:
verilen bir kesite zorla tatbik edilen her $\{\epsilon\}$ deformasyon durumu (M_r, N_r)'na kopma güçlerinin bir tek değeri tekabül eder. Egrilik yarıçapı ρ ve kesen rijidilik $EJ_f = M_r \cdot \rho$ Başka bir değişle normal kuvvet ile EJ_f rijidiliği arasında tek anlamlı bir bağıntı vardır.



Şekil 3.4

$$\left\{ \epsilon \right\} \xrightarrow{\text{Rel. } \sigma - \epsilon} \left\{ \delta \right\} \xrightarrow{\int \sigma dF} \left\{ N_r \right\}$$

$$\rho = \frac{\int \sigma y dF}{H - h'} = \frac{M_r \cdot \rho}{\epsilon_a^{(+)} - \epsilon_h^{(-)}} \quad \left. \begin{array}{l} EJ_f = M_r \cdot \rho \\ EJ_f = f(N_r) \end{array} \right\}$$

Şekil 2.2 ($\alpha = 0^\circ$ yada $\alpha = 90^\circ$ bileşik eğilme için) 'de gösterilen deformasyon durumları sistemli biçimde empoze edildiğinde direnç için sadece $m_r - n_r$ etkileşim diyagramları değil de aynı zamanda rijidlik için $e_{jf} - n_r$ eğrileri elde edilebilir. Bu şekil 3.4'de gösterilmiştir.

Mümkün olan en geniş uygulama alanını güvence altına almak amacıyla rijidliği aynı zamanda boyutsuz bir biçimde gösterebiliriz.

$$e_{jf} = \frac{EJ_f}{b H^3 \beta_w} \quad \text{dikdörtgen kesit}$$

Aşağıdaki bağıntılar (3.4) ve (3.5) denklemleri kullanılarak bulunmuştur.

● Dikdörtgen kesit (3.6)

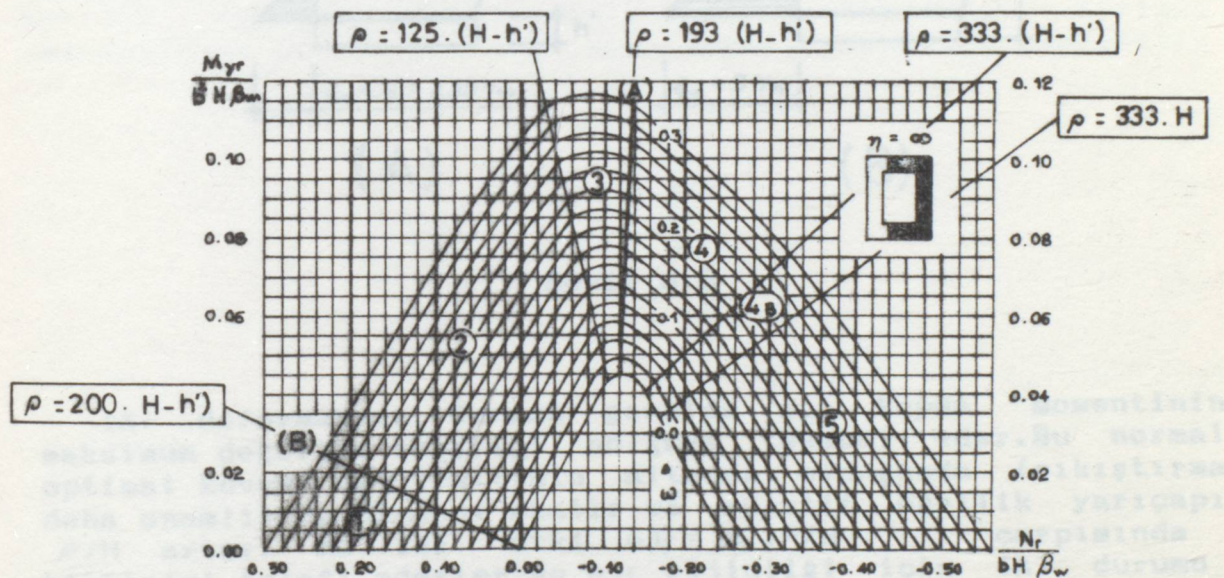
$$e_{jf} = \frac{EJ_f}{b H^3 \beta_w} = \frac{M_r \cdot \rho}{b H^2 \beta_w \cdot H} = \frac{m_r \cdot \rho}{H} = m_r \frac{1 - h'/H}{\epsilon_a^{(+)} - \epsilon_b^{(-)}}$$

3.4 Bileşik Egilme Abakları İle EJ Rigidliginin Uygulanması hesabı

3.4.1 Genel Açıklamalar

(3.6) nolu denklemin ve geçen bölümdeki şekil 3.4'ün doğruladığı gibi rigidlikler diyagramı $e_{jf} = f(n_r)$, $m_r = f(n_r)$ diyagramının n eksenin Üzerindeki basit bir izdüşümünü göstermektedir; izdüşüm faktörü ρ / H (yada H) değişkenine eşit alınmıştır. Şu halde direnç abagi rigidlik hesabında temel oluşturabilir, eğer kesitin ugradığı deformasyon durumunu tanımlayacak ögelere sahip ise. Oysa I ve II. derlemelerdeki etkileşim diyagramlarının hepsi bu tamamlayıcı bilgileri içermektedir. Gerçekten de şekil 2.2 'deki deformasyon durumları limitleri abaklarda doğrularla somutlaşmıştır.

Deformasyon durumları verildiğinde, mevcut donatı miktarına göre direnç lineerliğinin temel özelliği gereğince bu limitler doğrudurlar. Her limit durumuna tekabül eden eğrilik yarıçapı (3.5) denklemi ile elde edilebilir.



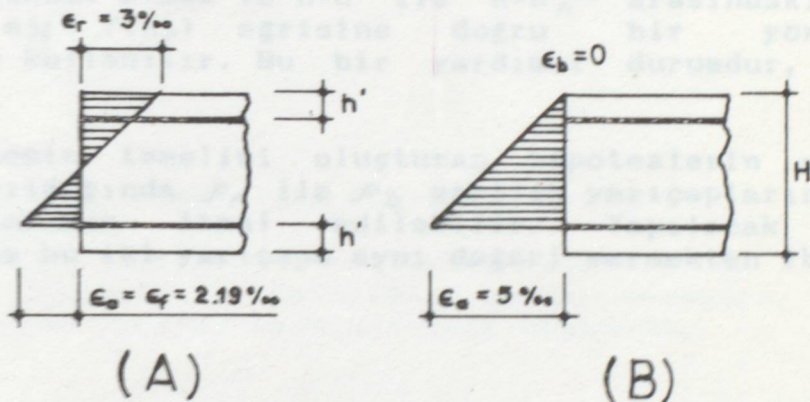
Şekil 3.5
Bileşik egilme abaklarında deformasyon durum limitlerinin gösterilişi

Diyagramlar m_r direncini çıkardıkları gibi beş farklı noktada ortak eğrilik yarıçapını çıkarırlar. Bu da $e_{jf} = f(n_r)$ eğrisinde beş noktanın bulunması demektir.

3.4.2 35 Nolu Yönergenin Sadeleştirilmiş Yöntemi

($EJ_f =$ tüm parça için sabit) hesabının temel hipotezlerinde bulunan önemli sadeleştirmeler ile karşılaşıldığında, $e_j = f(n_r)$ eğrisinin ayrıntılı hazırlanması öyle pek yerinde görünmüyör.

2 'deki sadeleştirilmiş yöntem, iki karakteristik limit durumlarının (A) ve (B) (Şekil 3.5) temelinde sadeleştirilmiş bilineer bir diyagramın inşaasını öngörmektedir.



Şekil 3.6

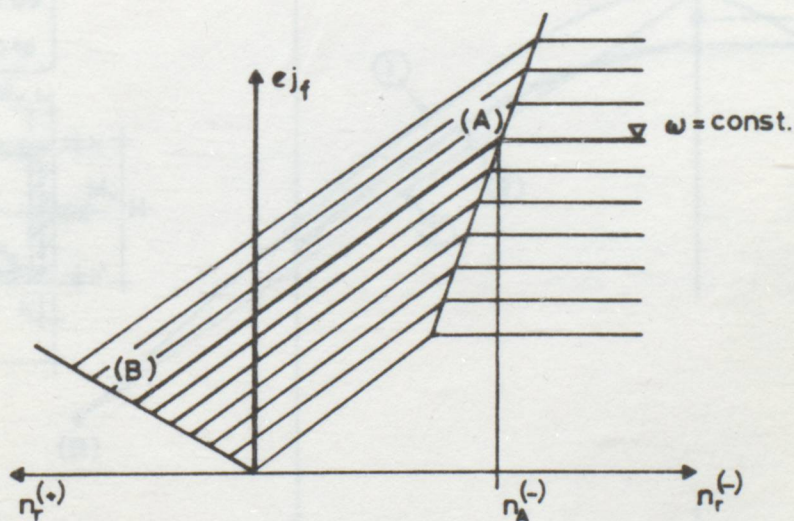
(A) deformasyon durumu genelde m_r kopma momentinin maksimum değerine eriştiği bölgeye tekabül eder. Bu normal optimal kuvvet $n_d^{(c)}$ limitinin altında olduğunda (sıkıştırma daha önemli) m_r direnci azalır ve rölatif eğrilik yarıçapı ρ/H artar. Bu iki etki $e_j = m_r \cdot \rho/H$ çarpımında birbirini telafi ederler ve e_j rijidliği için (A) durumu dışında iyi bir yaklaşımla sabit bir değer kabul edilebilir.

$n^{(-)}$ sıkıştırması azaldığında, tersine σ_r direnci önemli bir düşüş gösterir, o sırada ρ/H egrilik yarıçapı, hafif bir düşüşten sonra yeniden ρ_A degerine yakın bir değer alır, (B) durumunda.

Buradan, $n=0$ ile $n=n_A^{(-)}$ arasındaki alanda e_{jf} rijidliği hissedilir bir düşüş gösterdiği sonucu çıkar. Bu azalmaya, $e_{jf} = f(n_r)$ egrisini B noktasından geçen bir doğru ile tamamlayarak yaklaşmak mümkündür.

(B) deformasyon durumu bir gerilme (çekme) durumudur. Basınç altındaki bir eleman hiç bir gerçek istek durumuna tekabül etmez ve $n=0$ ile $n=n_A^{(-)}$ arasındaki önemli bölgedeki $e_{jf} = f(n_r)$ egrisine doğru bir yönlendirme verebilmede kullanılır. Bu bir yardımcı durumdur, tamamen hayalidir.

Bu yöntemin temelini oluşturan hipotezlerin doğasıyla karşılaştırıldığında ρ_A ile ρ_g egrilik yarıçaplarını ayıran ayrılık tamamen ihmal edilebilir. Yapılacak birinci sadeleştirme bu iki yarıçapa aynı değeri vermekten ibarettir.



Şekil 3.7

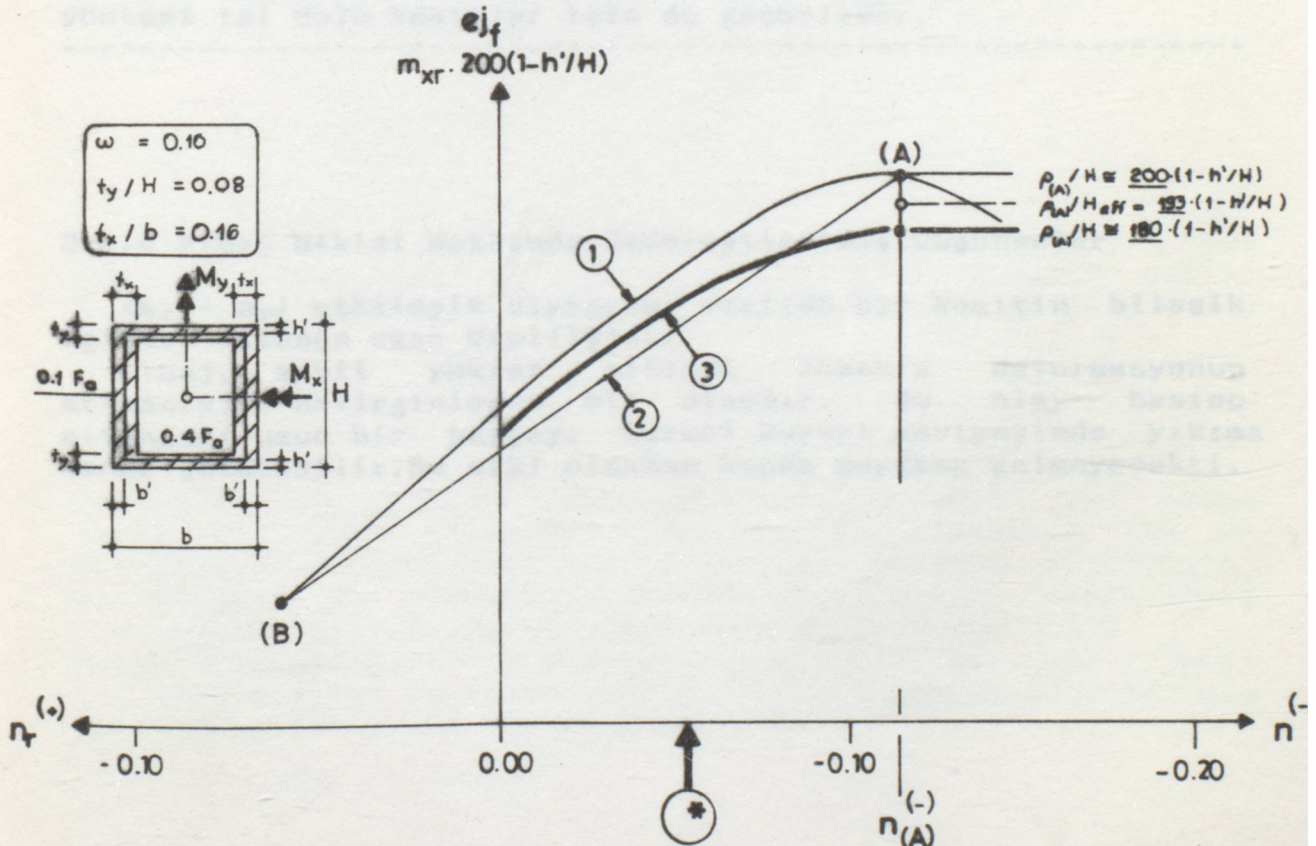
Sadeleştirilmiş e_{jf} - $n_r^{(-)}$ rijidlik diagramı.

$$\rho_A / H = \rho_B / H \approx 200 (1-h'/H)$$

Bu sadeleştirme işlemi (A) ve (B) noktalarında $e_j f = f(n_r)$ bilinear diagramı ile $m_r = f(n_r)$ direnç eğrisinin, $200 (1-h'/H)$ faktöründe, raslaşmasına izin verir. Başka bir değişle rigidlikleri abakların üzerinde okumak mümkündür, ayrıca $e_j f = f(n_r)$ diagramını kurmadan sadece (A) ve (B) noktaları arasında basit bir lineerleştirme ile.

3.4.3 Rigidlik Hesabı İçin Doğrudan Yöntem

Fluaj olayı determinant (belirten) olmadığındada (3.4.4.) elde edilen sonuçların kesinliğine zarar vermeden, rigidlik hesap işlemini daha da sadeleştirmek mümkündür.



Şekil 3.8
 Direnç ve Rigidlik
 Eğrilerinin Kıyası

$n=0$ ve $n=n_A^{(-)}$ arasındaki (courant) bölgesindeki rıjidligin düşmesinin nedeni özellikle kopma momentinin azalmasıdır. Direnç egrisinin kendisi de yaklaşık bir rıjilik egrisi özelliğini gösterir, bir faktör kadar. Bilineer diyagram ile elde edilen lineerleştirmenin etkisini telafi etmek için, bu direnci bir çeşit faktörle azaltmak yeterlidir. Bir bilgisayar programı aracılığıyla gerçekleştirilen kıyas hesapları bu faktörü ampirik biçimde ortaya çıkarmıştır.

$$e_{jf} \approx 180 (1-h'/H) \cdot m_r \quad . \quad 0 \geq n^* \geq n_A^{(-)}$$

$$e_{jf} \approx 180 (1-h'/H) \cdot m_{rA} \quad . \quad n^* < n_A^{(-)}$$

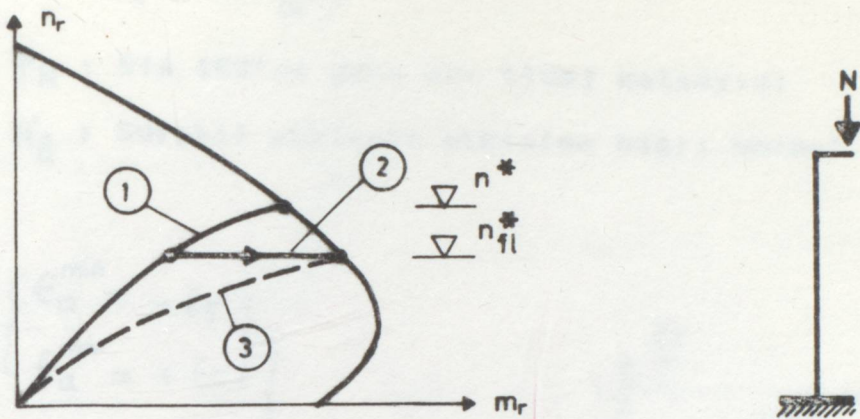
Bu son sadeleştirme işlemi direnç abagi ile rıjilik abagının her noktada birbirine nastamam gelmesini sağlar. ($0 \geq n^* \geq n_A^{(-)}$) bölgesinde, $180 (1-h'/H)$ faktörü nezdinde. Bu, $e_{jf} = f(n_r)$ bilineer diyagramın yapılmasını gereksiz kılar ve basınç altındaki elemanın boyutlandırılmasına ya da tahlük işlemeye çok büyük kolaylık sağlar.

Dikkat edilecek nokta: Yukarda ikinci mertebeden etkilerin hesabı, abakların kullanılması için geliştirilen hesap yöntemi içi dolu kesitler için de geçerlidir.

3.4.4 Flüaj Etkisi Hakkında Sadeleştirilmiş Düşünceler

$(m_r - n_r)$ etkileşim diyagramı verilen bir kesitin bileşik eğimde istenen esas özelliğidir.

Flüaj, sabit yükler altında zamanla deformasyonun artmasıyla belirginleşen bir olaydır. Bu olay basınç altındaki uzun bir parçayı normal kuvvet seviyesinde yıkıma kadar götürebilir. Bu etki olmadan kopma meydana gelmeyecekti.



- ① Kuvvetlerin yıkıma doğru gelişmesi, flüajsız ($\rightarrow n=n^*$)
- ② $n_{f_1}^*$ 'dan küçük normal n^* normal kuvvet seviyesinin altındaki flüaj.
- ③ Hesapla idealize edilmiş eğri.

Şekil 3.9

Şu halde flüaj yıkıma götüren yolu değiştirmektedir. Oysa kendinde olası kopma durumlarını örtmektedir. Flüajın etkisi ejf rigidlik eksen (sekantı) basit bir azaltılma yardımıyla incelenebilir.

m direnci ile ρ/H eğrilik yarıçapının çarpımı ile ifade edilen ejf rigidliğinin, ilk aşamada eğrilik yarıçapını küçülterek (kesitin en önemli dönmesi) azaltmak doğal gibi görünüyor. 35. yönerge tarafından önerilen yöntem ise bunun tersi bir yolu izlemekte. Hem eğrilik yarıçapı hem de deformasyon durumu sabit tutuluyor; bu durumda rigidliğin azaltılması m_r direncinin tamamen yapay olarak azaltılması ile gerçekleştiriliyor. Bu sonucusu da $\sigma_b/\theta_r = f(\epsilon_b/\epsilon_r)$ bağıntısındaki ζ_r , birim deformasyonun basit bir artırılması ile elde edilir. Bu işlem sadece $(A)_g$ deformasyon durumu için uygulanabilir. ((B) durumu \rightarrow gerilme)

$$\epsilon_r = 3\% \left(1 + \varphi_N \frac{N_g'}{N'} \right)$$

φ_N : SIA 162'ye göre son flüaj katsayıısı

N_g' : Sürekli yüklerin etkisine bağlı normal kuvvet

$$(A)_S \left\{ \begin{array}{l} \epsilon_a^{\min} = -\epsilon_f \\ \epsilon_a^{\max} = +\epsilon_f \end{array} \right\}$$

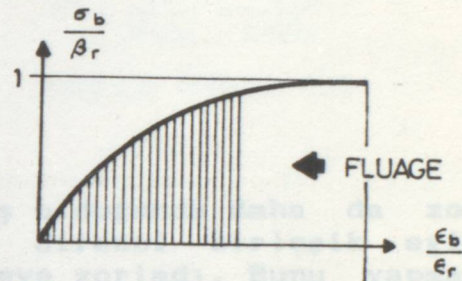
$$\epsilon_r > 3\%$$

Bunu kırılgıç, bu arada, kesit boyası (A) üzerinde, bu da kırılgıç, asimetrik olmakla birlikte, bu da kırılgıç, bir tane, asimetrik durumu, normal asimetrik olmayan (A) durumuna teneh edildi. Çünkü tılli — m_{rA} 'nın azaltılması

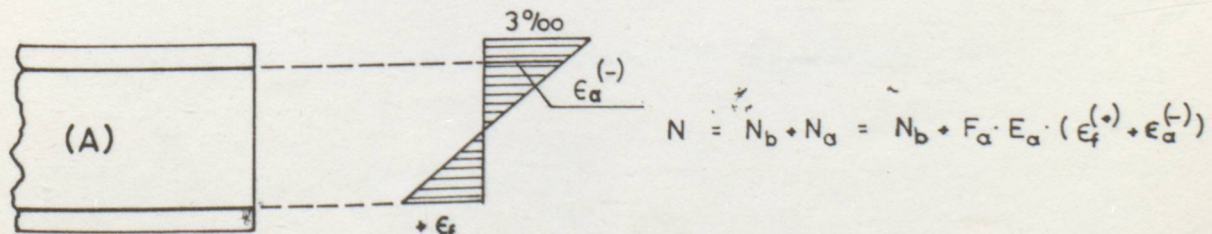
— $e_j f_A = m_{rA} \cdot \rho_A / H$ 'nın azaltılması

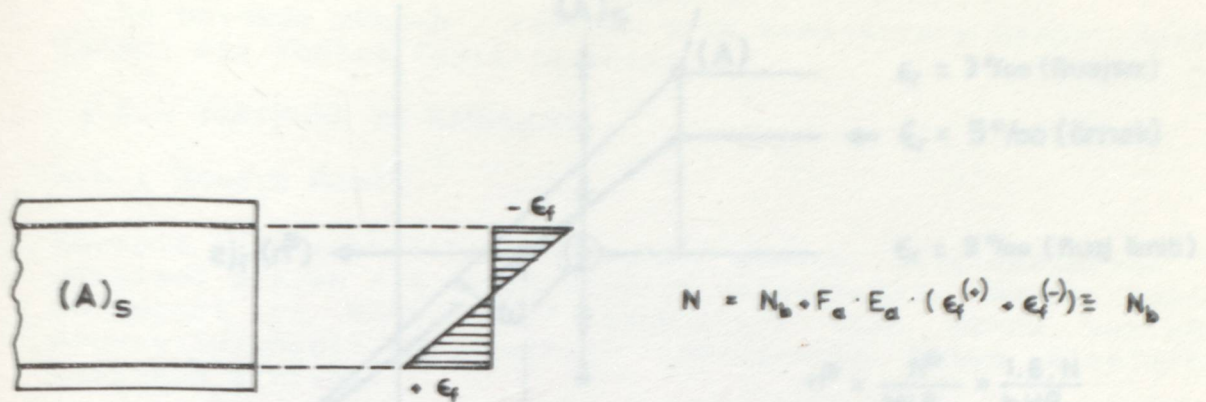
Sezgisel olarak belirtilen olay kritik kesit seviyesinde zorla tatbik edilen deformasyon durumu altındaki betonun bir bakıma gevşemesidir, oysa tüm parça için problem tatbik edilen yük olayıdır. Bu küçük çelişki dışında sayısal hesaplarda özel bir sorun çıkmaz.

Dikdörtgen kesit için bu azaltılmış direncin elle yapılan hesabı uygun bir süre içinde (k_1) dolgu ve (k_2) pozisyon parametreleri yardımıyla gerçekleştirilebilir.



Şekil 3.10





Şekil 3.11

Buna karşılık, bu işlem, kesit boş olduğunda daha da zor olmaktadır, bu da bizi, azaltılmış direnci birleşik eğim abaklarında grafik biçiminde göstermeye zorladı. Bunu yapmak için, 2'ye göre, bir $(A)_s$ simetrik durumu, normal simetrik olmayan (A) durumuna tercih edildi. Çünkü ikili simetrik kesitlere tatbik edildiğinde bir dikey direnç doğrusu ortaya çıkarmak grafik olarak avantajlidir. Bu iki duruma tekabül eden m_r dirençleri ile e_f rigidlikleri arasındaki uzaklıklar tamamen ihmali edilebilirler.

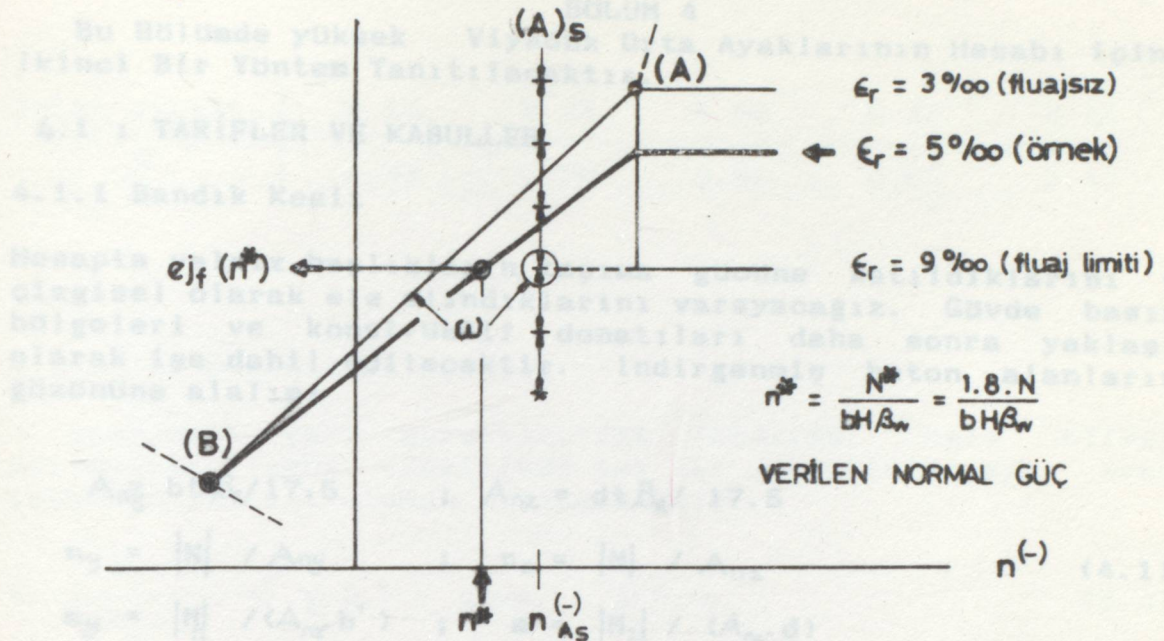
ω 'nın farklı değerleri bu dikey doğru üzerinde yıldızlarla somutlaştırılmıştır. Belirtilen doğru $\epsilon_r = 9\%$ değeri için hesap edilmiştir. Bu da direncin aşırı bir a küçülmesini gösterir.

Fiziksel bir işbu eğriliğin teknik bir çizimdeki ekspresyonu, teknik komplikasyonlarla birlikte, teknik bir interpolasyon polinomudur. Bu interpolasyon polinom, teknik bir interpolasyon egrisinde bir noka - denklik noktasını ve bunu gösteren.

İşbu eğrinin teknik bir çizimdeki ekspresyonu, teknik bir doğrudan denklik noktasını gösterir.

İşbu eğrinin teknik bir çizimdeki ekspresyonu, teknik bir doğrudan denklik noktasını gösterir.

$$e_{j_f} = 200 \cdot m_r \cdot (1 - h'/H)$$



Şekil 3.12
Flüajın etkisi altında azaltılan rıgidliğin saptanması

Azaltılmanın efectif değeri, verilen ϵ_r değerine göre lineer interpolasyonla elde edilir.

(A)s doğrusu abakta normal kuvvet $n_{As}^{(-)}$ ile birlikte yerleştirilmiştir. Bunun nedeni (A) doğrusu ile birlikte tıkanıklık yaratmamasıdır. Sadece m_A momenti hesaplarda işin içine giriyor.

Flüaj işin içine girdiginde bilineer diyagramı abak dışında çizmek tercih edilir. Bunun nedeni interpolasyonu kolaylaştırmaktır. (B) noktası (gerilme \rightarrow flüaj yok) interpolasyon sırasında bir bakıma destek noktası rolünü oynar.

İşin içine flüaj girince yöntem (3.4.3) doğrudan önemini yitirir.

BÖLÜM 4

Bu Bölümde yüksek Viyadük Orta Ayaklarının Hesabı için İkinci Bir Yöntem Tanıtılacaktır.

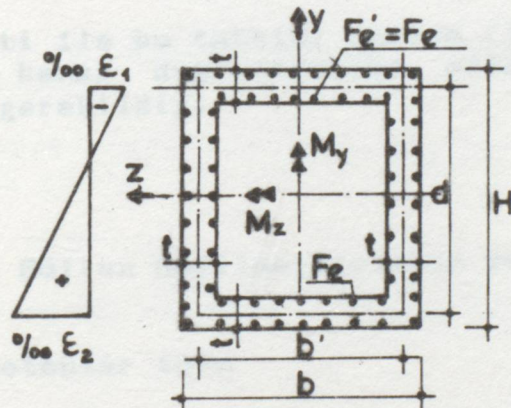
4.1 : TARİFLER VE KABULLER

4.1.1 Sandık Kesit

Hesapta yalnız başlıkların taşıma gücüne katıldıklarını ve çizgisel olarak ele alındıklarını varsayıcağız. Gövde basıncı bölgeleri ve konstrüktif donatıları daha sonra yaklaşık olarak işe dahil edilecektir. Indirgenmiş beton alanlarını gözönüne alalım:

$$\begin{aligned} A_{ny} &= bt\beta_R/17.5 & ; \quad A_{nz} &= dt\beta_R/17.5 \\ n_y &= |N| / A_{ny} & ; \quad n_z &= |N| / A_{nz} \\ m_y &= |M_y| / (A_{ny} b') & ; \quad m_z &= |M_z| / (A_{ny} d) \\ e_y/d &= m_z/n_y & ; \quad e_z/b' &= m_y/n_z \end{aligned} \quad (4.1)$$

e = Eksantrisite



Şekil 4.1

Başlık donatıları simetrik tertip edildiginden

$$F_d = F'_d = A_n \cdot \mu / 100 \quad (4.2)$$

Minimum donatı için alışılmış şartlar geçerlidir.

$$\mu \geq \mu_{min} ; \quad \mu \geq \frac{\mu_{n.} 0.192}{1.75 + 1.936} \cdot \frac{\beta_R}{17.5} \quad (4.3)$$

Beton sınıfı	B 15	B 25	B 35	B 45	B 55
μ	1.33	0.80	0.61	0.52	0.47

4.1.2 İki Dogrultuda Flambaj

Aşağıdaki şart gerçekleştiği takdirde, eğik bileşik eğilmedeki flambaj tahlükinde her iki doğrultuda ayrı hesap yapmanın yeterli olduğu bilinmektedir.

$$k = \left| \frac{e_y/d}{e_z/b} \right| \leq 0.2 \quad \text{veya} \quad \geq 5.0 \quad (4.4)$$

Dikdörtgen kesitlerde $0.2 < k < 5.0$ durumunda bir

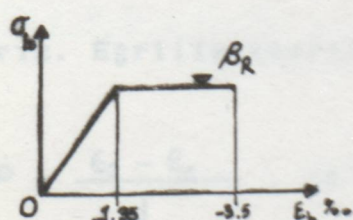
$$M_r = M_y + k \cdot M_y \quad (4.5)$$

ikâme momenti ile bu tahliki düzlem flambaj gibi yapabiliriz. Ayrıca dar kenar doğrultusunda mütâd bir düzlem flambaj tahlüğü de gereklidir.

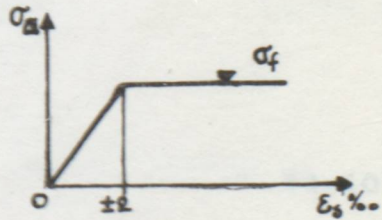
4.1.3 Kabul Edilen Gerilme-Birimboy Değişimi Diagramları

Bütün betonlar için

Çelik için



(a)



(b)

Şekil 4.2

Sekil 4.2 (a) diagrami kabul edilebilir, çünkü flamboyat hâlikinde olduğu gibi işlene yüklerinin üzerindeki kısa süreli yüklemeler altında beton sekil eğitirmelerinin hesabı için 2. derece parabol yerine basit doğrusal diagram kullanılabilir.

4.3.4 Denge Şartları

Aşağıdakilerdeki yataş izdüşüm ve moment denge denklemlerini yazınız:

$$D_{bx} + D_{ax} + D_{bx} + D_{gx} = 0 \quad (4.6)$$

$$D_{bx} - dI + D_{ax} - d = 0, \quad \frac{d}{2} + \mu \quad (4.7)$$

Bu iki denklemde, bir tarafta indirgenmiş momentler ve normal kuvvetler, diğer tarafta birim boy değişimleri ve konstant yuzdeleri arasında bağıntılar elde edebiliriz.

4.3.5 Momentlik-Eğrilik Bağıntısından Eğilme Rigidliginin Tanıtıması

Catlamamış kesitlerde elastisite teorisindeki eğilme rigidliği

$$\frac{\partial E_I}{\partial P} = \frac{\partial M}{\partial \theta} = \frac{\partial M}{\partial \phi} \quad (4.8)$$

gösterimine uygun olarak catlamış durumda

$$\frac{\partial E_I}{\partial P} = \frac{\partial M}{\partial \theta} \quad \text{ve} \quad b_{II} = \frac{1}{P} \frac{\partial M}{\partial \theta} \quad (4.9)$$

olaraz, Eğrilik tarifinden

$$\frac{\partial P}{\partial \theta} = \frac{E_1 - E_2}{d}, \quad 10^3 \quad (4.10)$$

(9) ve (10) denklemlerini kullanarak indirgenmiş eğilme riyidliğini indirgenmiş moment m ve indirgenmiş normal kuvvet n cinsinden veya μ donanı yüzdesinin fonksiyonu olarak ifade edebiliriz. Tabiatıyla b_{11} pozitif ve B_1 'den küçük olmalıdır. Buna göre, yine aynı birimler kullanılarak

$$0 < b_{11} \leq \left(\frac{875}{B_R} + 0.075\mu \right) E_b \quad (4.11)$$

4.2: YÜKLEME DURUMLARI

ϵ_1 ve ϵ_2 birim boy değişimlerinin rölatif değerlerine göre farklı 12 yükleme durumu tanımlanabilir.

(4.12.1)

$$0 < |\epsilon_1| < 1.35 ; \epsilon_2 > 2 \quad \epsilon_1 = \frac{-2m - n}{25.924 + m - 0.5n} ; \mu = \frac{2m - n}{8.4}$$

$$b_{11} = 125 \cdot \frac{(2m - n + 51.85)^2}{25.92 - n}$$

(4.12.2)

$$1.35 < |\epsilon_1| < 2 ; \epsilon_2 > 2 \quad \epsilon_1 = \frac{-2m - n + 35}{m - 0.5n} ; \mu = \frac{2m - n}{8.4}$$

$$b_{11} = 125 \cdot \frac{(2m - n)^2}{(17.5 - n)}$$

$$2 < |\epsilon_1| < 3.5 ; \epsilon_2 > 2 \quad \mu = \frac{m + 0.5 - 17.5}{A.2} \quad (4.12.3)$$

$$b_{11} = 125 \cdot \frac{(2m - n)^2}{(17.5 - n)}$$

$$2 < |\epsilon_1| < 3.5 ; 0 < |\epsilon_2| < 1.35$$

(4.12.4)

$$\epsilon_2 = \frac{-n + 2m}{8.426 + m + 0.5n}$$

$$\mu = \frac{m + 0.5n - 17.5}{4.2}$$

$$b_{ll} = \frac{500(8.426 + m + 0.5)^2}{8.426 + n}$$

(4.12.5)

$$2 \leq |\epsilon_1| \leq 3.5 ; 1.35 < |\epsilon_2| < 2$$

$$\epsilon_2 = \frac{-n + 2m + 35}{m + 0.5n - 17.5}$$

$$\mu = \frac{0.5n + m - 17.5}{4.2}$$

$$b_{II} = \frac{250 (m + 0.5n - 17.5)}{0.5n - 17.5}^2$$

(4.12.6)

$$2 < \epsilon_1 < 3.5 ; 2 < \epsilon_2 < 3.5$$

$$\epsilon_2 = -2 ; m = 0 ; \mu = (n - 35) / 8.4 ;$$

$$b_{II} = 250n$$

(4.12.7)

$$0 < |\epsilon_1| < 1.35 ; 0 < \epsilon_2 < 2$$

$$\epsilon_2 = \frac{2m-n}{4.2} ; \epsilon_1 = \frac{-2m-n}{25.926+4.2}$$

$$b_{II} = 2100 \frac{\mu (\mu + 6.173)}{2\mu + 6.173}$$

$$\frac{2m+n-35}{5.67} \leq \mu < \frac{n-2m}{8.4} \text{ ve } \mu > \mu_{\min} \text{ olmak üzere } \mu \text{ seçilir}$$

(4.12.8)

$$1.35 < |\epsilon_1| < 2 ; 0 < \epsilon_2 < 2$$

$$\epsilon_2 = (2m - n) / (4.2\mu) ;$$

$$\epsilon_1 = \frac{-2m - n + 35}{4.2 \mu} ; b_{II} = 1050 \mu$$

$$\frac{2m + n - 35}{8.4} < \mu < \frac{2m + n - 35}{5.67} ; \mu < \frac{n - 2m}{8.4}$$

$\mu > \mu_{min}$ olmak üzere μ seçilir.

(4.12.9)

$$2 \leq |\epsilon_1| \leq 3.5 ; 0 < \epsilon_2 < 2$$

$$\epsilon_2 = (2m - n) / (m + 0.5n - 17.5);$$

$$\mu = \frac{m + 0.5n - 17.5}{4.2}$$

$$b_{II} = \frac{500 (m + 0.5n - 17.5)^2}{n - 17.5}$$

(4.12.10)

$$0 < |\epsilon_1| \leq 1.35 ; 0 < |\epsilon_2| \leq 1.35$$

$$\epsilon_1 = \frac{-m - 0.5n}{12.963 + 2.1\mu}$$

$$\epsilon_2 = \frac{-0.5n + m}{12.963 + 2.1\mu}$$

$$b_{II} = 500 (12.963 + 2.1\mu)$$

$$\mu \geq \frac{n + 2m - 35}{5.67};$$

$\mu > \mu_{min}$ olmak üzere μ seçilir.

(4.12.11)

$$1.35 < |\epsilon_1| < 2 ; 0 < |\epsilon_2| \leq 1.35$$

$$\epsilon_1 = \frac{-m - 0.5n + 17.5}{2.1 \mu}$$

$$\epsilon_2 = \frac{-0.5n + m}{12.963 + 2.1 \mu}$$

$$b_{II} = \frac{2100 \mu (\mu + 6.173)}{2 \mu + 6.173}$$

$$\frac{n + 2m - 35}{8.4} < \mu < \frac{n + 2m - 35}{5.67} ; \mu \geq \frac{n - 2m - 35}{5.67}$$

$\mu > \mu_{\min}$ olmak üzere μ seçilir.

(4.12.12)

$$1.35 < |\epsilon_1| < 2 ; 1.35 < |\epsilon_2| < 2$$

$$\epsilon_1 = \frac{17.5 - 0.5n - m}{2.1 \mu}$$

$$\epsilon_2 = \frac{17.5 - 0.5n + m}{2.1 \mu}$$

$$b_{II} = 1050 \mu$$

$$\frac{0.5n + m - 17.5}{4.2} < \mu < \frac{0.5n - m - 17.5}{2.835}$$

$\mu > \mu_{\min}$ olmak üzere μ seçilir.

Tablo 4-1

1. satır: donanı yüzdesi μ
 2. satır: indirgenmiş riyidlik b_{II}

		$E_c = 23171 \text{ MN/m}^2$ $f_c = 17.5 \text{ MN/m}^2$													
		0	1	2	4	5	10	15	20	25	30	35	40	45	50
n \ m	0	0,8	0,8	0,8	0,85	1,10	2,38	3,57	4,75	5,95	7,14	8,33	9,52	10,71	11,90
0	7321	12975	12975	13236	13653	15723	17790	19858	21926	23994	26063	28131	30199	32267	
1	0,8	0,8	0,8	0,83	1,07	2,28	3,45	4,64	5,83	7,02	8,21	9,40	10,60	11,79	
2	7321	12975	12975	13028	13445	15513	17581	19648	21718	23786	25854	27922	30008	32089	
2	0,8	0,8	0,8	0,85	2,14	3,33	4,52	5,71	6,90	8,10	9,29	10,48	11,67		
3	7321	7321	12975	12975	13236	15304	17373	19441	21509	23577	25663	27731	29799	31862	
4	0,8	0,8	0,8	0,8	0,8	1,90	3,10	4,29	5,48	6,67	7,86	9,05	10,24	11,43	
5	7321	7321	12975	12975	14887	16673	19041	21109	23177	25246	27314	29382	31448		
5	0,8	0,8	0,8	0,8	0,8	1,79	2,88	4,17	5,38	6,56	7,74	8,93	10,12	11,31	
6	7321	7321	7321	12975	14696	16764	18832	20901	22969	25037	27105	29174	31241		
10	0,8	0,8	0,8	0,8	0,8	1,19	2,38	3,57	4,76	5,95	7,14	8,33	9,52	10,71	
15	7321	7321	7321	7321	13653	15721	17790	19858	21926	23994	26063	28131	30208		
15	0,8	0,8	0,8	0,8	0,8	0,8	1,79	2,98	4,17	5,38	6,55	7,74	8,93	10,12	
20	7321	7321	7321	7321	12975	14696	16764	18832	20901	22969	25037	27105	29174		
20	0,91	0,91	0,91	0,91	0,91	0,91	1,79	2,98	4,17	5,38	6,55	7,74	8,93	10,12	
25	7321	7321	7321	7321	1250	11250	16764	18832	20901	22969	25037	27105	29174		
25	1,13	1,13	1,13	1,13	1,13	1,19	2,38	3,57	4,76	5,95	7,14	8,33	9,52	10,71	
30	7321	7321	7321	7321	2151	6667	15000	19858	21926	23994	26063	28131	30206		
30	1,36	1,36	1,36	1,36	1,36	1,79	2,98	4,17	5,38	6,55	7,74	8,93	10,12	11,31	
35	7321	7321	7321	7321	7416	3069	6250	12250	20250	22969	25037	27105	29174	31242	
35	1,59	1,59	1,59	1,59	1,76	2,39	3,58	4,76	5,95	7,14	8,33	9,52	10,71	11,90	
40	7321	7321	7321	7321	2151	6667	15000	19858	21926	23994	26063	28131	30199	32267	
40	1,81	1,81	1,81	2,29	2,65	2,99	4,17	5,38	6,55	7,74	8,93	10,12	11,31	12,50	
45	8382	8382	8382	8886	9264	4734	6241	11250	16806	23472	27105	29174	31242	33310	
45	2,04	2,12	2,47	3,18	3,53	3,58	4,76	5,98	7,14	8,33	9,52	10,71	11,90	1310	
50	8823	8707	9075	9810	10188	5499	6964	8383	16364	22273	28131	30199	32267	34345	
50	2,65	3,00	3,35	4,06	4,41	4,76	5,38	6,55	7,74	8,93	10,12	11,31	12,50	13,69	
50	9284	9831	10000	10744	11112	6964	7065	9080	16250	21635	27768	31242	33310	35379	

momentinden ileri gelen donatı alamaz (b denklem) ve her seferde konsantrasyonla dolaylı boyutu sıfır olmalıdır. e_2/d veya e_2/b' 0.5'den küçükse ϵ_2 tabiatıyla negatifdir. m ve n verilince hesaplanan birim boy değişiminin sınır değerlerinden uygun düşen yük durumu belirlenir ve tekabül eden indirgenmiş rigidlik ve donatı yüzdesi bulunur.

4.2.1 Sayısal Tablo

Indirgenmiş moment m ve normal kuvvet n değerlerine göre μ donatı yüzdesi ve b_{II} indirgenmiş eğilme rigidliği değerlerini verecek olan sayısal bir tablo hazırlanması çok faydalı olurdu. Orta ayaklar için hazırlanmış böyle bir tablo burada verilecektir.

Indirgenmiş eksantrisite 0.5 eşigini aşarken, tablo üzerinde özellikle $m=10$, $n=20$ için daha bariz olarak, b_{II} rigidliklerinin süreksizliği göze çarpmaktadır, fakat donatı yüzdesi sürekli şekilde devam etmektedir. Bu viyadükler Amerikan şartnamesi AASHTO 'ya göre hesaplandıklarından beton E modülü TS500 tarafından verilen değerden daha küçüktür. Bununla beraber bu tablo yaklaşık olarak bütün beton sınıfları için rahatlıkla kullanılabilir. Böylece emniyetli tarafta kalınmaktadır.

4.2.2 Gövde Donatısının Gözönüne Alınması

Yukarda gövde donatısını bilerek ihmali ettik. Halbuki önemli bir etkisi vardır. Bu etkiyi gözönüne almak için gövde donatısının yarısının çalışmaya katıldığını varsayıyalım... Bu suretle

$k \leq 0.2$ veya > 5.0 olduğu zaman

$$\sum F_a = 2 (F_{ay} + F_{ar}) \quad (4.13)$$

$0.2 < k < 5$ olduğu zaman ise

$$\sum F_a = 2 F_{ar} \frac{1+b/H}{1+0.5b/H} \quad (4.14)$$

yazılabilir. Burada F_{ar} , M_r

momentinden ileri gelen donatı alanıdır (5 denklemi) ve her enkesit kenarına toplam donatı alanından kendi boyu ile orantılı bir payın düşüğü kabul edilmektedir.

4.3: Stabilite Tahkiki

4.3.1 Esaslar

Uzerinde bir kayıcı veya elastomer mesnet bulunan Şekil-3 'deki yüksek viyadük orta ayagını gözönüne alalım. Bu orta ayak, inşaat safhasında kullanılan sürme metodu sebebiyle, serbest konsol çubuk olarak yatay doğrultuda zorlanıyor olabilir. Her halukarda plastik bölgede plastik mafsallarla 2. mertebe teorisine göre hesap yapıyoruz. Orta ayak yukarı doğru azalan değişken donatı ile techiz edilecektir. Ayagın harabiyeti, herhangi iki kesitinde, eksantrik basınç altında plastik mafsalların taşıma gücüne erişilmesi ile oluşan bir mekanizma şeklinde gerçekleşir. Ayagın boyuna doğrultudaki deplasmana karşı plastik mukavemetinin, elastik mukavemetine göre çok küçük olduğu bilinmektedir. Yani orta ayak göçme durumunda bir pandül mesnet gibi davranışır. Bu keyfiyet, göçme durumundaki taşıma gücü tahkikinde zorlayıcı kesit kesirlerinin neden ihmali edilebileceğini kısmen izah eder. (bkz. DIN 1075, 7.2.2) Tabiatıyla köprüün sürme yöntemi ile inşa edilmesi gibi durumlarda sürtünme kuvvetlerinin dış kuvvet olarak sürekli etkimesi halinde bu büküm geçerli değildir. Bu yüzden göçme durumunda orta ayak tepesinin tabliye tarafından artık tutulmadığını kabul edebiliriz. Statik hesap yaparken proje mühendisi mutad olarak inşaat ve işletme safhaları için ayagın her iki asal doğrultusunda iki durum ele alır: Nizami hesap ve Flambaj tahkiki. Bu sonuncuda mesnet sürtünme kuvvetleri sıfır alınacaktır.

P : Yayılı yük.

C_f : Zemin elastikliği yüzünden temel dönmesi.

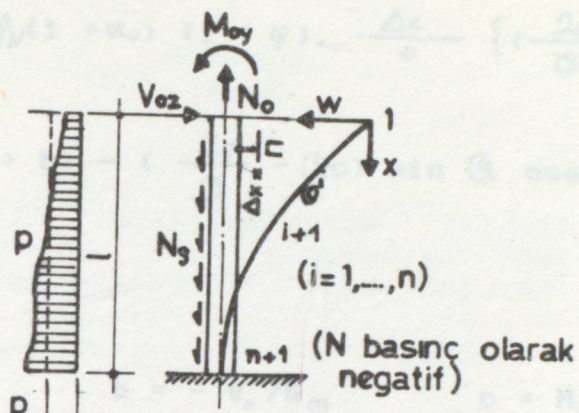
E_d : Kısa süreli yükleme için zemin rijidlik katsayısı.

J_f : Temelin göz önüne alınan dönme ekseni etrafında atalet momenti.

A : Temel yüzey alanı.

α_v : istenmeyen eksantrisite

φ : Eğikleşme



Şekil 4.3

4.3.2 Formüllerin Çıkarılması

Bilinen Diferansiyel denklem

$$\frac{\partial^2 w}{\partial x^2} + Q^2 w + Q^2 \cdot e = 0 \quad (4.15)$$

kullanılacaktır. Burada

$$Q = \frac{\sqrt{n/b_n}}{d} \quad (4.16)$$

$$(\text{dogrultuya göre } Q_x = \frac{\sqrt{n_x/b_n}}{b} \quad \text{veya } Q_y = \frac{\sqrt{n_y/b_n}}{b})$$

birçok nümerik uygulama Q 'nin yaklaşık olarak sabit olduğunu göstermiştir.

Şöyledir:

$$M_{II} = M_I + N \cdot Q w$$

Türev alındıktan sonra

$$\frac{M_{II,i+1}}{M_{I,i+1}} = 1 + \varphi_N(1 + \alpha_v) (1 + \varphi) \cdot \frac{\Delta x}{e} \left\{ \left(-\frac{2a}{\alpha} - Qc \right) \sin Qx \right. \\ \left. + \frac{1}{\cos Qx} \left[(2al + b) - \left(-\frac{2a}{\alpha} - Qc \right) \sin Qx \cos Qx - (2ax + b) \right] \right\} \quad (4.18)$$

Burada

$$a = - p_m / (2 N_m) \quad b = - v_o / N_m \quad c = M_o / N_m \\ N_m = N_o - \frac{1}{2} \cdot \sum N_{g'i} \quad P_m = \int_0^L pdx L \quad (4.19)$$

$$\varphi_N = 1.7 \quad \varphi = \frac{1}{100 \sqrt{L}} \quad \alpha_v = \frac{1}{400}$$

$$c_F = [\sqrt{A} / (4 E_d l_F)] \cdot M_{II,n+1}$$

Orta ayak, yüksekliği boyunca n parçaya bölünecektir.

$$N_i = N_o - \frac{1}{2} N_{g'i} \quad V_i = v_o \quad M_{I,i} = M_{II,i} = M_o \\ N_{i+1} = N_i - N_{g,i+1} \quad V_{i+1} = V_i + P_i \cdot \Delta x ; \quad N_{n+1} = N_n - \frac{1}{2} N_{g,Q} \quad (4.20)$$

$$M_{I,i+1} = M_{II,i} - V_i \cdot \Delta x - 0.5 P_i \Delta x^2 + c_F N_i \Delta x ; \quad e = - M / N$$

(4.18) denklemi yardımcı ile, orta ayagın her bölüm noktasında aranan 2. mertebe momentlerini veren iterasyonu adım adım uyguluyoruz. Metodun elle hesaplamaya elverişli olmasına rağmen emre hazır bir program tercih edilir.

BÖLÜM 5 EKLER

Abakların pratik uygulamalarına ilişkin yorumları sadeleştirmek amacıyla, abak gruplarını belirtmek için aşağıdaki notasyonlar kullanılır. (bkz. böl. 6)

A 100 . t /H , 100 . t /b , 100 .

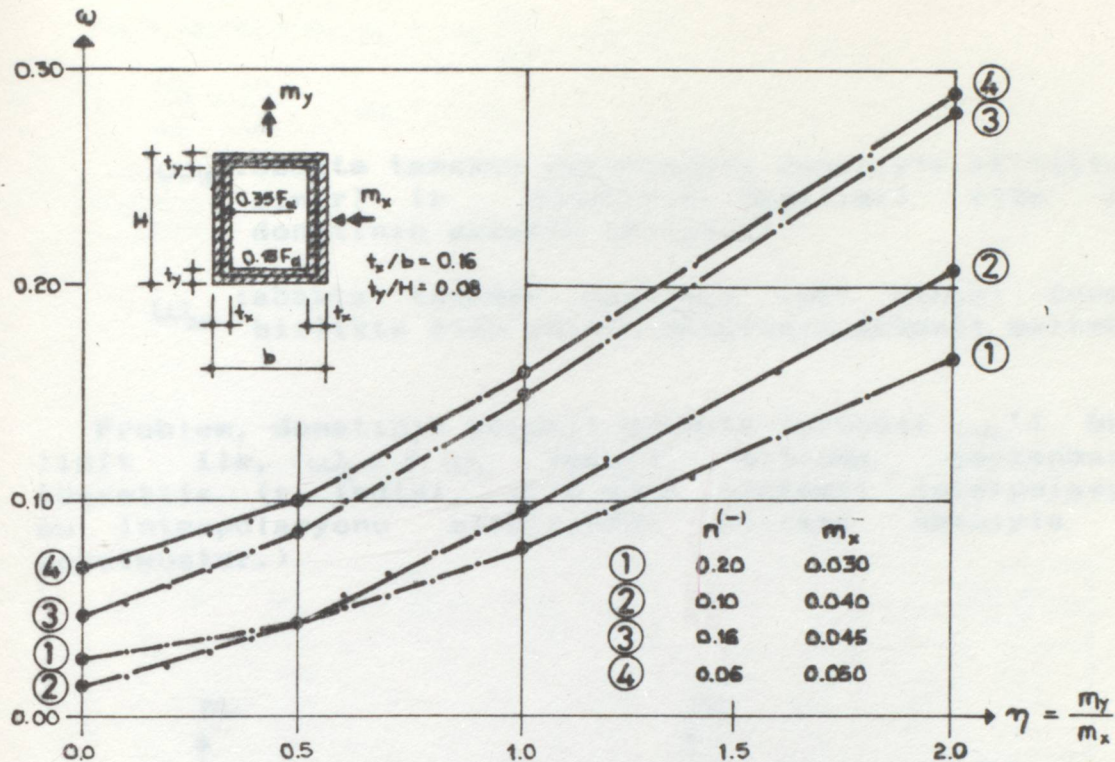
ÖRNEK:

A 08,16,15

$$\begin{aligned}t_y/H &= 0.08 \\t_x/b &= 0.16 \\\beta &= 0.15\end{aligned}$$

5.1 $\omega = f(m_y/m_x)$ Bağıntısının Lineerliği

Egik eğim abakları için kabul edilen tasarım yolu özellikle donatı mekanik ω mertebesi rölatif momentler $\eta = m_y/m_x$ bağıntısının $\eta = 0.0, 0.5, 1.0$ ve 2.0 karakteristik değerleri arasındaki lineer bir fonksiyondur. Hemen hemen mükemmel olan bu lineerlik örneğin farklı kuvvet çiftleri tarafından çekilen hareketli bir kesit yardımıyla resmedilir.



Şekil 5.1

η (çizgi) ve gerekli gerçek donatiya göre lineer interpoasyonla elde edilen donatı kıyası

5.2 4 Çubuklu Donatı Abaklarıyla Lineer Olarak Dağılan Donatı Abakları Arasındaki Interpolasyon

Sandık kesit donatısı lineer olarak dağılan (ω_L) bir miktar donatıdan meydana gelmiştir. Statik yada yapı ile ilgili nedenlerden dolayı donatı (ω_4) kesitin dört köşesine üst üste koyulur.

ω_L :lineer olarak dağılmış donatının mekanik mertebesi.

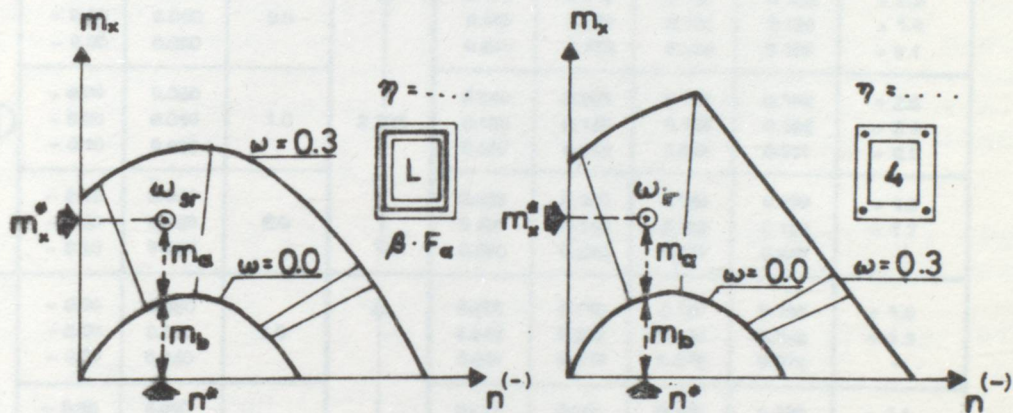
$$\omega_4 = \frac{1}{4} \cdot \omega_L : 4 \text{ köşeye yığılmış donatının mekanik mertebesi}$$

Bütün donatının 4 köşede toplanmış olduğu göz önüne alınırsa, çok zayıf donatı miktarı elde edilir. Çünkü idealleşme güvensizliğin yanındadır. Buna karşılık eğer bütün donatı lineer olarak dağılmış kabul edilirse, ideal durum güvencededir ve elde edilen donatı miktarı çok yüksektir. Bir boyut bulma durumunda, abaklar gerekli donatı miktarı için bir alt sınır ile üst sınırı saptamaya yardımcı olurlar.

ω_{ir} : abakta tamamen yoğunlaşmış donatıyla birlikte (alt sınır) (r donatının dağılımı) elde edilen donatının mekanik mertebesi.

ω_{sr} : abakta tamamen dağılmış (üst sınır) donatıyla birlikte elde edilen donatının mekanik mertebesi.

Problem, donatının gerekli mekanik derecesi ω_L 'i bu iki limit ile, $\omega_4 = \xi \cdot \omega_L$ koşulu altında saptanmasından ibarettir. (r indis, η 'a göre sistemli interpolasyonla, bu interpolasyonu birbirinden ayırmak amacıyla araya sokulmuştur.)



Şekil 5.2

Betonun m_a katkısı (contribution) her iki abakta da denktir.

$$m_a = m_x^* - m_b = \text{Sabit}$$

ω fonksiyonu cinsinden m_a 'nın bir lineer büyümesi kabul edilirse ortalama büyümeye oranları şöyle tanımlanabilir.

$$a_L = \frac{m_a}{\omega_{sr}}, \quad a_4 = \frac{m_a}{\omega_{ir}}$$

Çeligin m_a katkısı o zaman ω_L ve ω_4 bilinmeyenleri ile a_L ve a_4 değerleri ile ifade edilebilir.

$$m_a = \omega_4 \cdot a_4 + \omega_L \cdot a_L = \omega_4 \frac{m_a}{\omega_{ir}} + \omega_L \frac{m_a}{\omega_{sr}}$$

$$\rightarrow 1 = \frac{\omega_4}{\omega_{ir}} + \frac{\omega_L}{\omega_{sr}}, \quad \omega_4 = \xi \cdot \omega_L$$

$$\rightarrow 1 = \frac{\xi \omega_L}{\omega_{ir}} + \frac{\omega_L}{\omega_{sr}}$$

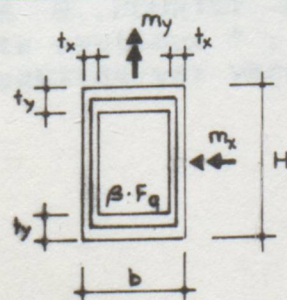
$$\omega_L = \frac{1}{\frac{\xi}{\omega_{ir}} + \frac{1}{\omega_{sr}}}$$

$$\omega_4 = \xi \cdot \omega_L$$

Tablo 5.3

Interpolasyonu yapılmış donatı mertebesinin ve
değişik örnekler için efektif () kıyaslaması

$\pi^{(-)}$	m_x	$\eta = \frac{m_y}{m_x}$	$\xi = \frac{\omega_4}{\omega_L}$	ω_s	ω_i	$\bar{\omega}$	ω_{eff}	$\frac{\bar{\omega} \cdot \omega_{eff}}{\omega_{eff}} \cdot 100$
①	- 0.06	0.060	0.5	0.173	0.118	0.131	0.128	+ 2.3
	- 0.18	0.050		0.188	0.120	0.131	0.129	+ 1.6
	- 0.20	0.060		0.260	0.183	0.199	0.195	+ 2.1
	- 0.04	0.060	1.0	0.240	0.183	0.197	0.192	+ 2.6
	- 0.20	0.040		0.193	0.160	0.169	0.165	+ 2.4
	- 0.10	0.030		0.066	0.048	0.052	0.051	+ 2.0
	- 0.10	0.040	2.0	0.233	0.180	0.198	0.190	+ 1.6
	- 0.20	0.020		0.190	0.119	0.122	0.120	+ 1.7
	- 0.30	0.025		0.260	0.242	0.247	0.247	-
②	- 0.06	0.080	0.5	0.235	0.170	0.197	0.195	+ 1.0
	- 0.30	0.060		0.268	0.222	0.243	0.240	+ 1.3
	- 0.20	0.040		0.089	0.070	0.078	0.078	-
	- 0.08	0.060	1.0	0.217	0.163	0.186	0.184	+ 1.1
	- 0.14	0.050		0.172	0.126	0.145	0.144	+ 0.7
	- 0.40	0.030		0.272	0.295	0.283	0.262	+ 0.4
	- 0.06	0.040	2.0	0.205	0.172	0.187	0.187	-
	- 0.18	0.030		0.153	0.129	0.140	0.139	+ 0.7
	- 0.34	0.025		0.248	0.232	0.246	0.240	-
③	- 0.08	0.080	0.5	0.212	0.173	0.201	0.200	+ 0.5
	- 0.10	0.090		0.091	0.072	0.085	0.085	-
	- 0.30	0.025		0.180	0.152	0.158	0.158	-
	- 0.02	0.040	1.0	0.128	0.103	0.121	0.120	+ 0.8
	- 0.20	0.060		0.060	0.235	0.261	0.277	+ 1.4
	- 0.10	0.060		0.240	0.170	0.218	0.215	+ 1.4
	- 0.06	0.040	2.0	0.260	0.177	0.238	0.229	+ 1.7
	- 0.30	0.020		0.226	0.197	0.218	0.213	+ 2.3
	- 0.20	0.030		0.228	0.170	0.210	0.208	+ 1.8



	t_y / H	t_x / b	β
①	0.06	0.12	0.10
②	0.08	0.16	0.15
③	0.10	0.10	0.40

Bu yöntem, her n^* için, m_g büyümesi ω 'nın lineer bir fonksiyonu olma hipotezine dayanmaktadır. Bu, sadece verilen bir deformasyon durumunun ortaya çıkardığı doğruların bu zorunluluğu tatmin edeceğini gerçeği ile çelişki içindedir. Bununla birlikte aşağıdaki kıyaslama tablosu önerilen formülün çok iyi sonuçlara götürüğünü göstermektedir. Interpole edilen $\bar{\omega}$ mekanik mertebe ile efktif mekanik mertebe ω_{eff} arasındaki farklılıklar yalnız ihmali edilebilir değil aynı zamanda güvenilirdir de.

5.3 $\delta = (t_x / b) / (t_y / H)$ Parametresine Göre Interpolasyon Kontrolu

$\delta = 1.0, 2.0$ ve 3.0 değerleri için 3 abak ailesi bulunmaktadır. Özellikle A 10, 20, 25 ve A 20, 20, 25 abaklarını içermektedir. A 15, 20, 25 abakları özellikle verilen gruplar arasındaki interpolasyon lineerliğini kontrol etmek için düzenlenmişlerdir. 5.4'deki tablo, bu kontrollerin sonuçlarını gösteriyor, komple istek (sollicitations) yelpazesi için ($n, m_x, m_y = \eta \cdot m_x$)

ω_1 : ω 'nın A 10, 20, 25 grubundan çıkarılmış değeri

ω_2 : ω 'nın A 20, 20, 25 grubundan çıkarılmış değeri

$\bar{\omega}$: $(\omega_1 + \omega_2) / 2$ ortalama değeri

ω_{eff} : ω 'nın A 15, 20, 25 grubundan çıkarılmış efektif değeri

ξ : $((\bar{\omega} - \omega_{eff}) / \omega_{eff}) \cdot 100$

Bo tablo da yer almaktadır.

Verilen abaklar genel linear interpolasyonla elde edilen $\bar{\omega}$ değeri gerçek değere en fazla %10'a kadar (max $\xi = 4%$) yakınsık güvenilir görünüyor. ξ percent

Bo tablo güvenilirlik testini için kullanılmış elde edilen $\bar{\omega}$ değerinin ω_{eff} değerinden önceki sıfırının

WALTHER R., HOURIET B. ; "Design charts for reinforced concrete sections" , 1980 Yukarda bahsi geçen abaklara geniş şekilde yer vermiştir.

η	m_x / m_y	$\eta = m_y / m_x$	ω_1	ω_2	$\bar{\omega}$	ω_{eff}	$\xi (\%)$	*
- 0.06	0.10		0.200	0.216	0.208	0.205	+ 1.5	*
- 0.20	0.06	0.0	0.080	0.080	0.080	0.080	- 0.0	*
- 0.02	0.06		0.129	0.138	0.134	0.134	+ 2.3	*
- 0.06	0.06		0.122	0.121	0.1215	0.121	+ 0.4	
- 0.12	0.06	0.5	0.210	0.190	0.200	0.195	+ 3.6	
- 0.30	0.04		0.128	0.060	0.094	0.091	+ 3.3	
- 0.04	0.04		0.103	0.103	0.103	0.105	- 0.0	
- 0.10	0.06	1.0	0.195	0.188	0.192	0.190	+ 1.1	
- 0.16	0.05		0.147	0.117	0.122	0.120	+ 1.5	
- 0.30	0.04		0.240	0.243	0.242	0.241	+ 0.4	*
- 0.08	0.03	2.0	0.115	0.110	0.113	0.112	+ 0.9	
- 0.16	0.03		0.122	0.086	0.104	0.100	+ 4.0	
- 0.06	(0.10)		0.215	0.217	0.216	0.216	- 0.0	*
- 0.10	(0.08)	oo	0.119	0.119	0.119	0.119	- 0.0	*
- 0.40	(0.04)		0.204	0.135	0.170	0.170	- 0.0	*

Tablo 5.4

Bu tablo şu yorumları çağrıstırıyor:

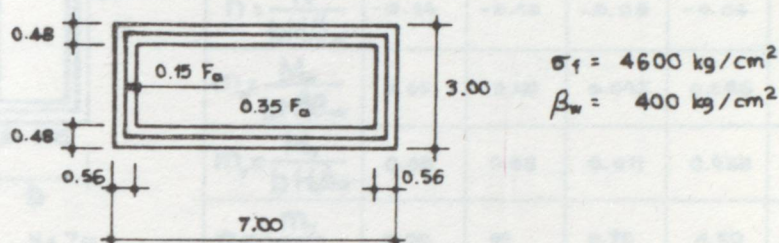
- Verilen abaklar arası lineer interpolasyonla elde edilen $\bar{\omega}$ değeri gerçek değere oldukça yakındır. ($\xi_{max} = + 4\%$)
- Yaklaşık güvenirlik yanındadır. (ξ olumlu)
- En kalın duvarların kesiti için abaklardan elde edilen ω_2 değeri ω_1 (*) değerinden yüksek olabilir.

Bu son özellik verilen (n, m_x, m_y) 'i ortaya çıkarmak için gerekli deformasyon durumuyla açıklanabilir. Gerekli deformasyon durumları beton kesitinin biçimine göre gözle görülür biçimde değişiklikler arzedebilir.

BÖLÜM 6
ÖRNEKLER

6.1 $\eta = \frac{m_y}{m_x}$ 'e Göre Interpolasyon

Verilen kesit:



Sekil 6.1

Kesitin yön durumu:

$$\text{Yön durumu koşulu : } t_y / H < t_x / b$$

$$\begin{aligned} 0.48 / 3.0 &= 0.16 & \xrightarrow{\hspace{1cm}} & \left\{ \begin{array}{l} b = 3.0, t_x = 0.48 \\ H = 7.0, t_y = 0.56 \end{array} \right. \\ 0.56 / 7.0 &= 0.08 & \text{egittir} & \end{aligned}$$

Dönüşümdeki bu değerlerin doğruluğunu kontrol etmek istemi veririz.

Parametreler:

$$t_y / H = 0.08 \quad \text{lineer yapımlı donatı}$$

$$t_x / b = 0.16 \quad \beta = 0.15$$

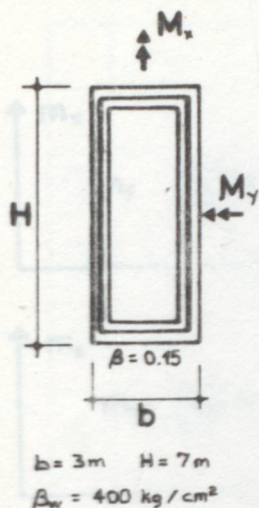
abaklar A 08 , 16 , 15

Istekler: arilen

lie var degisti

verilen abaklar

limiti sayesinde



	①	②	③	④	⑤	⑥
$N (\text{t})$	$-4.17 \cdot 10^4$	$-8.4 \cdot 10^3$	$-6.72 \cdot 10^3$	$-3.36 \cdot 10^3$	$-1.01 \cdot 10^3$	$-1.34 \cdot 10^4$
$M_x (\text{tm})$	$2.94 \cdot 10^4$	0.00	$2.64 \cdot 10^4$	$1.47 \cdot 10^4$	$2.35 \cdot 10^4$	$8.41 \cdot 10^3$
$M_y (\text{tm})$	0.00	$4.94 \cdot 10^4$	$2.77 \cdot 10^3$	$3.88 \cdot 10^3$	$6.05 \cdot 10^3$	$4.26 \cdot 10^4$
$n = \frac{N}{bH\beta_w}$	-0.14	-0.10	-0.08	-0.04	-0.17	-0.18
$m_x = \frac{M_x}{bH^2\beta_w}$	0.05	0.00	0.045	0.026	0.04	0.016
$m_y = \frac{M_y}{bH\beta_w}$	0.00	0.06	0.011	0.038	0.024	0.05
$\gamma = \frac{m_y}{m_x}$	0.00	00	0.76	1.60	0.80	3.17

Şekil 6.2

Variabler

degerleri

Donatının Ölçünlendirilmesi:

nenar

3.0.3. Ahmak

① , ② Birleşik eğilme ($\gamma = 0.0, \infty$)

Bu grupdaki iki abak doğrudan ω büyüklüğünü verirler.

③ , ④ , ⑤ Bu durumların her birinde verilen $\gamma = m_y/m_x$ oranı grup abaklarından birine ilişkin bir alt γ_1 ve γ_5 üst sınırla çerçevelenebilir.

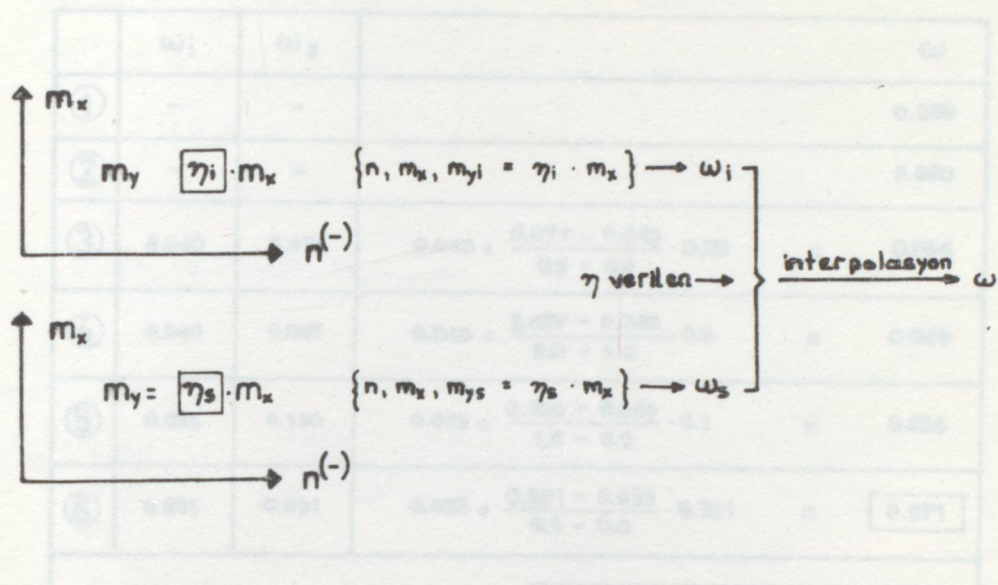
$$\gamma_1 < \gamma < \gamma_5 \quad (3)$$

$$0.0 < \gamma_1 < 0.25 \quad (4)$$

$$1.0 < \gamma_1 < 2.0 \quad (5)$$

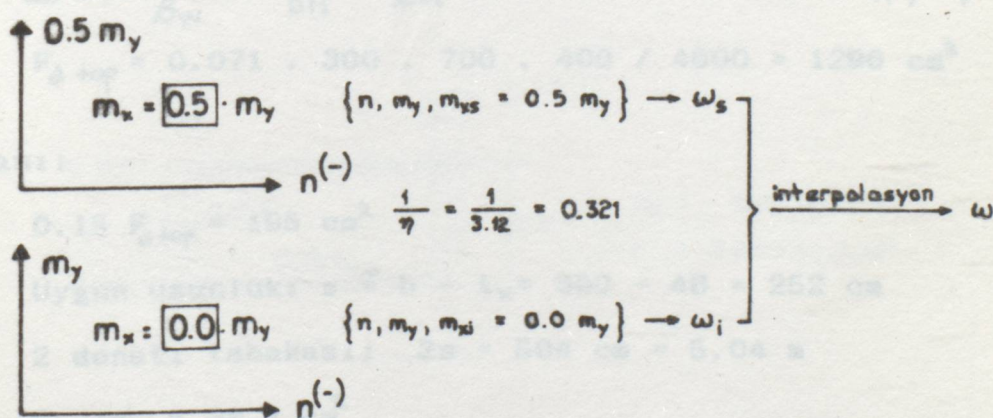
$$0.5 < \gamma_5 < 1.0 \quad (5)$$

Yöntem, verilen $m_y = \eta \cdot m_x$, $m_{yi} = \eta_i \cdot m_x$ ve $m_{ys} = \eta_s \cdot m_x$ ile yer degiştirmeye dayanıyor. Aranan ω büyülüğu için verilen abaklara girerek bir alt ω_i limiti ile bir üst ω_s limiti saptanıyor.



Şekil 6.3

Verilen $\eta = 3.12$ oranı $\eta_i = 2.0$ ile $\eta_s = \infty$ değerleri arasındadır. Interpolasyonu gerçekleştirmek için oranlar tersine çevrilir ve abak yorumlanır. ($m_x - n : \eta = 2.0$) Abak olarak ($0.5 m_y - n : 1 / = 0.5$)



Şekil 6.4

Sayısal hesap:

	ω_i	ω_s		ω
①	-	-		0.050
②	-	-		0.050
③	0.040	0.071	$0.040 + \frac{0.071 - 0.040}{0.5 - 0.0} \cdot 0.25 = 0.056$	
④	0.040	0.097	$0.040 + \frac{0.097 - 0.040}{2.0 - 1.0} \cdot 0.5 = 0.069$	
⑤	0.045	0.100	$0.045 + \frac{0.100 - 0.045}{1.0 - 0.5} \cdot 0.1 = 0.056$	
⑥	0.035	0.091	$0.035 + \frac{0.091 - 0.035}{0.5 - 0.0} \cdot 0.321 = 0.071$	
Interpolasyon için genel formül			$\omega = \omega_i - \frac{\omega_s - \omega_i}{\eta_s - \eta_i} (\eta - \eta_i)$	

Tablo 6.5

Donatılar:

$$\omega = \mu \frac{\sigma_f}{B_w} = \frac{F_{a,top}}{bH} \frac{\sigma_f}{B_w} \rightarrow F_{a,top} = \omega bH B_w / \sigma_f$$

$$F_{a,top} = 0.071 \cdot 300 \cdot 700 \cdot 400 / 4600 = 1296 \text{ cm}^2$$

b yanı:

$$0.15 F_{a,top} = 195 \text{ cm}^2$$

$$\text{Uygun uzunluk: } s \approx b - t_x = 300 - 48 = 252 \text{ cm}$$

$$2 \text{ donatı tabakası: } 2s = 504 \text{ cm} = 5.04 \text{ m}$$

$$F_a / \text{m}' = 38.7 \text{ cm}^2$$

$$\phi 22, e = 10 \text{ cm}$$

Kesitin yük durumu
H yanısı:

$$0.35 F_a \text{ top} = 454 \text{ cm}^2$$

$$s \approx H - t_y = 700 - 56 = 644 \text{ cm}$$

$$2s \approx 12.9 \text{ m}$$

$$F_a / m' = 35.3 \text{ cm}^2$$

$$\phi 26, e = 15 \text{ cm}$$

Parametresine göre:

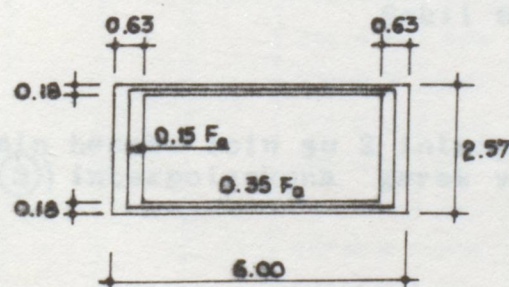
Donatı yüzdesi:

$$\mu = \frac{F_a \text{ top}}{bH} = \frac{1296}{300 \cdot 700} \approx 0.62 \%$$

$$\mu_{\text{eff}} = \frac{F_a \text{ top}}{F_b} = \frac{1296}{300 \cdot 700 - 204.588} = 1.44 \%$$

6.2 t_x / b ve t_y / H (yada δ) Parametresine Göre
Interpolasyon

Verilen kesit:



$$A_w = 400 \text{ kg/cm}^2$$

$$\sigma_f = 4600 \text{ kg/cm}^2$$

Şekil 6.6

İnterpolasyon

Kesitin yön durumu:

$$\text{Yön durumu koşulu } t_y/H \ll t_x/b$$

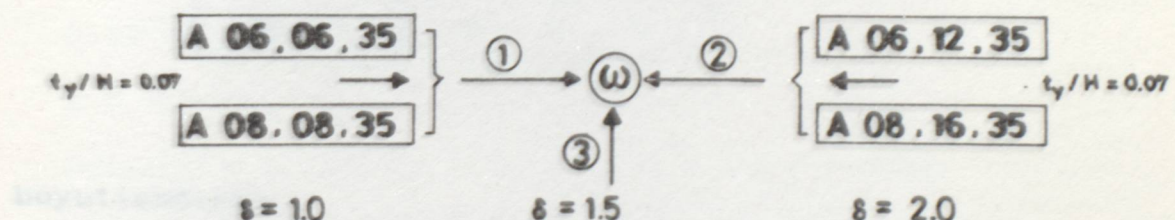
$$\left. \begin{array}{l} 0.18 / 2.57 = 0.070 \\ 0.63 / 6.0 = 0.105 \end{array} \right\} \rightarrow \left\{ \begin{array}{l} b = 6.0 \quad t_x/b = 0.105 \\ H = 2.57 \quad t_y/H = 0.070 \end{array} \right. \quad \beta = 0.35$$
$$\delta = (t_x/b) / (t_y/H) = 1.5$$

Parametrelerin incelenmesi:

$$t_y/H = 0.07 \rightarrow 0.06 < 0.07 < 0.08$$

$$t_x/b = 0.105 = 0.5 (0.07 + 0.14) = 1.5 . 0.07$$

Aranan ω değeri şu abak gruplarında çerçevelenebilir.



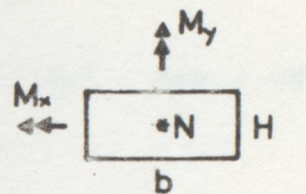
Şekil 6.7

ω 'nin hesabı için 2 interpolasyona t_y/H (①, ②) ve δ (③) interpolasyona gerek vardır.

İstekler: 0.076

Tablo 6.8

	I	II
N (t)	$6.17 \cdot 10^3$	$3.7 \cdot 10^3$
M _x (tm)	$3.96 \cdot 10^3$	$6.34 \cdot 10^3$
M _y (tm)	$1.22 \cdot 10^4$	$8.98 \cdot 10^3$
n = $\frac{N}{bH\beta_w}$	0.10	0.06
m _x = $\frac{M_x}{bH^2\beta_w}$	0.025	0.040
m _y = $\frac{M_y}{b^2H\beta_w}$	0.033	0.024
η = $\frac{m_y}{m_x}$	1.3	0.6
η_i	1.0	0.5
η_s	2.0	1.0



$$b = 6.00 \text{ m}$$

$$H = 2.57 \text{ m}$$

$$\beta_w = 4000 \text{ t/m}^2$$

$$\omega = \omega_i + \frac{\omega_s - \omega_i}{\eta_s - \eta_i} (\eta - \eta_i)$$

boyutlandırma:

	n	m _x	η	abaklar	ω_i	ω_s	ω	
I	0.10	0.025	1.3	A 06 06 35	0.080	0.165	0.106	$\left. \begin{array}{l} ① \\ ② \\ ③ \end{array} \right\} 0.068$
				A 06 08 35	0.043	0.132	0.070	$\left. \begin{array}{l} ① \\ ② \\ ③ \end{array} \right\} 0.040$
				A 06 12 35	0.030	0.115	0.056	$\left. \begin{array}{l} ① \\ ② \\ ③ \end{array} \right\} 0.064$
				A 08 16 35	0.000	0.085	0.024	
II	0.06	0.04	0.6	A 06 06 35	0.085	0.145	0.097	$\left. \begin{array}{l} ① \\ ② \\ ③ \end{array} \right\} 0.087$
				A 06 08 35	0.065	0.123	0.077	$\left. \begin{array}{l} ① \\ ② \\ ③ \end{array} \right\} 0.066$
				A 06 12 35	0.060	0.115	0.071	$\left. \begin{array}{l} ① \\ ② \\ ③ \end{array} \right\} 0.076$
				A 08 16 35	0.050	0.098	0.060	

Tablo 6.9

6.2.2. Durumuna Göre Interpolasyon
 $\omega_{nec} = 0.076$

Verilen:

$$\omega = \mu \frac{\sigma_f}{\beta_w} = \frac{F_a \text{ top}}{b H} \frac{\sigma_f}{\beta_w}$$

$$F_a \text{ top} = \omega \cdot b H \cdot \beta_w / \sigma_f = 0.076 \cdot 600 \cdot 257 \cdot 400 / 4600 \\ = 1020 \text{ cm}^2$$

$$0.35 \cdot F_a \text{ top} = 357 \text{ cm}^2$$

$$s \approx b - t_x = 600 - 63 = 537 \text{ cm}$$

Donatının 2 tabakası: $2s = 1074 \text{ cm} = 10.74 \text{ m}$

$$F_d / \text{m}' = 357 \text{ cm}^2 / 10.74 = 33.2 \text{ cm}^2$$

$$\varnothing 20/22, e = 10 \text{ cm}$$

$$0.15 F_a \text{ top} = 153 \text{ cm}^2$$

$$s \approx H - t_y = 257 - 18 = 239 \text{ cm}$$

Donatının 2 tabakası $\rightarrow 2s = 478 \text{ cm} = 4.78 \text{ m}$

$$F_d / \text{m}' = 153 \text{ cm}^2 / 4.78 = 32 \text{ cm}^2$$

$$\varnothing 20/22, e = 10 \text{ cm}$$

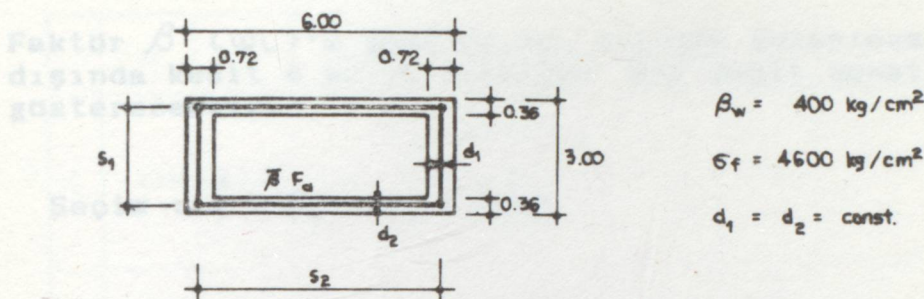
Donatının yüzdesi:

$$\mu = \frac{F_a \text{ top}}{b H} = \frac{1020}{600 \cdot 257} = 0.66 \%$$

$$\mu = \frac{F_a \text{ top}}{F_b} = \frac{1020}{600 \cdot 257 - 474 \cdot 221} = 2.06 \%$$

6.3 Donatının Durumuna Göre interpolasyon

Verilen kesit:



Şekil 6.10

Kesitin yön durumu:

$$\left. \begin{array}{l} 72/600 = 0.12 \\ 36/300 = 0.12 \end{array} \right\} \quad \text{iki yönden simetrik kesit } (\delta=1)$$

Yön durumu koşulu: $\beta > 0.25$

β faktörünün hesabı:

$$\begin{aligned} s_2 &= 600 - 72 = 528 \text{ cm} & s_2 &= 2s_1 \\ s_1 &= 300 - 36 = 264 \text{ cm} \end{aligned}$$

$$d_1 = d_2 \rightarrow \beta = 1/3 = 0.333 > 0.25$$

Kesit bu biçimde yönlendirilmiş

$$\beta = \bar{\beta} = 0.333$$

$$b = 600 \text{ cm}$$

$$H = 300 \text{ cm}$$

$$t_x/b = t_y/H = 0.12, \delta = 1.0$$

Düzenlendirme:

Parametrelerin incelenmesi:

$$0.30 < \beta = 0.333 < 0.35$$

Faktör β (ω_L)'e göre en iyi biçimde düzenlenmiş donatının dışında kesit 4 açıya toplanan bir çeşit donatı miktarı da gösterecektir.

$$\text{Seçim : } \xi = \omega_4 / \omega_L = 30 \%$$

Düzenlendirme için şu grup abaklar da dikkate alınmalıdır.

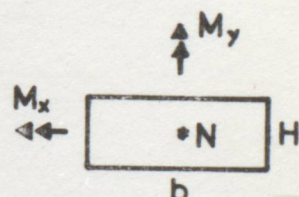
A 12 12 30
$\beta = 0.333 \rightarrow$
A 12 12 35
A 12 12 (4)

$\left. \begin{array}{l} \omega_{sr} \\ \xi = 30\% \\ \omega_{ir} \end{array} \right\}$

$\omega_L = \frac{1}{\frac{\xi}{\omega_{ir}} + \frac{1}{\omega_{sr}}} , \quad \omega_4 = \xi \omega_L$

Sekil 611

	I	II
N (t)	$- 7.20 \cdot 10^3$	$- 4.32 \cdot 10^3$
M _x (tm)	$8.64 \cdot 10^3$	$5.40 \cdot 10^3$
M _y (tm)	$1.38 \cdot 10^4$	$1.73 \cdot 10^4$
$n = \frac{N}{bH\beta_w}$	- 0.10	- 0.06
$m_x = \frac{M_x}{bH^2\beta_w}$	0.040	0.025
$m = \frac{M_y}{b^2H\beta_w}$	0.032	0.040
$\eta = \frac{m_y}{m_x}$	0.80	1.60
η_i	0.50	1.00
η_s	1.00	2.00



$$b = 6.00 \text{ m}$$

$$H = 3.00 \text{ m}$$

$$\beta_w = 4000 \text{ t/m}^2$$

Sekil 6.12

Ölçülendirmeye:

Tablo 6.13

	n	m_y	η	abaklar	ω_i	ω_s	ω	
I	- 0.10	0.040	0.80	A 12 12 30	0.033	0.090	0.067	$\left. \begin{array}{l} \omega_{sr} = 0.0677 \\ \omega_{ir} = 0.050 \end{array} \right\}$
				A 12 12 35	0.032	0.092	0.068	
				A 12 12 (4)	0.024	0.068	0.050	
II	- 0.06	0.025	1.70	A 12 12 30	0.021	0.091	0.063	$\left. \begin{array}{l} \omega_{sr} = 0.066 \\ \omega_{ir} = 0.051 \end{array} \right\}$
				A 12 12 35	0.023	0.097	0.067	
				A 12 12 (4)	0.020	0.072	0.051	
$\omega = \omega_i + \frac{\omega_s - \omega_i}{\eta_s - \eta_i} (\eta - \eta_i)$								

I:

$$\omega_L = \frac{1}{\frac{\xi}{\omega_{ir}} + \frac{1}{\omega_{sr}}} = \frac{1}{\frac{0.30}{0.05} + \frac{1}{0.0677}} = 0.048$$

$$\omega_4 = \xi \cdot \omega_L = 0.30 \cdot 0.048 = 0.014$$

- $F_{aL} = \omega_L \cdot bH \cdot \beta_w / \sigma = 0.048 \cdot 600 \cdot 300 \cdot 400 / 4600 = 751 \text{ cm}^2$
- $\beta F_{aL} = 0.333 \cdot 751 = 250 \text{ cm}^2$

Donatının iki tabakası $\rightarrow 2s_2 = 2 \cdot 5.28 = 10.56 \text{ m}$

$$F_a / m' = 250 / 10.56 = 23.7 \text{ cm}^2$$

$\varnothing 18, e = 10 \text{ cm}$

H ($d_1 = d_2$) yanlarda aynı donatı

- $F_{a4} = \omega_4 \cdot bH \cdot \beta_w / \sigma_f = 0.014 \cdot 600 \cdot 300 \cdot 400 / 4600 = 219 \text{ cm}^2$
- $F_{a4/4} = 54.8 \text{ cm}^2$

10 $\varnothing 26$

II:

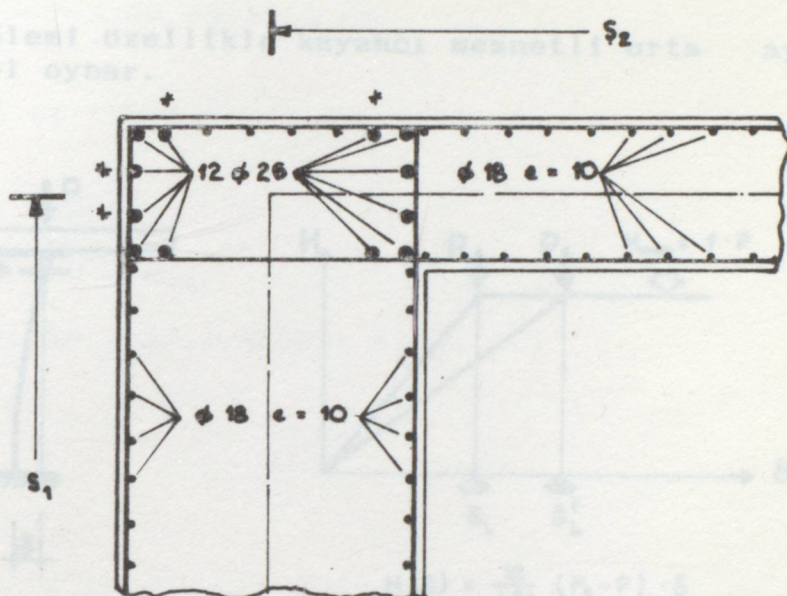
$$\omega_L = \frac{1}{\frac{0.30}{0.051} + \frac{1}{0.066}} = 0.048$$

→ Aynı Donatı

Donatının Detayı:

Fırat-Karabük İle ve Eskişehir'den Miraduk Arası Arasının
Boyutlarındırılmıştır.

Fırat problemi gelenliklerde en çok sorunlarla karşılaşılmaktadır. Bu sorunlar
çok önemlidir ve oynamaktadır.



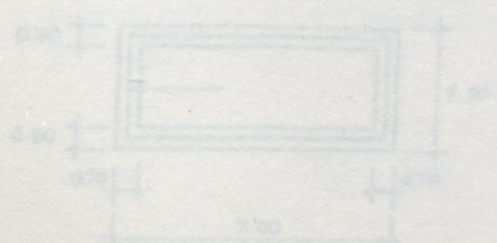
Şekil 6.14

Miyaduk boyagının H.L.F. teknikleri ile meşneti tarzından
fazla yüksekliklerdeki silindirlerin boyutunu hesap etmektedir.
(Bu teknik silindirlerde)

$$\Delta F_a = 4 \phi 18 = 10.16 \text{ cm}^2$$

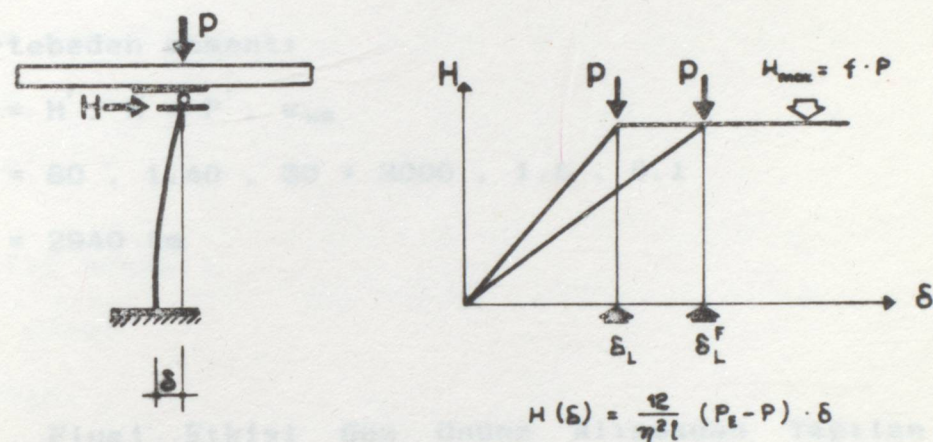
$$F_{a4\text{top}} = 54.8 + 10.16 = 65 \text{ cm}^2$$

$$\rightarrow 12 \phi 26$$



6.4 Fluaj Etkisi İle ve Etkisi Olmadan Viyadük Orta Ayagının Boyutlandırılması

Fluaj problemi özellikle kayancı mesnetli orta ayaklarda çok önemli rol oynar.



Şekil 6.15

Viyadük ayagının $H(\delta)$ tepkisi $f \cdot p$ mesneti tarafından izin verilen maksimum sürtünme kuvvetine eşit olana kadar çekilir. (Fluaj etkisi altında)

Kabul:

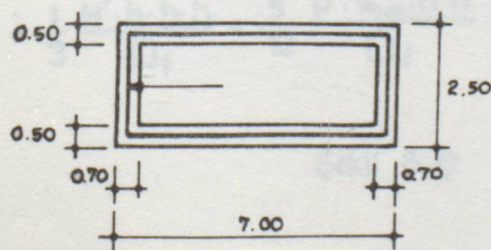
$$l_k = 2 h = 60 \text{ mm}$$

$$I_b = 7 \cdot 2.5 / 12 + (7 - 1.4) \cdot (2.5 - 1.0) / 12 = 7.54 \text{ mm}^4$$

$$F_b = 7 \cdot 2.5 - (7 - 1.4) \cdot (2.5 - 1.0) = 9.10 \text{ mm}^2$$

$$i_b = \sqrt{I_b / F_b} \approx 0.91 \text{ mm}$$

$$\rightarrow \lambda_k = l_k / i_b = 66 > 30$$



$$\sigma_1 = 4600 \text{ kg/cm}^2$$

$$\beta_w = 400 \text{ kg/cm}^2$$

Şekil 6.16

İndirgenmiş Euler Kritik Tanesi

Başlangıçtaki raslantısal deformasyon:

$$\delta_k = \frac{6000}{300} = 20 \text{ cm} > 10 \text{ cm}$$

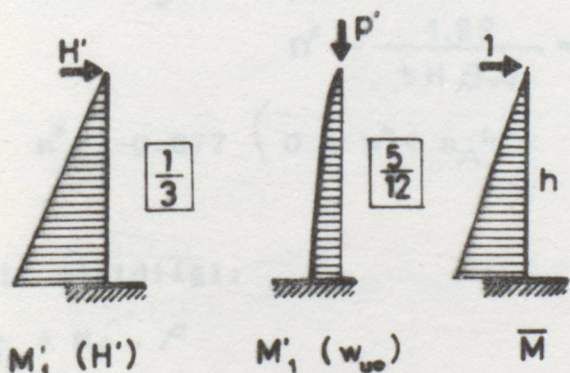
$$w_{uo} = 10 \text{ cm} = 0.1 \text{ m}$$

1. Mertebeden moment:

$$\begin{aligned} M'_1 &= H' \cdot h + P' \cdot w_{uo} \\ &= 60 \cdot 1.40 \cdot 30 + 3000 \cdot 1.4 \cdot 0.1 \\ &= 2940 \text{ tm} \end{aligned}$$

6.4.1 Fluaj Etkisi Göz Önüne Alınmadan Yapılan Donatı Boyutlandırılması

• 1. mertebeden momente bağlı yer değiştirmeye:



$$\begin{aligned} P' &= (2100 + 900) \cdot 1.4 \\ &= 4200 \text{ t} \\ H' &= 60 \cdot f \cdot 4 = 84 \text{ t} \end{aligned}$$

$$\delta'_1 = \frac{1}{3} \frac{H' \cdot h \cdot h \cdot h}{EJ_f} + \frac{5}{12} \frac{P' \cdot w_{uo} \cdot h \cdot h}{EJ_f} = 9.135 \cdot 10^5 / EJ_f$$

Şekil 6.17

Indirgenmiş Euler Kritik Yük:

$$\bar{P}_E = \frac{\pi^2 E J_f}{l k^2} = 2.74 \cdot 10^{-3} \cdot E J_f$$

Genişleme faktörü:

$$f = \frac{1}{1 - P'/\bar{P}_E}$$

Toplam moment:

$$M' = M'_1 + P' \cdot \delta'$$

$$M' = M'_1 + P' \cdot \delta'_1 \cdot f$$

Rijitlik hesabı:

İlk adım:

Tercih:

$$\mu_{eff} = \frac{F_a}{F_b} = 1 \%$$

$$\rightarrow \mu = \mu_{eff} \cdot F_b / bH = 1 \% \cdot 9.1 / 7 \cdot 2.5 = 0.52 \%$$

$$\rightarrow \omega = \mu \cdot \sigma_f / \beta w = 0.52 \% \cdot 4600 / 400 = 0.06$$

$$P = N_g + N_p = -3000 t \rightarrow n^*$$

$$n^* = \frac{1.8 P}{b H \beta w} = \frac{-1.8 \cdot 3000}{7 \cdot 2.5 \cdot 4000} = -0.077$$

$$n^* = -0.077 \quad (0 < n^* < n_A^{(-)})$$

Rölatif rijidliği:

$$EJ_f = M_r \cdot \rho$$

$$\frac{EJ_f}{b^3 H \beta w} = \frac{M_r}{b^2 H \beta w} \cdot \frac{\rho}{b}$$

$$eJ_f = m_r \cdot \rho / b$$

Dogrudan yöntem:

$$ej_f = m_r \cdot 180 (1-b'/b), b'/b = 0.1$$

$$\begin{aligned} n^* &= -0.077 \\ &= 0.06 \end{aligned} \quad \left. \begin{array}{l} \xrightarrow{\text{abak}} \\ \xrightarrow{\text{sek. 6.18}} \end{array} \right\} \quad m_r = 0.054$$

$$\rightarrow ej_f = m_r \cdot 180 \cdot 0.9 = 0.054 \cdot 180 \cdot 0.9 = 8.73$$

$$\bar{EJ}_f = ej_f \frac{b^3 H \beta w}{1.3} = 8.73 \cdot \frac{2.5^3 \cdot 7 \cdot 4000}{1.3} = 2.94 \cdot 10^6 \text{ tm}^2$$

$$\delta' = 9.135 \cdot 10^5 / \bar{EJ}_f = 9.135 \cdot 10^5 / 2.94 \cdot 10^6 = 0.311 \text{ m}$$

$$\bar{P}_E = 2.74 \cdot 10^{-3} \cdot \bar{EJ}_f = 2.74 \cdot 10^{-3} \cdot 2.94 \cdot 10^6 = 8050 \text{ t}$$

$$f = \frac{1}{1 - P'/\bar{P}_E} = \frac{1}{1 - 4200 / 8050} = 2.09$$

$$M'_2 = P' \cdot \delta' \cdot f = 4200 \cdot 0.311 \cdot 2.09 = 2731 \text{ tm}$$

$$M' = M'_1 + M'_2 = 2940 + 2731 = 5671 \text{ tm}$$

$$M^* = 1.3 \cdot M' = 7372 \text{ tm}$$

$$m = \frac{M^*}{b^2 H \beta w} = \frac{7372}{2.5^2 \cdot 7 \cdot 4000} = 0.042$$

$$\begin{aligned} n^* &= -0.077 \\ m^* &= 0.042 \end{aligned} \quad \left. \begin{array}{l} \xrightarrow{\text{abak}} \\ \xrightarrow{\text{sek. 6.18}} \end{array} \right\} \quad \omega_{nec} \approx 0.027$$

İkinci adım:

* Seçim

$$\omega_{11} \approx \frac{1}{2} (\omega_1 + \omega_{nec}) = \frac{1}{2} (0.06 + 0.027)$$

$$\omega_{11} = 0.044$$

$$\left. \begin{array}{l} n^* = -0.077 \\ \omega = 0.044 \end{array} \right\} \xrightarrow[\text{Sek. 6.18}]{\text{abak}} m_r \approx 0.05$$

$$\rightarrow ej_f = m_r \cdot 180 \cdot (1 - b' / b) = 0.05 \cdot 180 \cdot 0.9 = 8.1$$

ej_f rijidlik oranı:

$$\xi = ej_{f1} / ej_{f1} = 8.1 / 8.73 = 0.928$$

$$EJ_f = \xi \cdot 2.94 \cdot 10^6 = 2.73 \cdot 10^6 \text{ tm}^2$$

$$\delta'_1 = 0.311 / \xi = 0.311 / 0.928 = 0.335 \text{ m}$$

$$\bar{P}_E = 8050 \text{ t. } \xi = 7469 \text{ t}$$

$$t = \frac{1}{1 - 4200 / 7469} = 2.28$$

$$M'_2 = 4200 \cdot 0.335 \cdot 2.28 = 3214 \text{ tm}$$

$$M' = 2940 + 3214 = 6154 \text{ tm}$$

$$M^* = 1.3 \cdot M' = 8001 \text{ tm}$$

$$m^* = \frac{8001}{2.5^2 \cdot 7 \cdot 4000} \approx 0.046$$

$$\left. \begin{array}{l} n^* = -0.077 \\ m^* = 0.046 \end{array} \right\} \xrightarrow[\text{Sek. 6.18}]{\text{abak}} \omega_{nec} = 0.040$$

$$\omega \approx \frac{1}{2} (0.044 + 0.040) = 0.042$$

$$\omega = 0.042$$

$$\mu_{eff} = \frac{F_a}{F_b} = 1 \% \cdot 0.042 / 0.06 = 0.7 \%$$

$$\mu_{eff} = 0.7 \% > \mu_{eff, min} = 0.6 \%$$

5.4.2 Fluaj Etkisi

ϵ_r Hesabı :

$$\epsilon_r = 3 \% \cdot 1 + \varphi_N (N_g' / N_{top}')$$

$$N_g' = 1.4 \cdot N_g = 2940 \text{ t}$$

$$N_{top}' = 1.4 \cdot N_{top} = 4200 \text{ t}$$

$$\text{Seçim: } \varphi_N = 2$$

$$\rightarrow \epsilon_r = 3 \cdot 10^{-3} (1 + 2 \cdot 2940 / 4200) = 7.2 \cdot 10^{-3} = 7.2 \%$$

İlk adım:

$$\omega_1 = 0.06$$

$$\begin{aligned} n^* &= -0.077 \\ \omega &= 0.06 \\ \epsilon_r &= 7.2 \% \end{aligned} \quad \left. \begin{array}{l} \\ \\ \end{array} \right\} \quad \begin{aligned} \xrightarrow{\substack{\text{abak} \\ \text{Şekil 6.19}}} \epsilon_{jf} &= 200 (1-b'/b) \cdot 0.0375 \quad \left. \begin{array}{l} \text{bilinir} \\ \text{diagram} \end{array} \right\} \\ &= 200 \cdot 0.9 \cdot 0.0375 \\ &= 6.75 \end{aligned}$$

$$\xi = 6.75 / 8.73 = 0.773$$

$$EJ_f = \xi \cdot 2.94 \cdot 10^6 = 2.27 \cdot 10^6 \text{ tm}^2$$

$$\delta'_1 = 0.311 / \xi = 0.405 \text{ m}$$

$$\bar{P}_E = 8050 \cdot \xi = 6234 \text{ t}$$

$$f = \frac{1}{1 - 4200 / 6234} = 3.06$$

$$M_2' = 4200 \cdot 0.405 \cdot 3.06 = 5213 \text{ tm}$$

$$M' = 2940 + 5213 = 8153 \text{ tm}$$

$$M^* = 1.3 M = 10598 \text{ tm}$$

$$m^* = \frac{10598}{2.5^2 \cdot 7.4000} \approx 0.06$$

$$\left. \begin{array}{l} n^* = -0.077 \\ m^* = 0.06 \end{array} \right\} \xrightarrow[\text{Sek. 6.18}]{\text{abak}} \omega_{\text{nec}} = 0.077$$

İkinci adım:

$$\omega_2 = 0.5 (\omega_i + \omega_{\text{nec}}) \approx 0.5 (0.06 + 0.077) \\ \approx 0.068$$

$$\left. \begin{array}{l} n^* = -0.077 \\ \omega = 0.068 \\ E_r = 7.2 \% \end{array} \right\} \xrightarrow[\text{Sek. 6.20}]{\text{abak}} \begin{aligned} e_j f &= 200 (1-b'/b) \cdot 0.0406 \\ &= 200 \cdot 0.9 \cdot 0.0406 \\ &= 7.31 \end{aligned}$$

$$\frac{k}{f} = 7.31 \cdot 8.73 = 0.837$$

$$\bar{EJ}_f = \frac{k}{f} \cdot 2.94 \cdot 10^6 = 2.46 \cdot 10^6 \text{ tm}$$

$$\delta'_1 = 0.311 / \frac{k}{f} = 0.37 \text{ m}$$

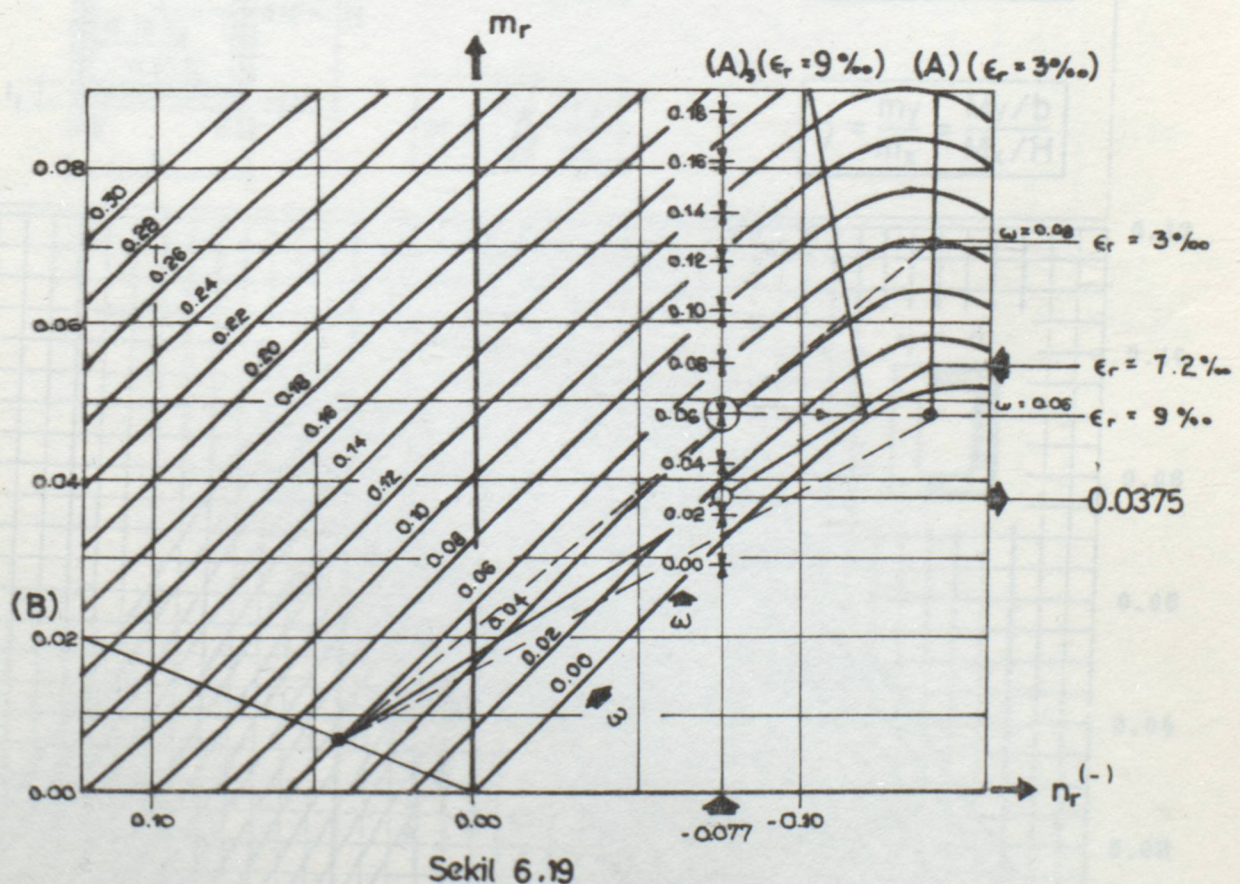
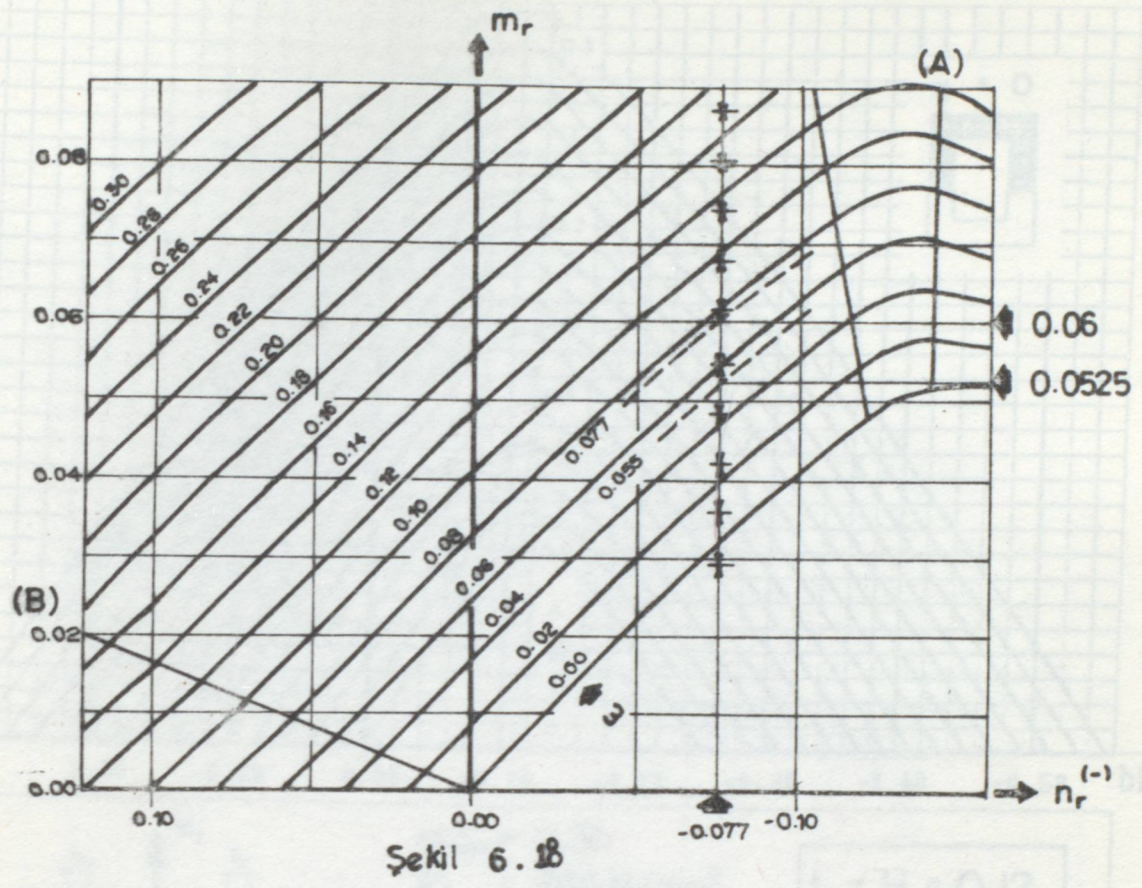
$$\bar{P}_E = 8050 \cdot \frac{k}{f} = 6746 \text{ t}$$

$$f = \frac{1}{1 - 4200 / 6746} = 2.65$$

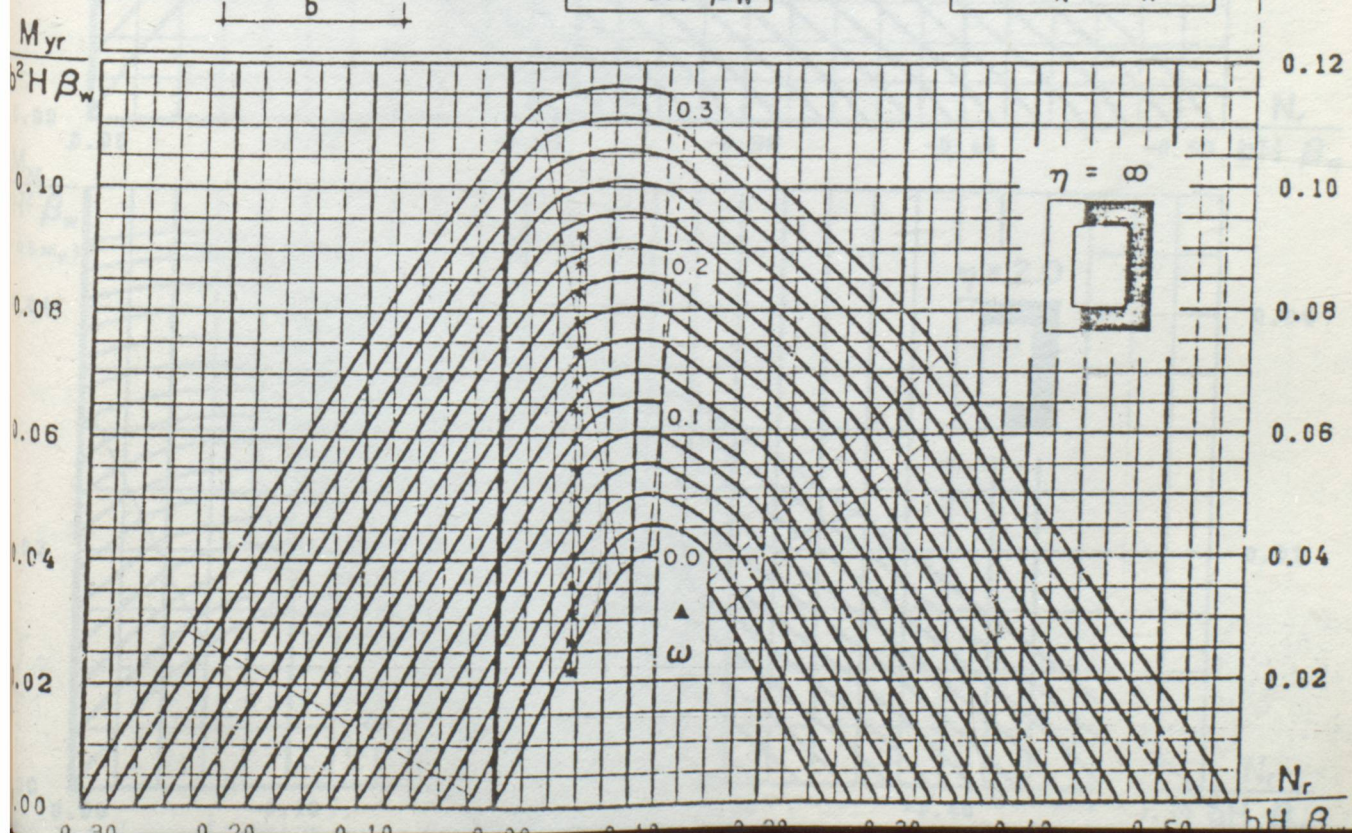
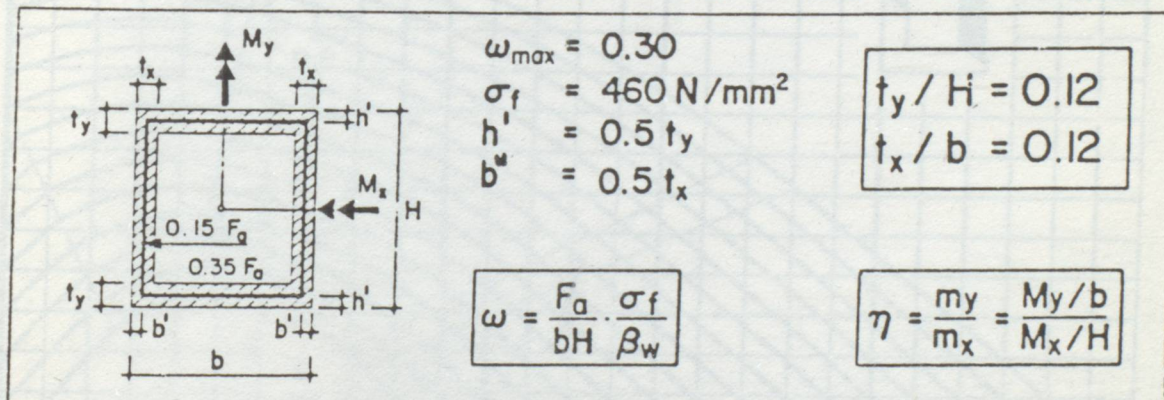
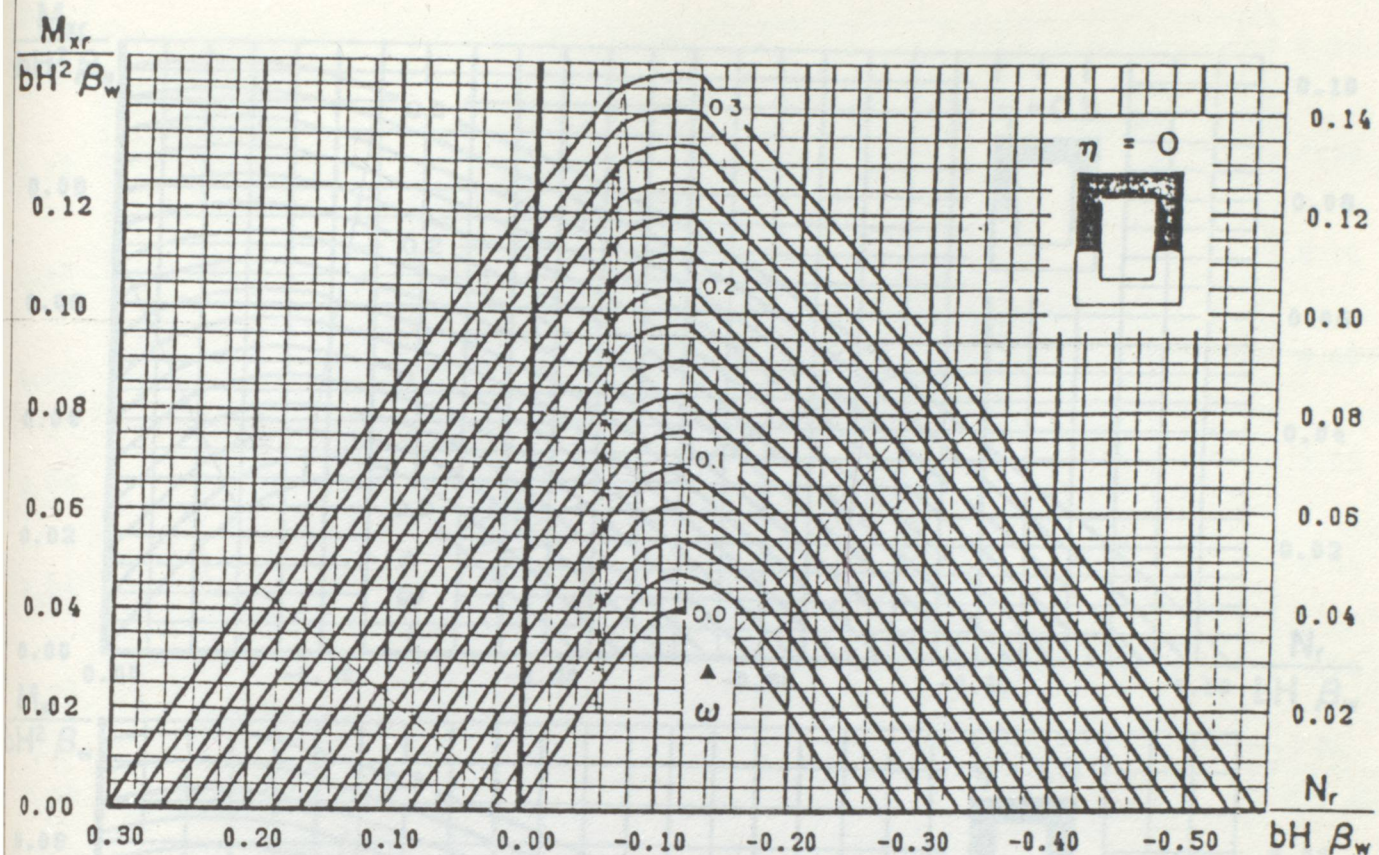
$$M'_2 = 4200 \cdot 0.37 \cdot 2.65 = 4116 \text{ tm}$$

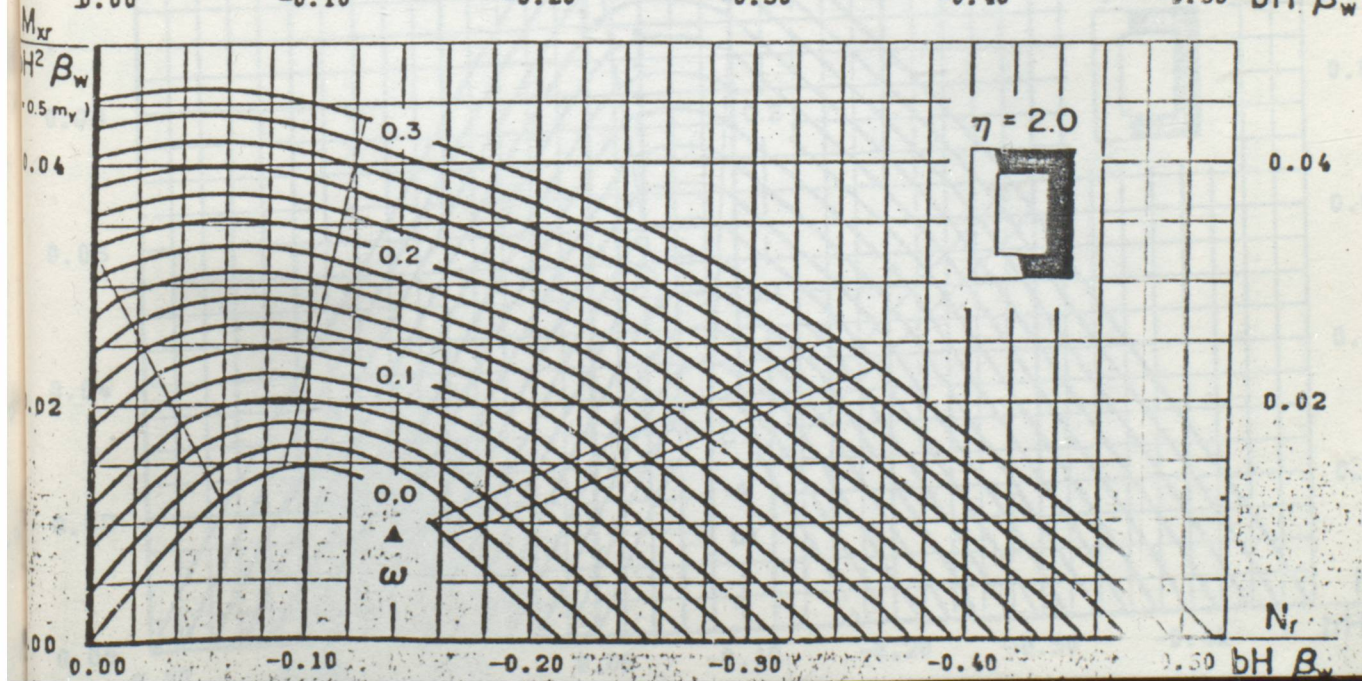
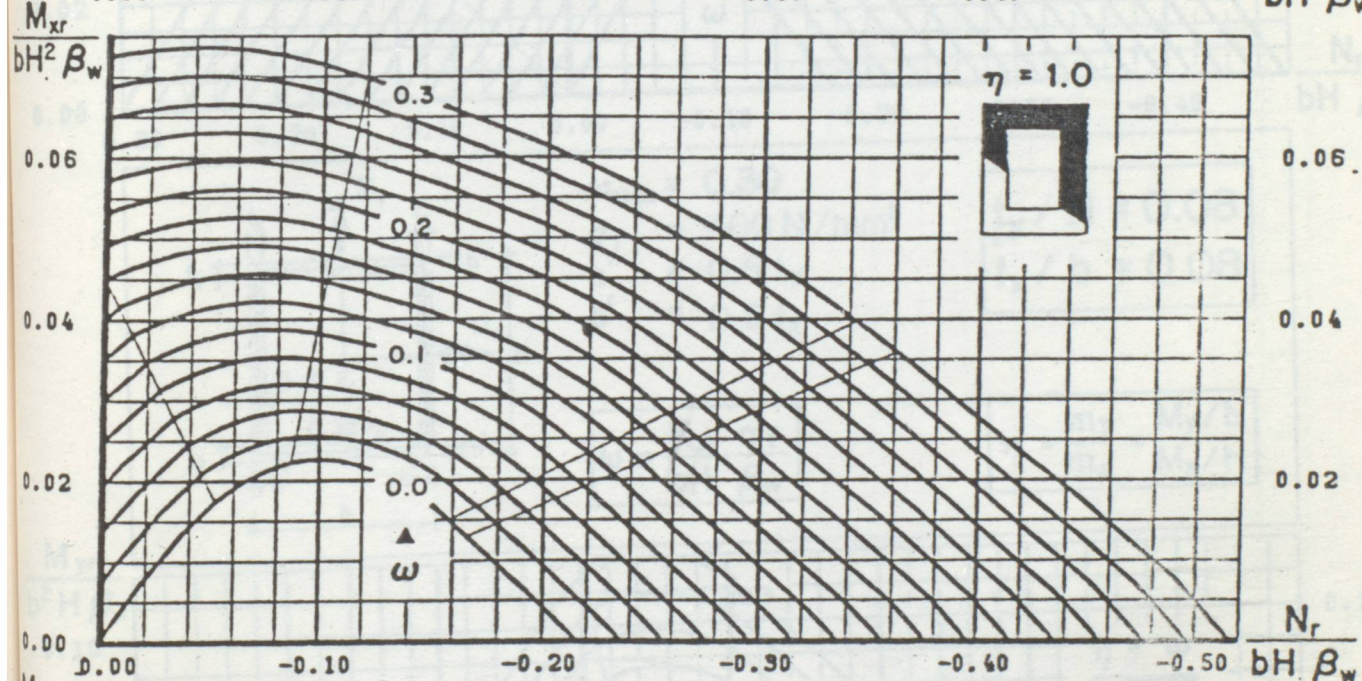
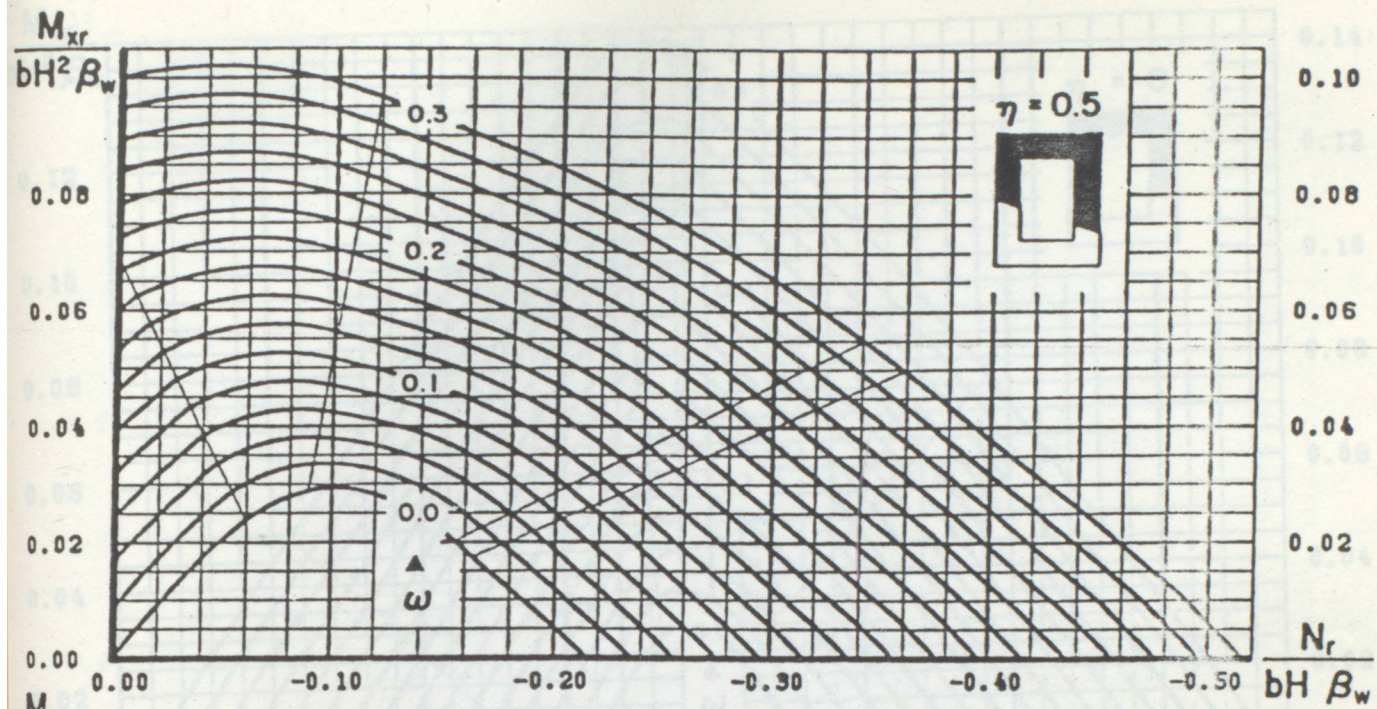
$$M' = 2940 + 4116 = 7056 \text{ tm}$$

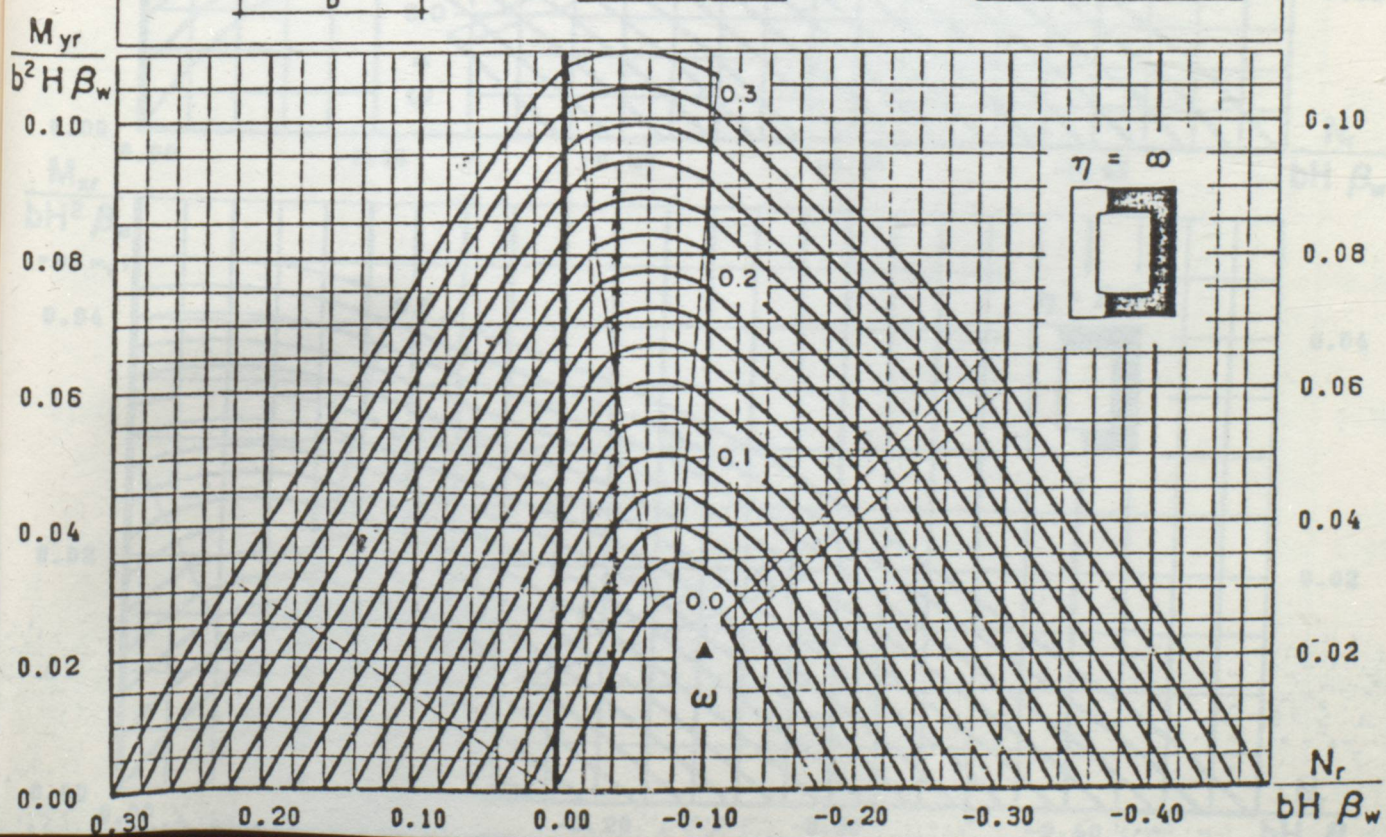
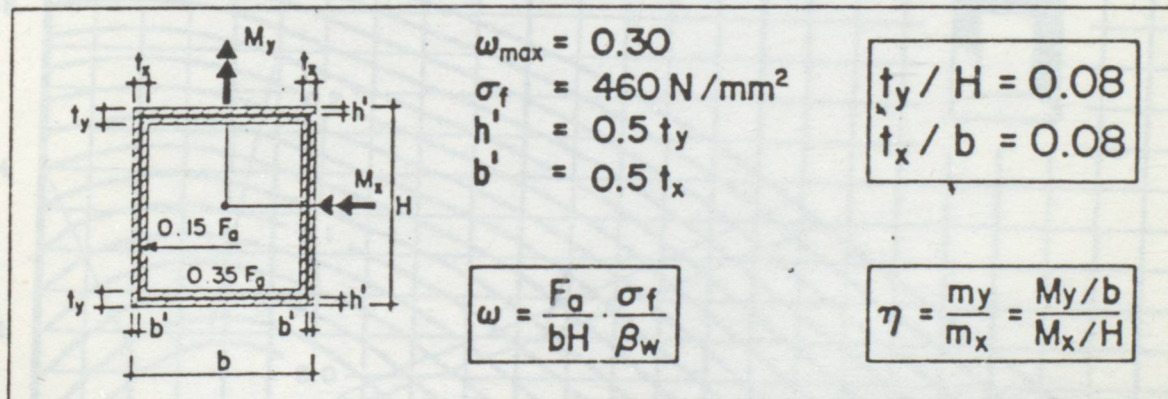
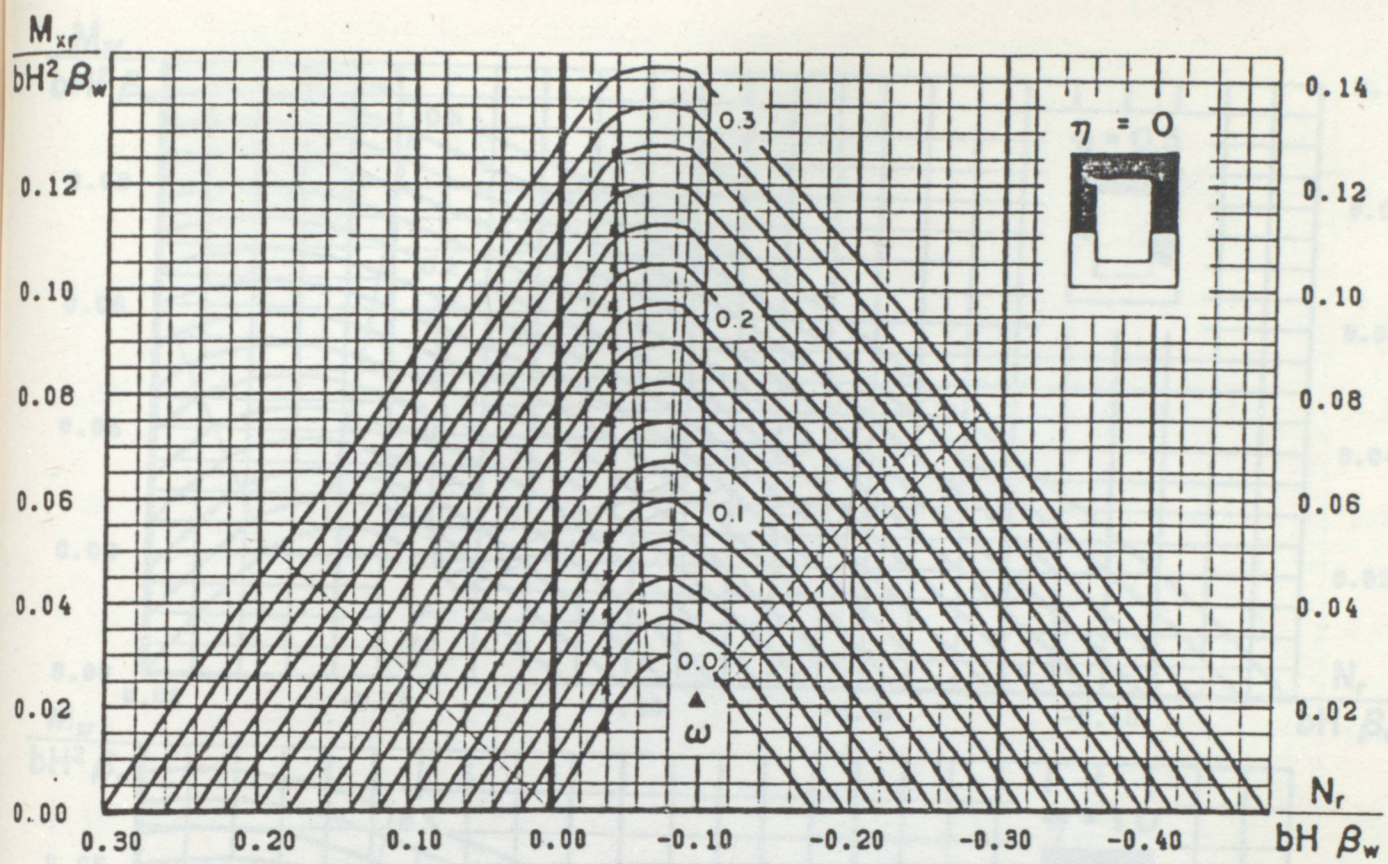
$$M^* = 1.3 \cdot M' = 9173 \text{ tm}$$

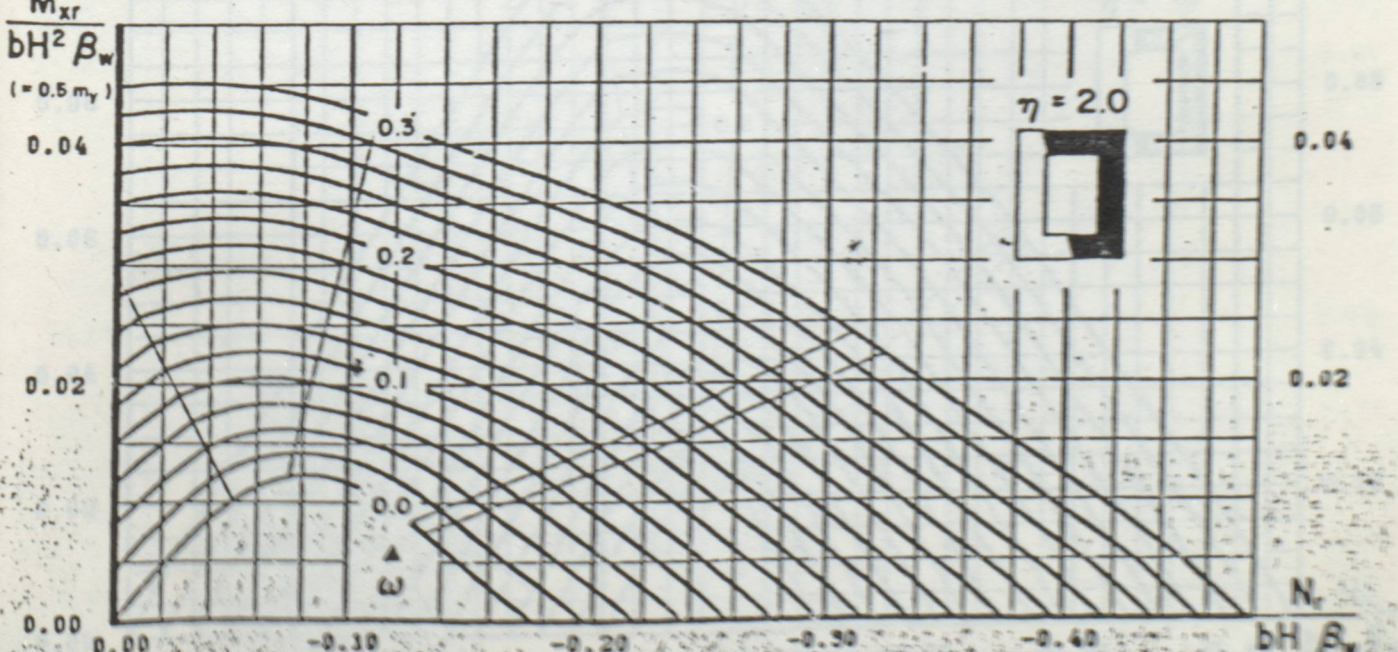
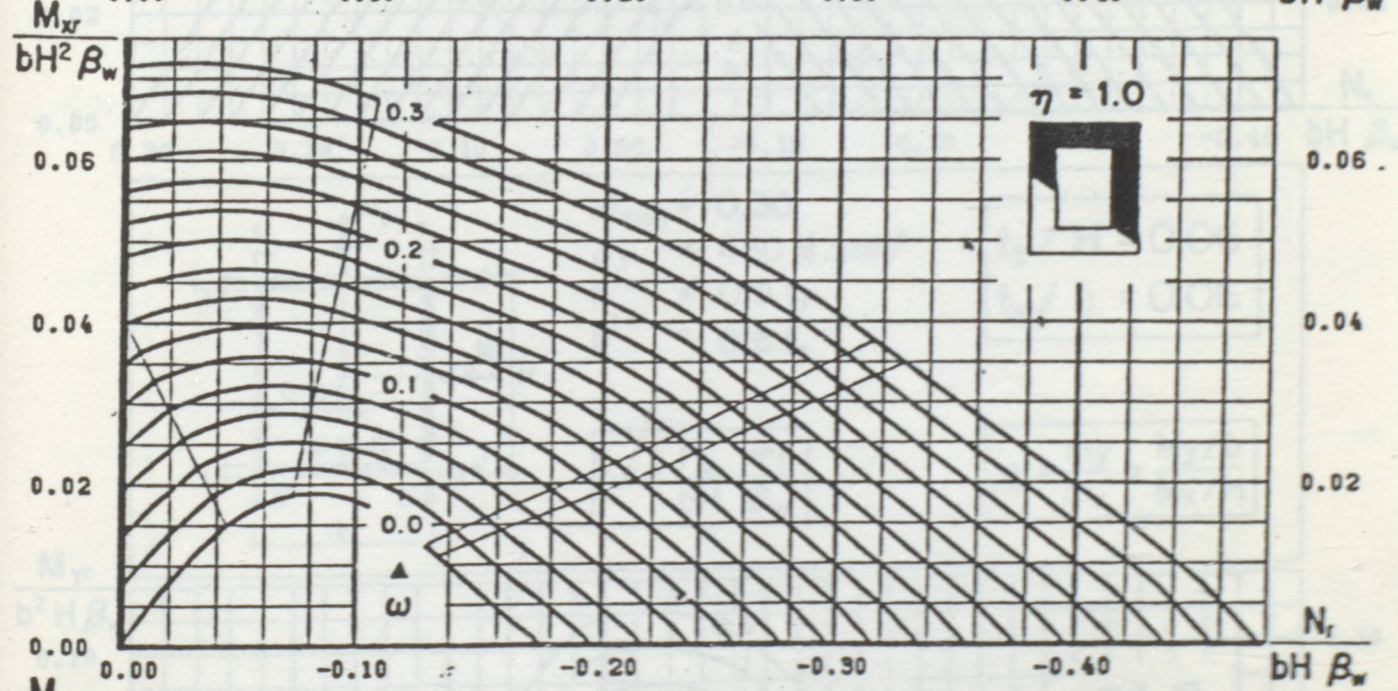
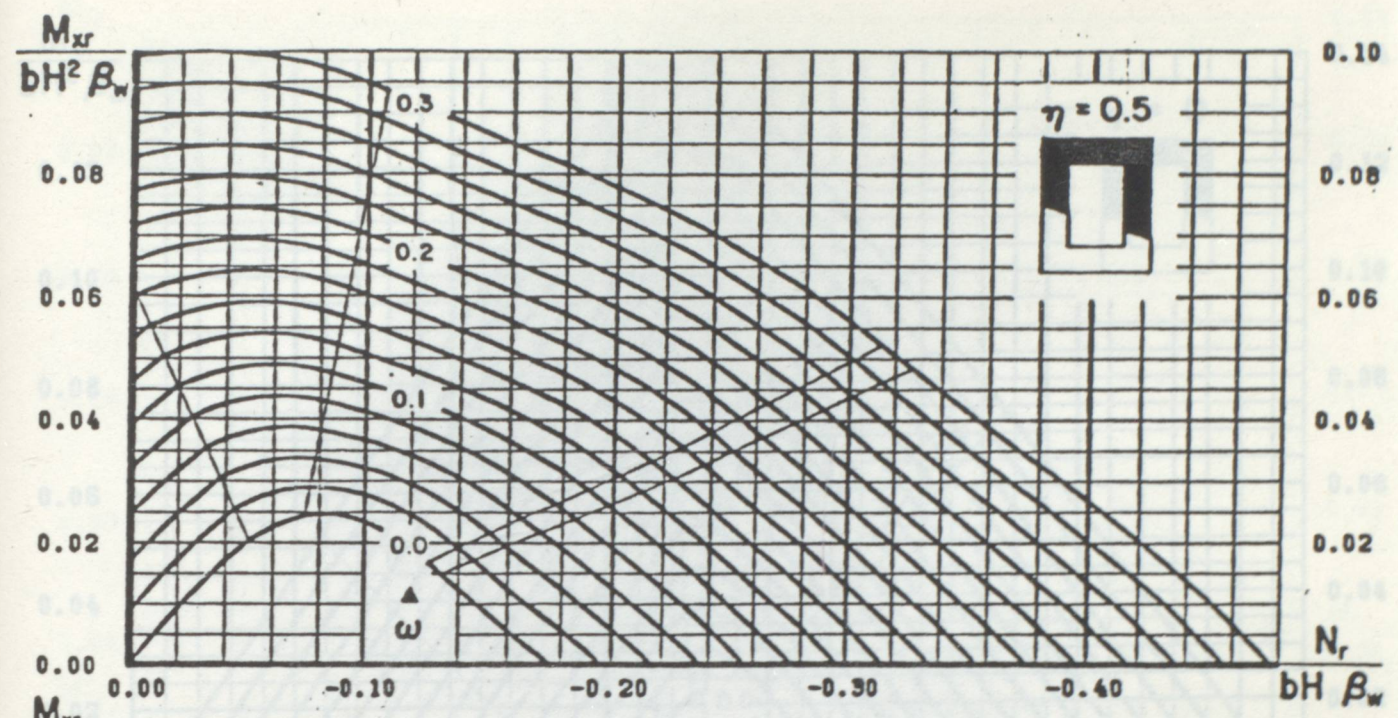


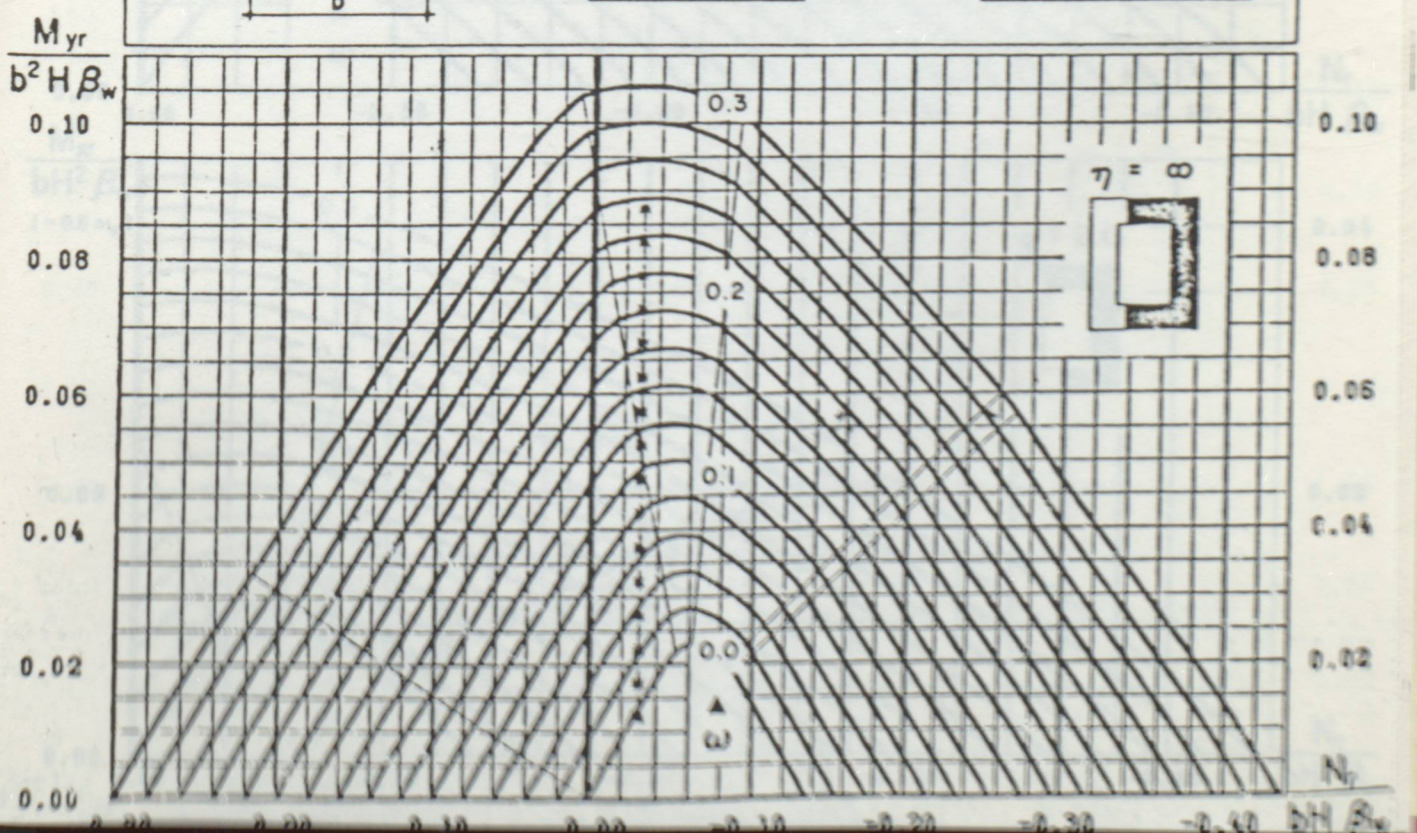
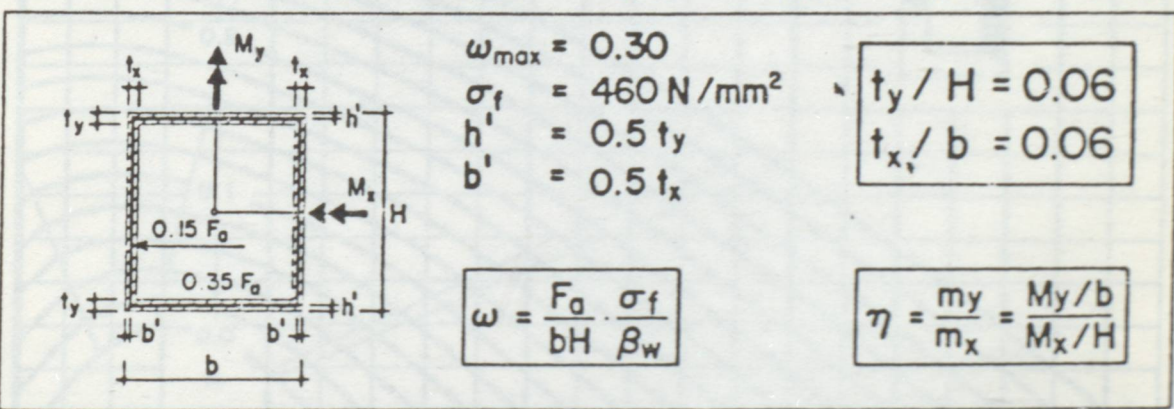
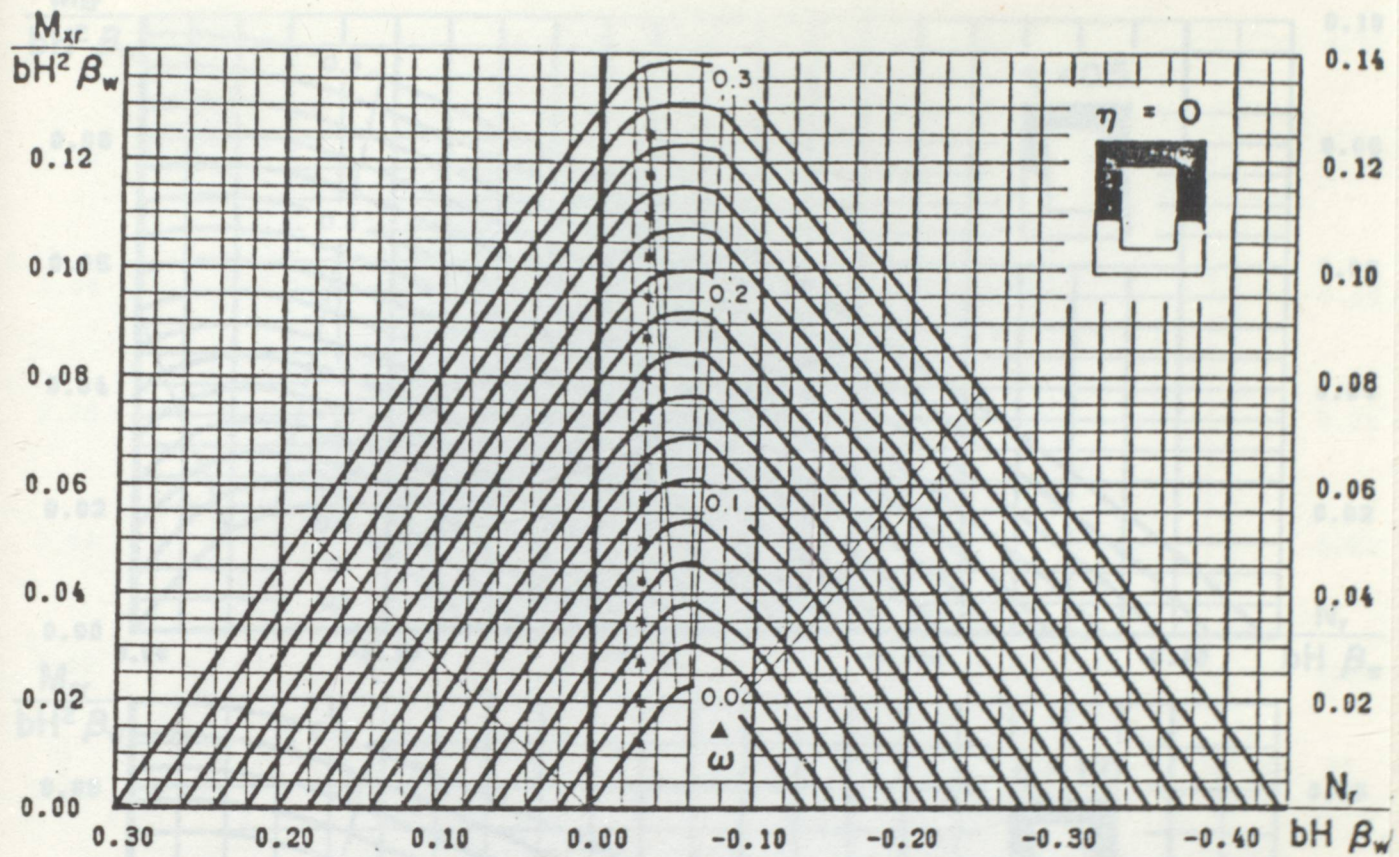
Sekil 6.19

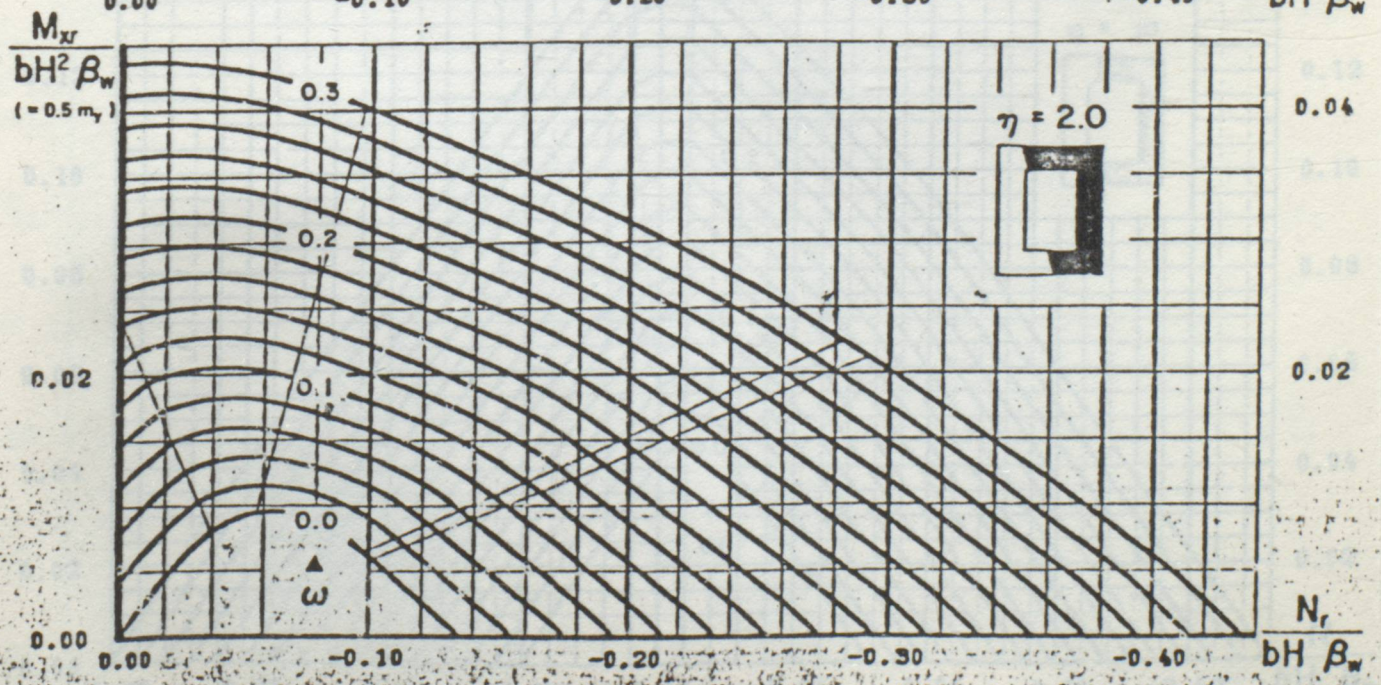
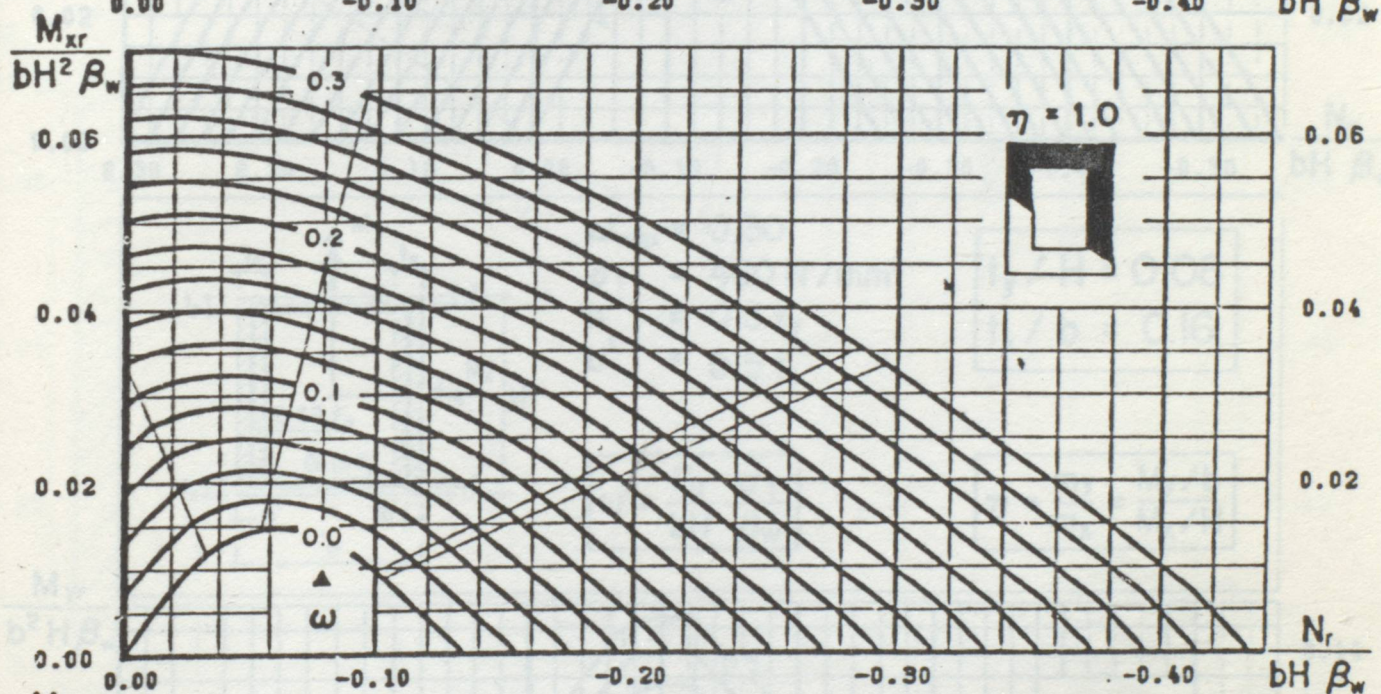
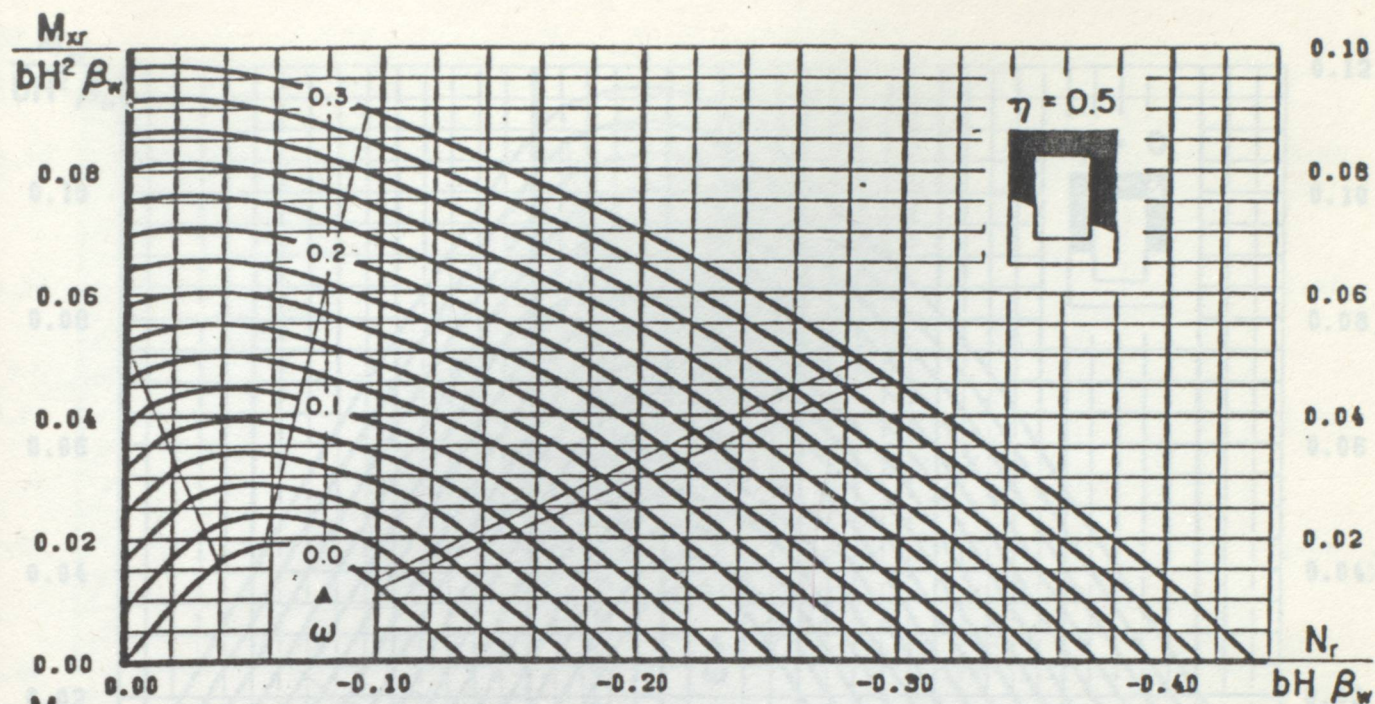


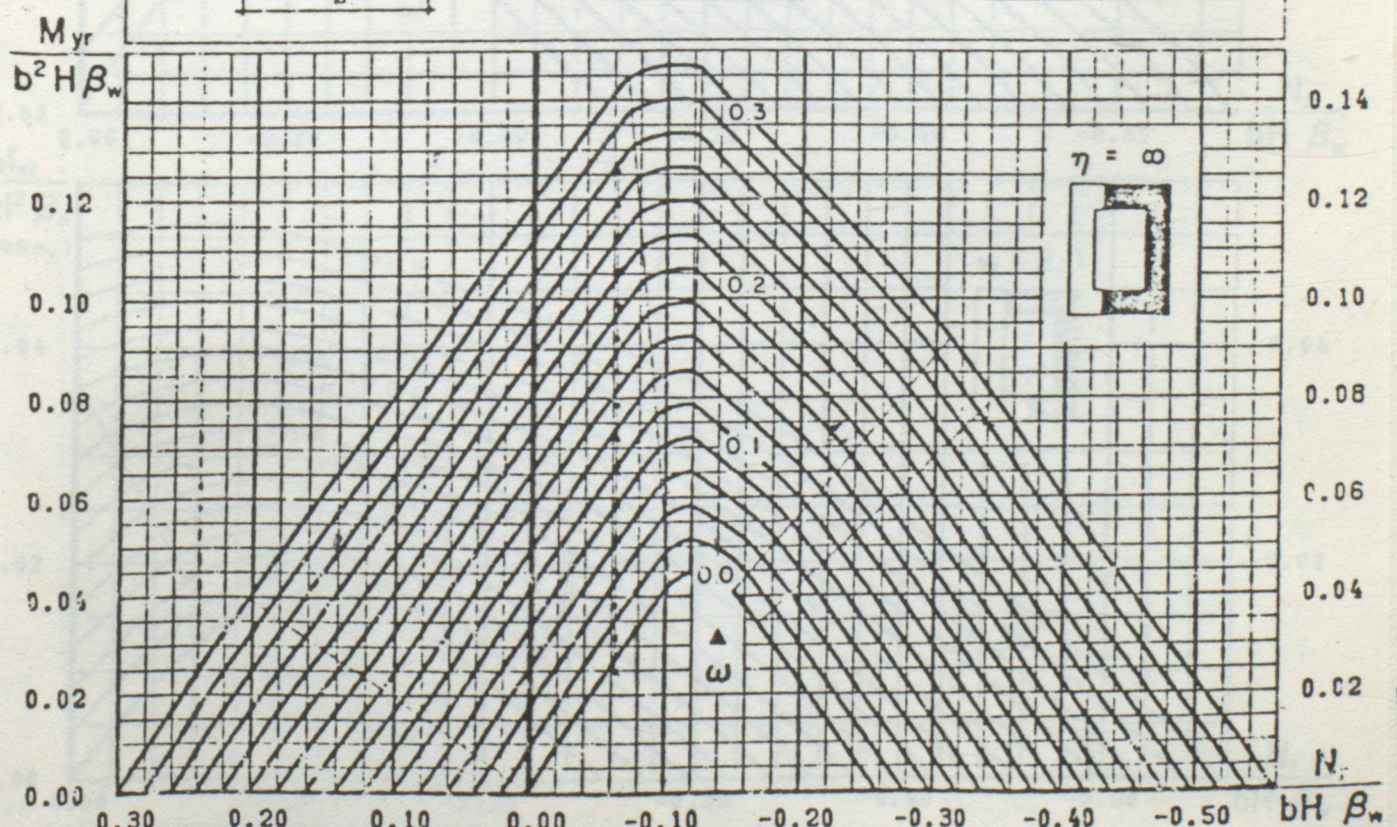
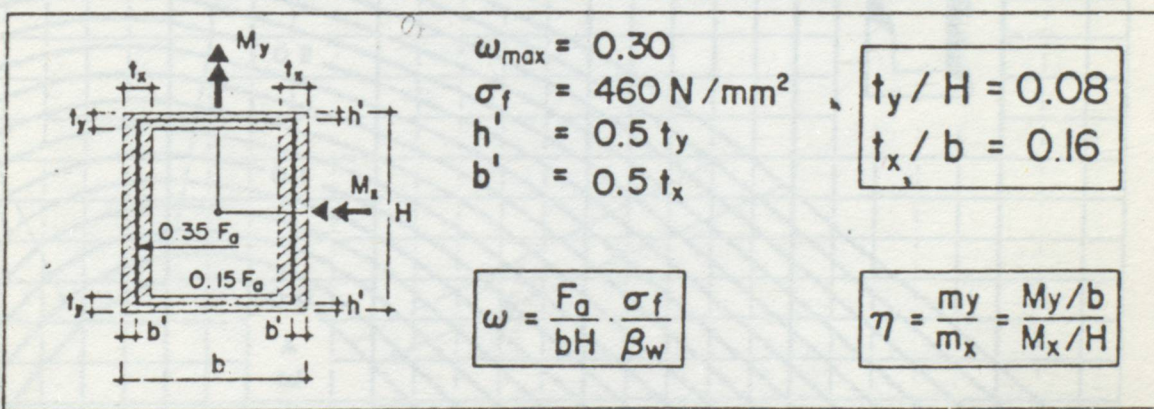
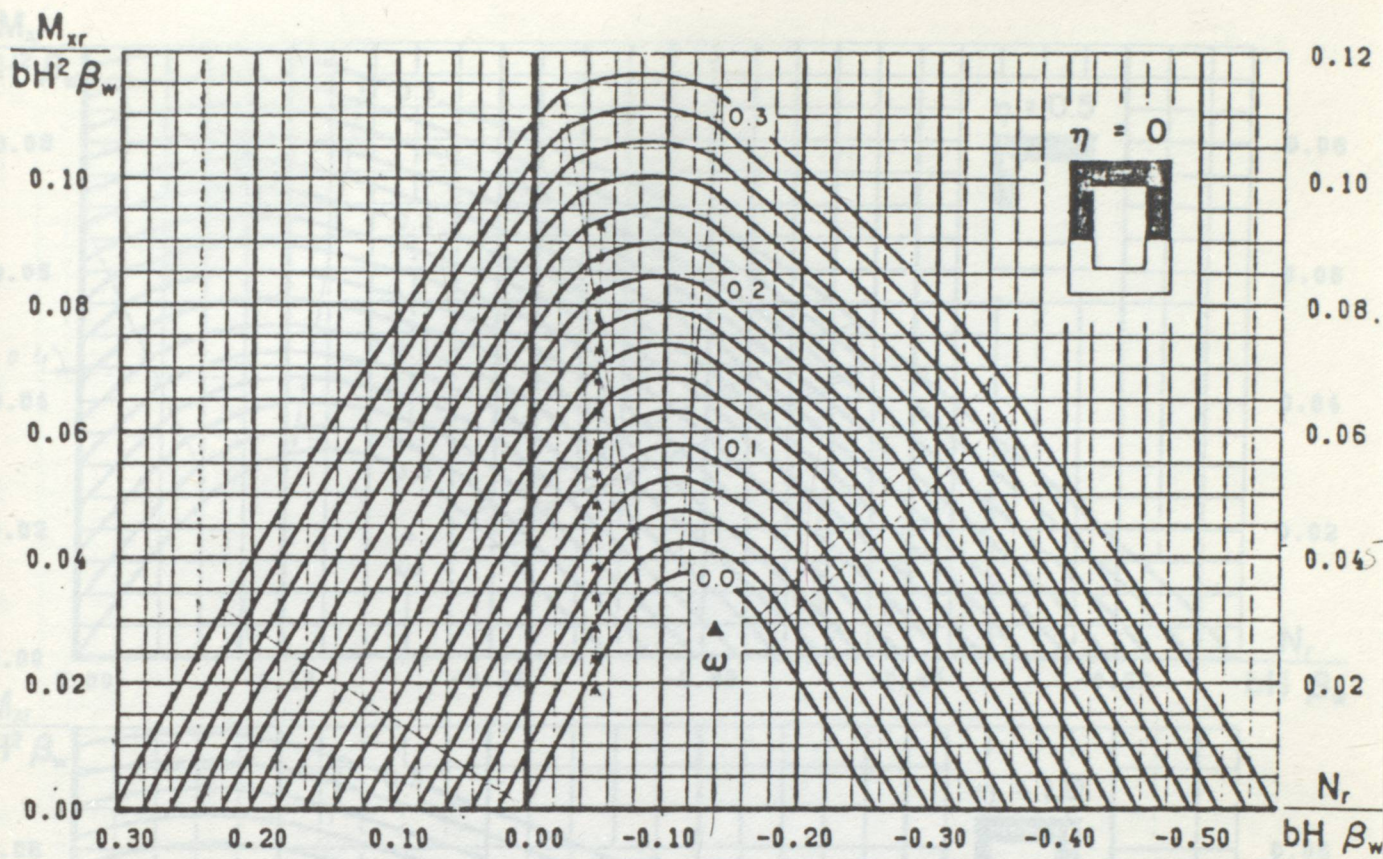


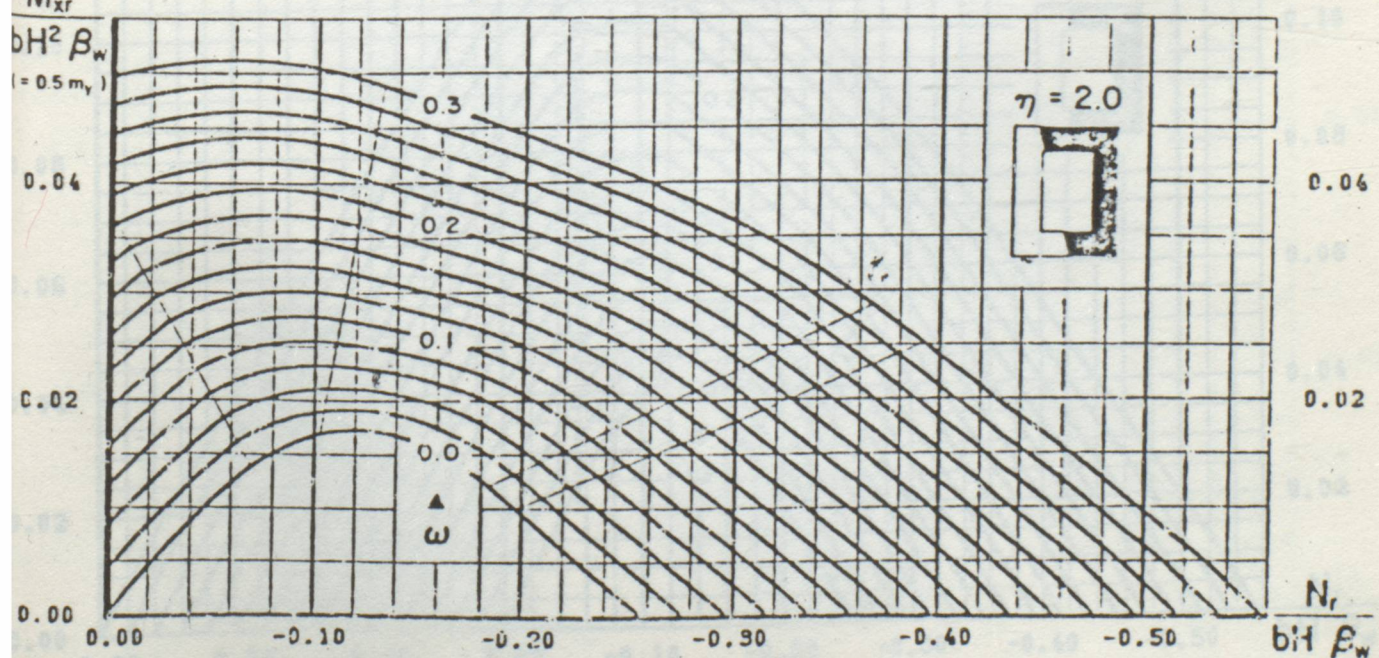
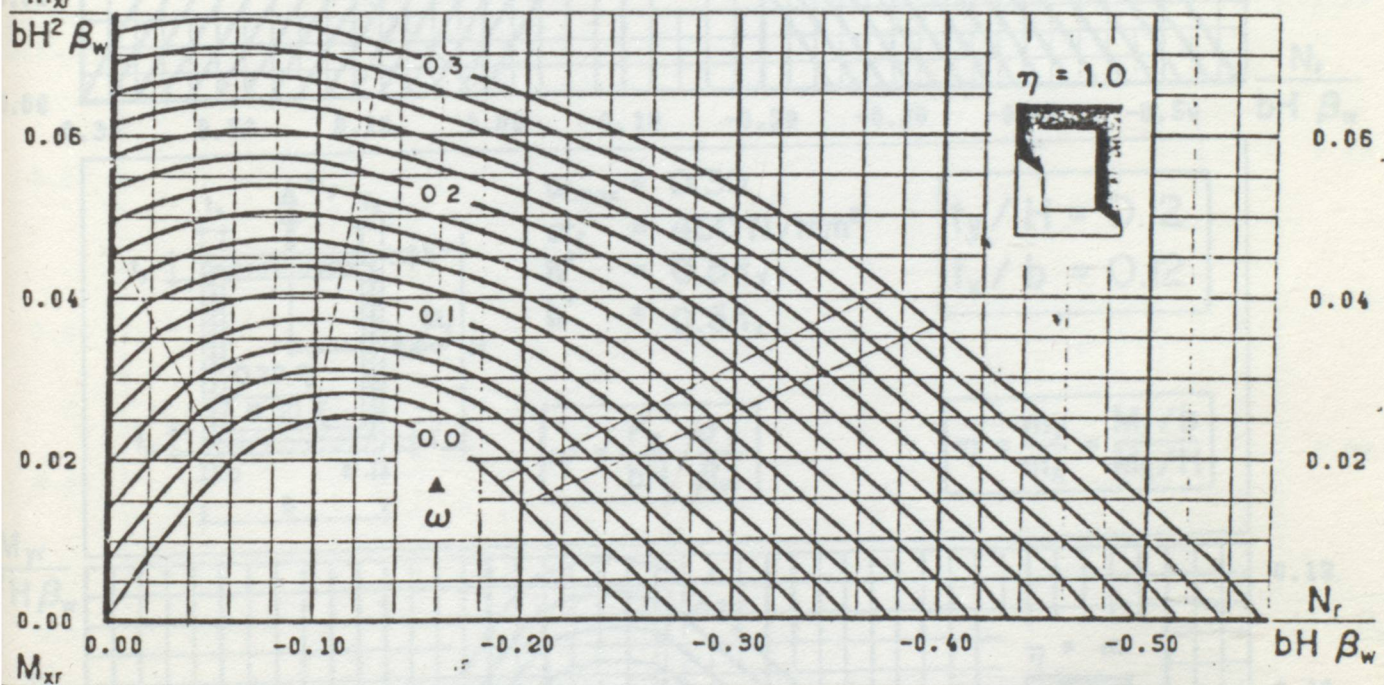
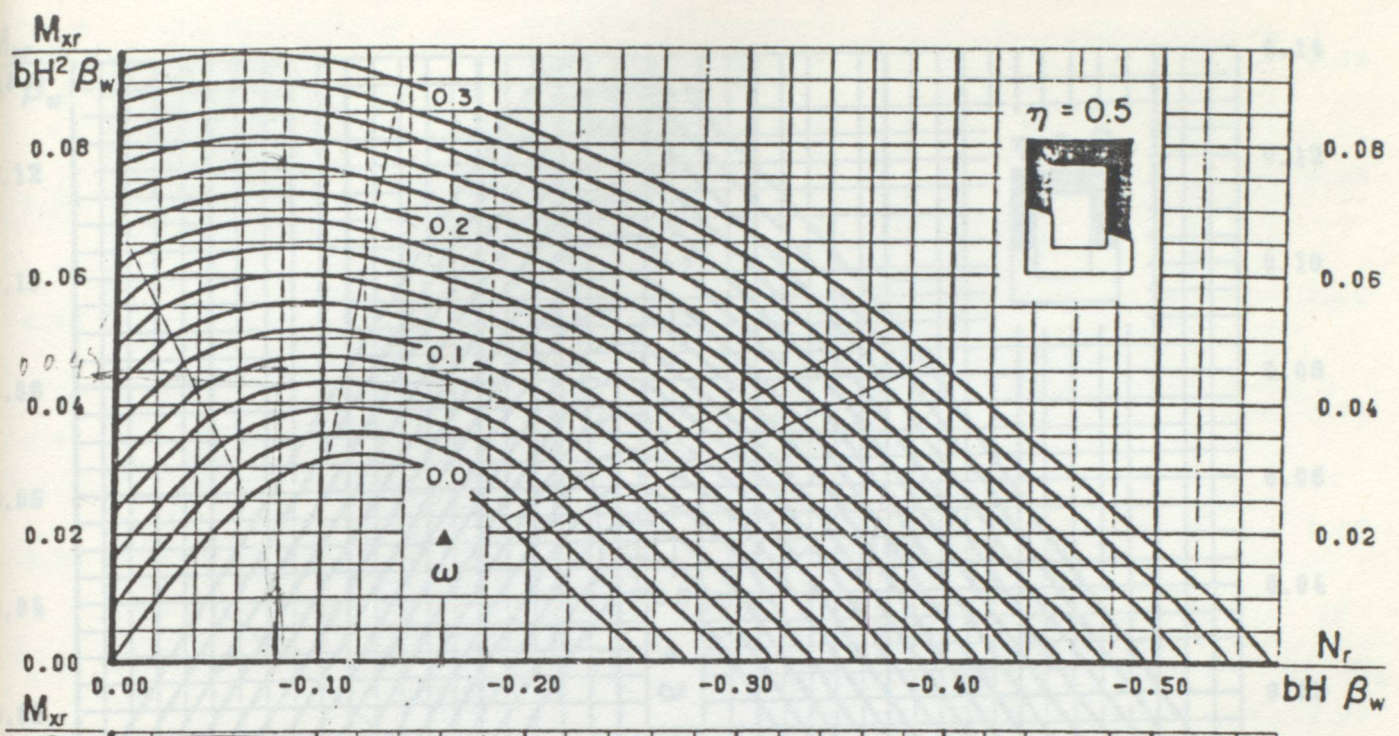


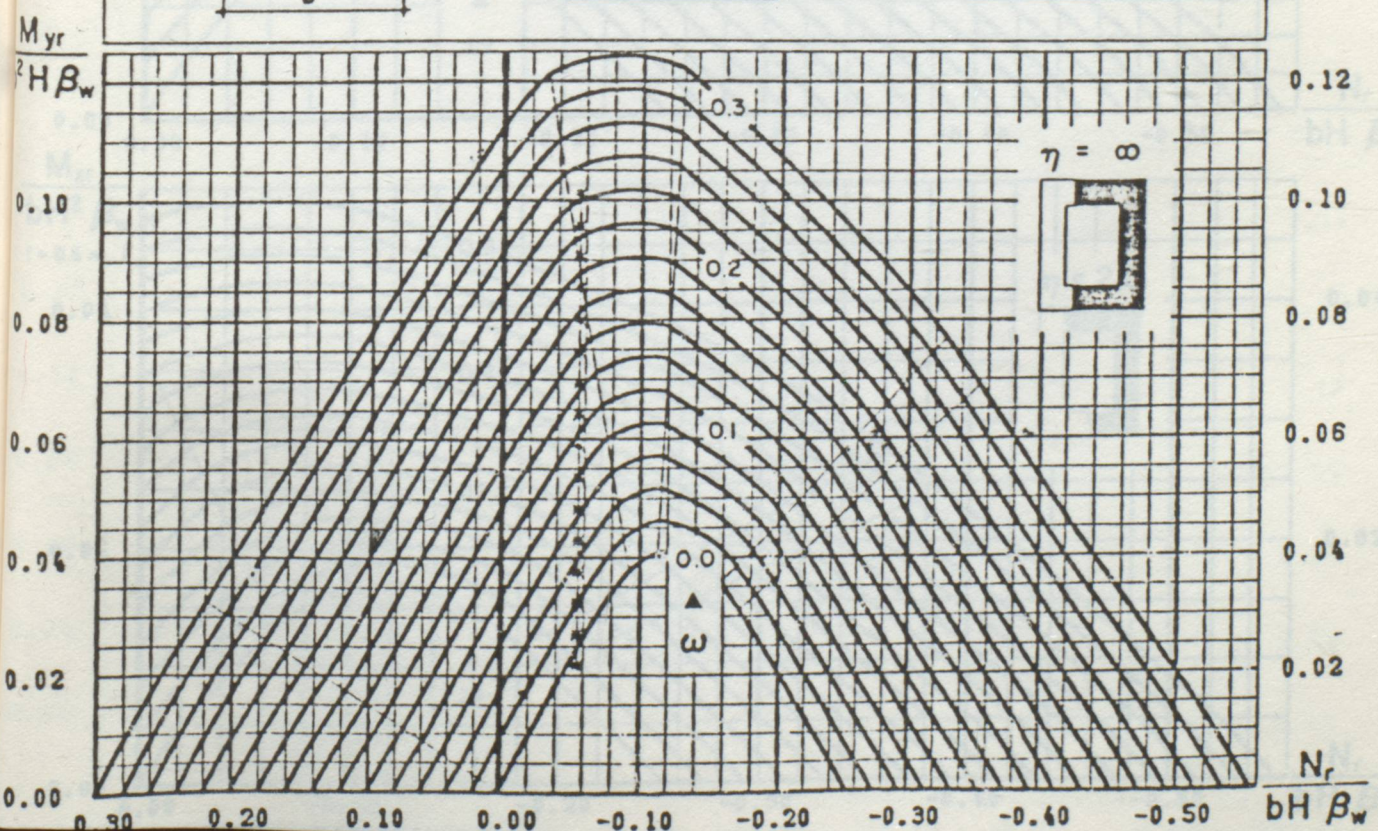
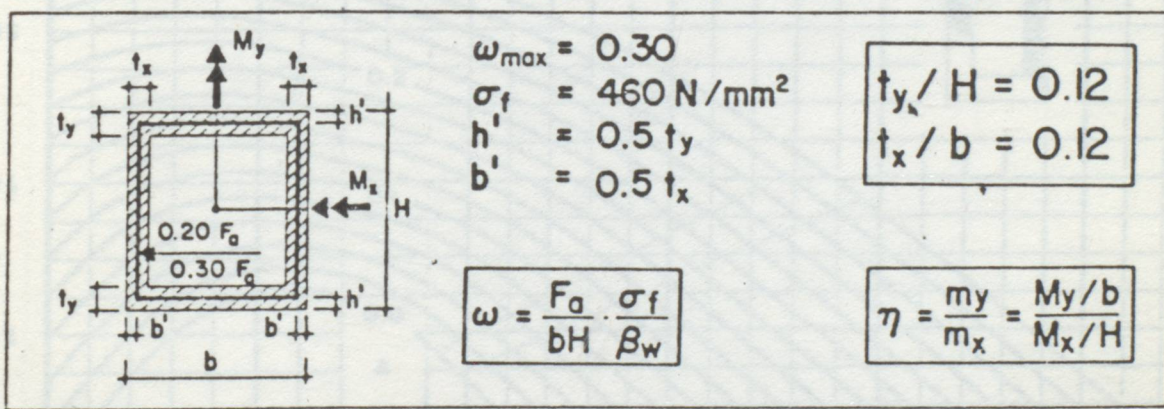
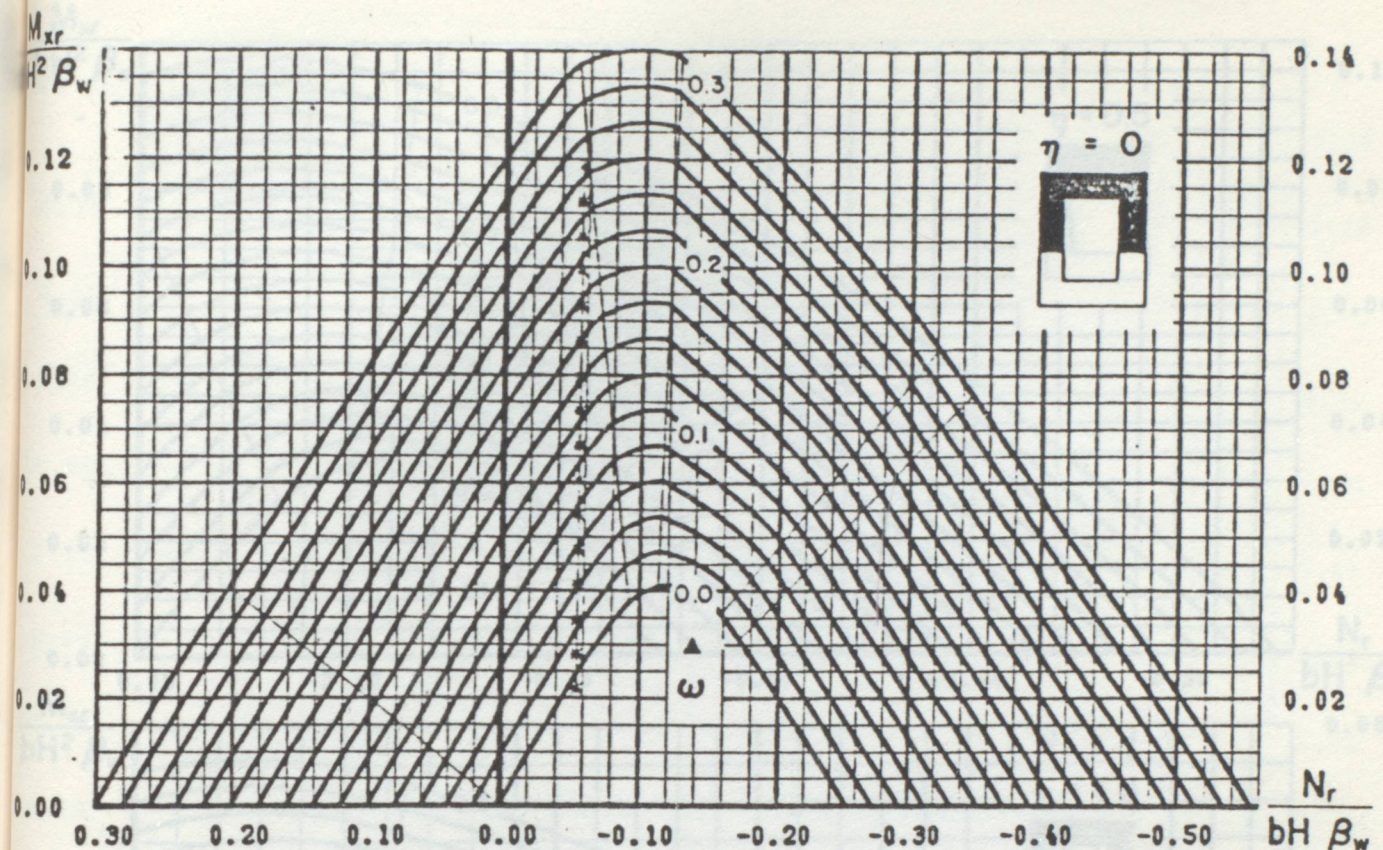


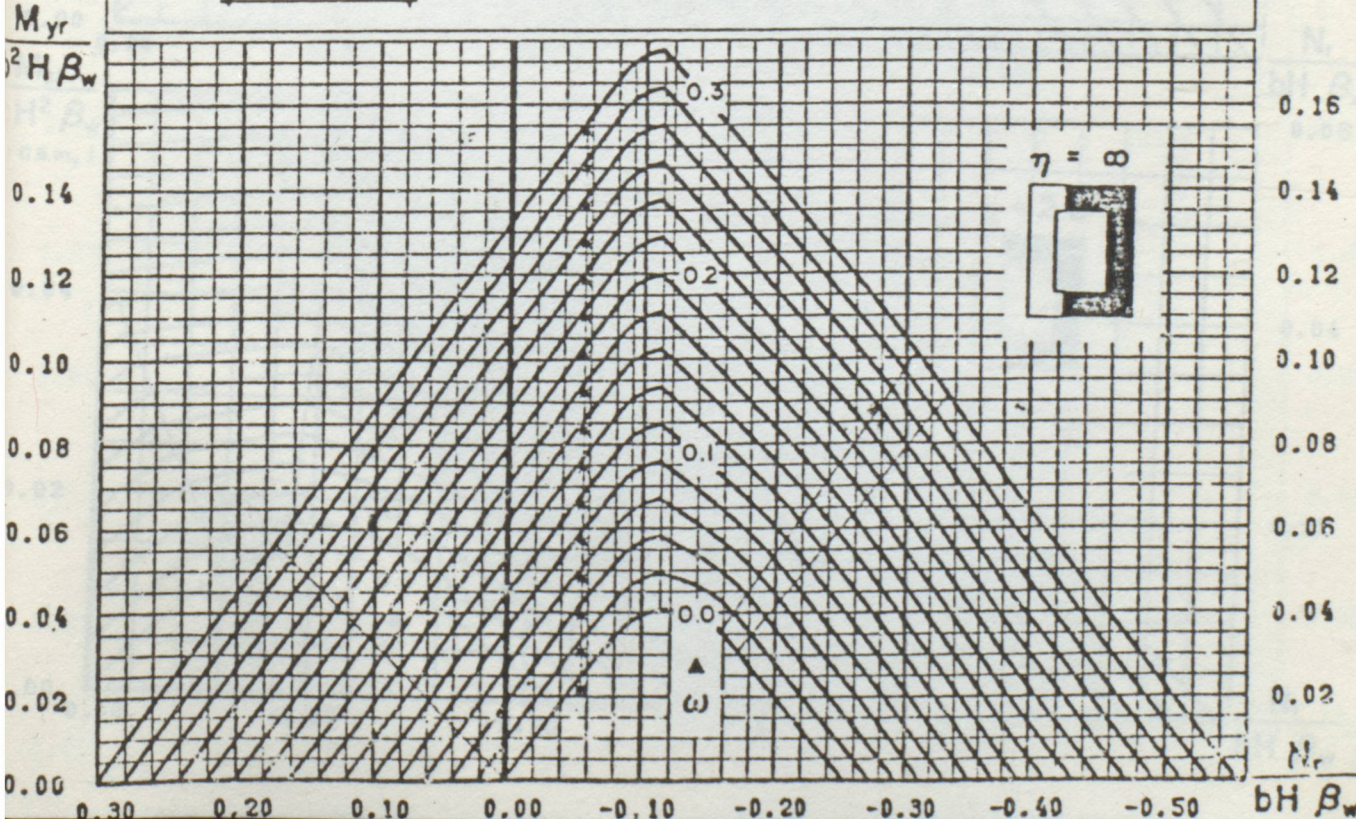
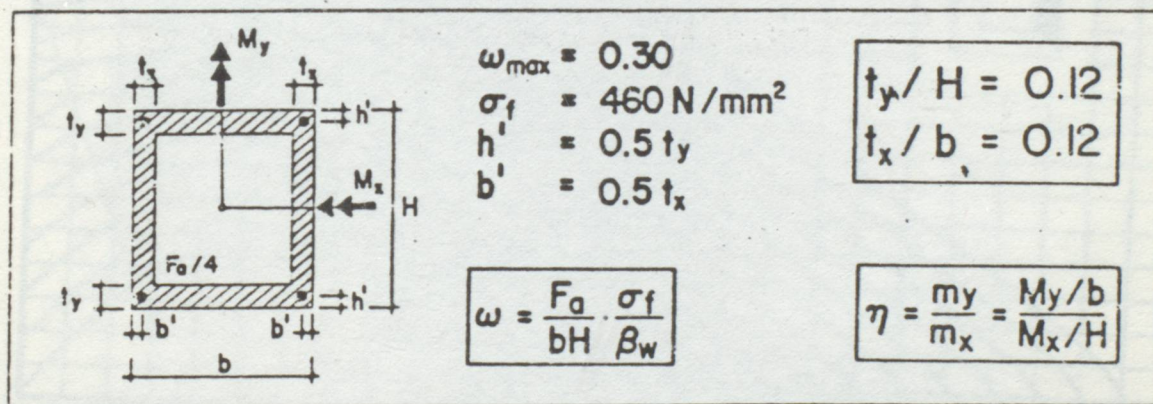
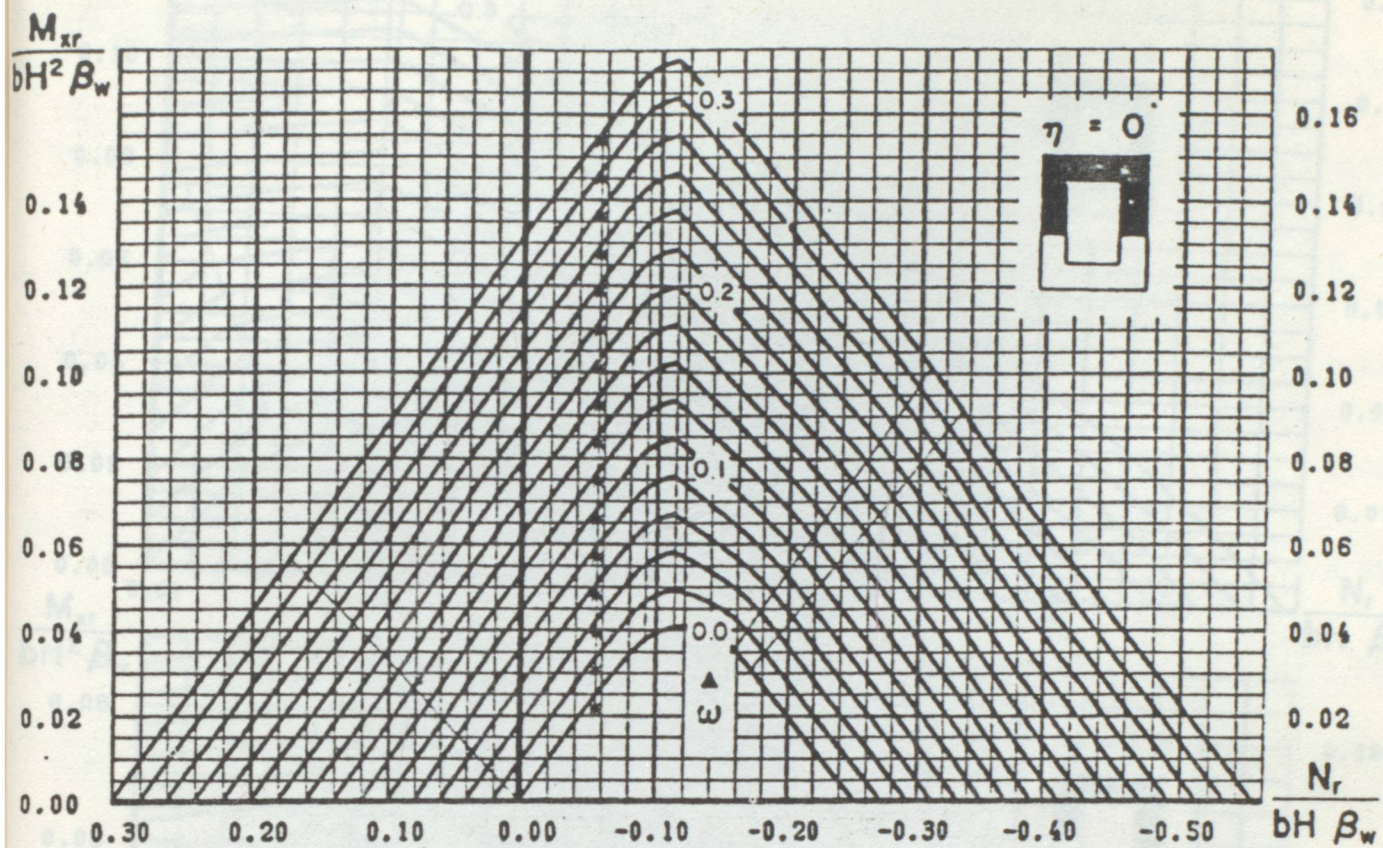


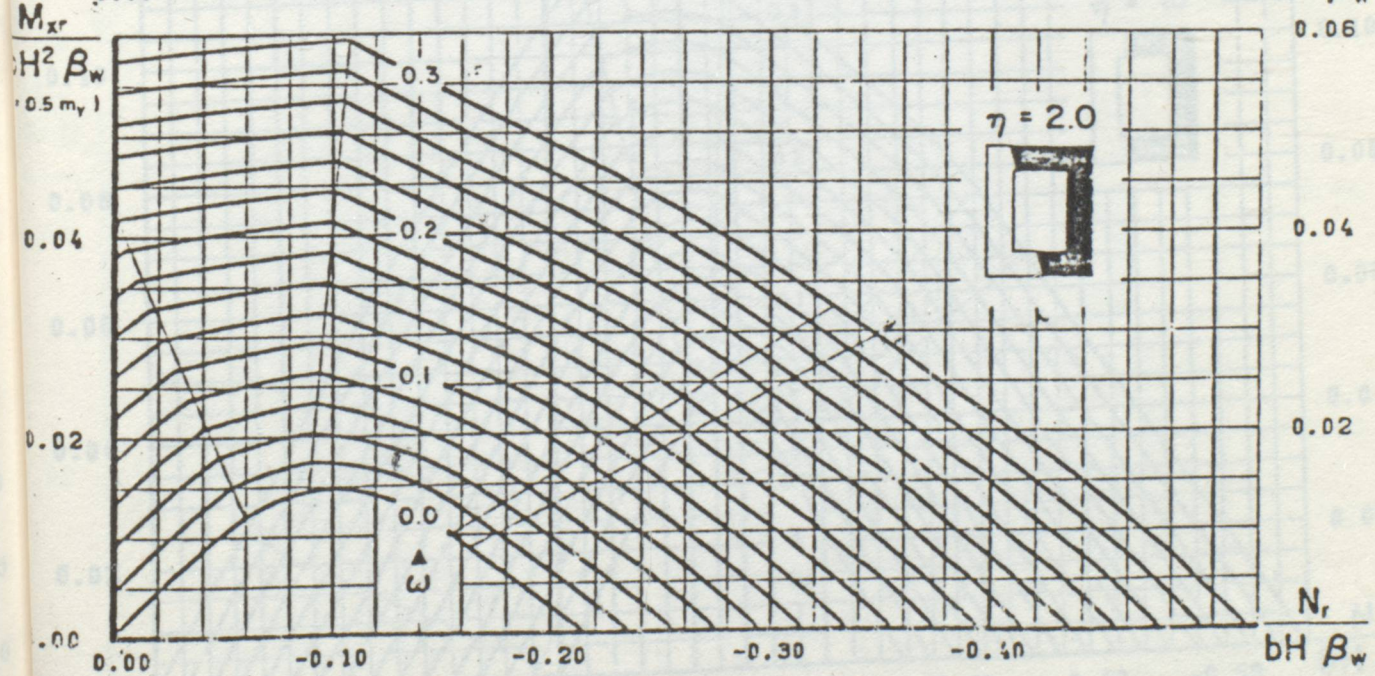
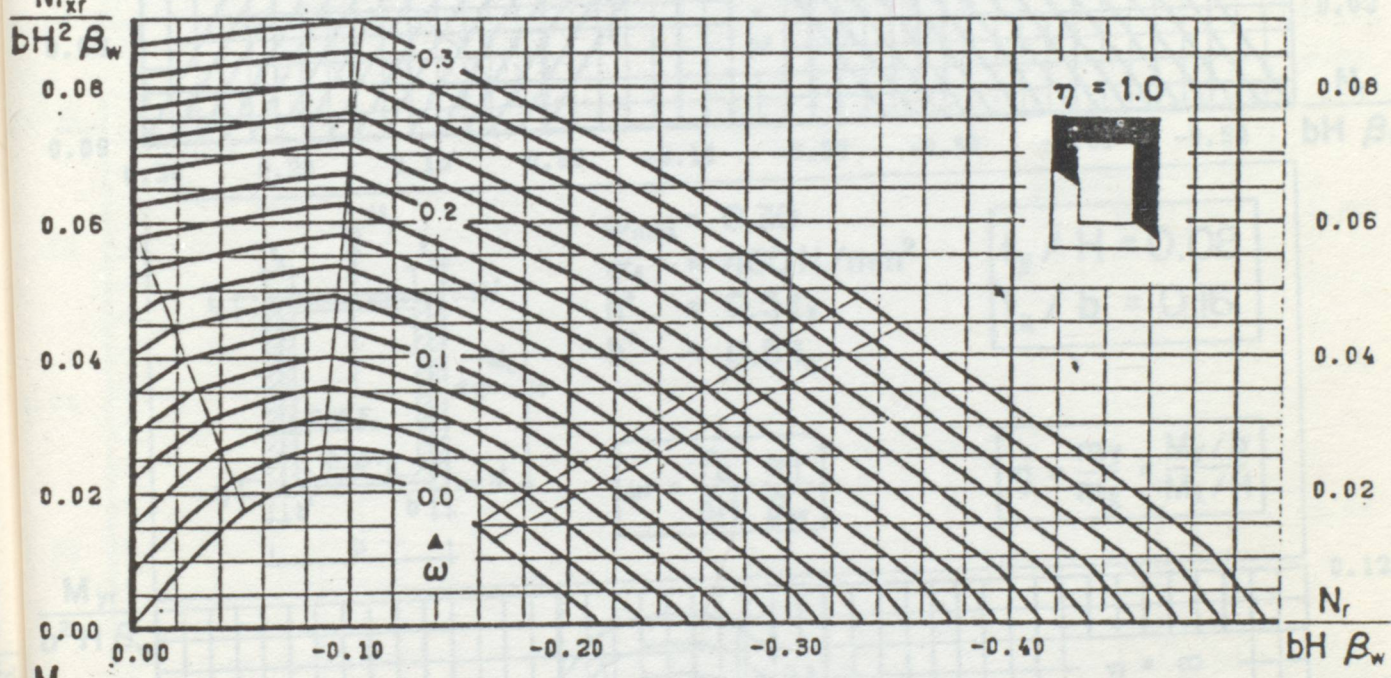
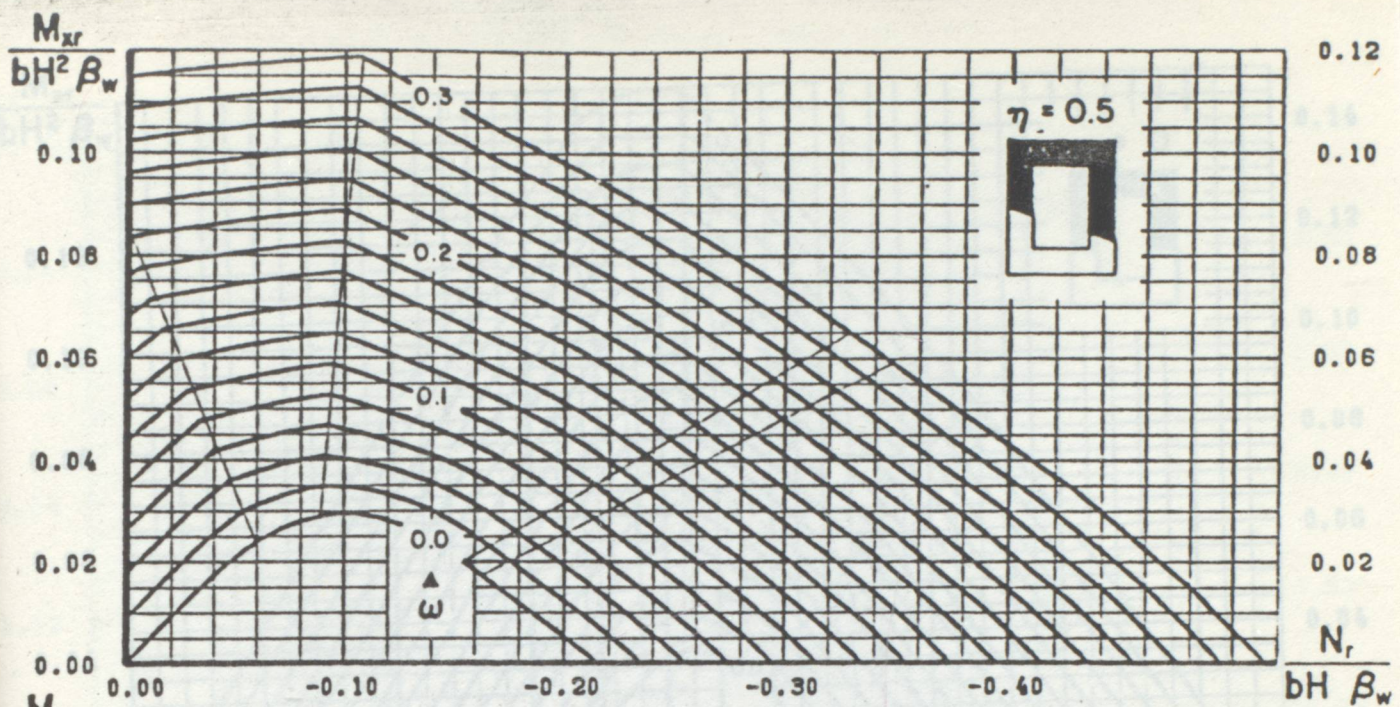


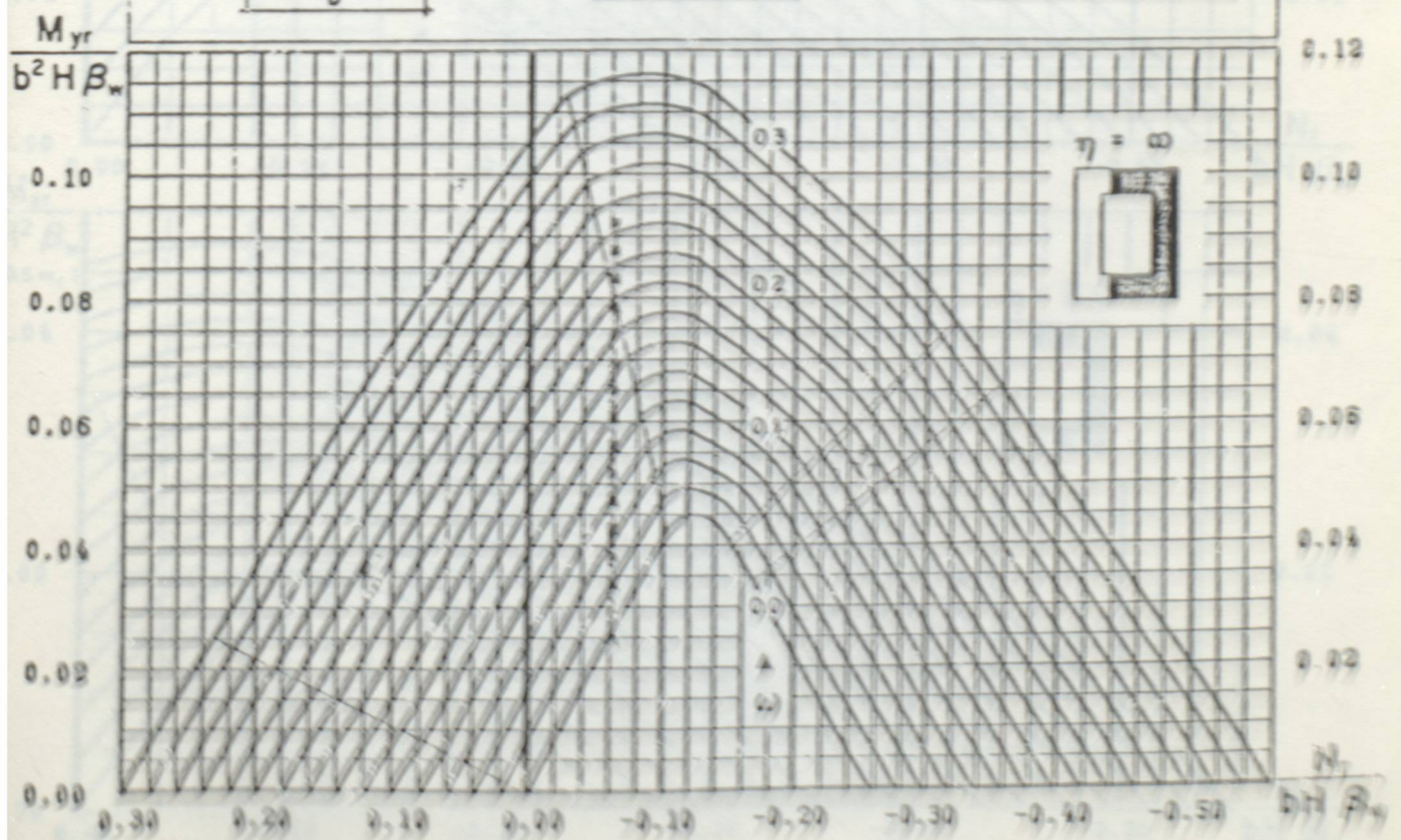
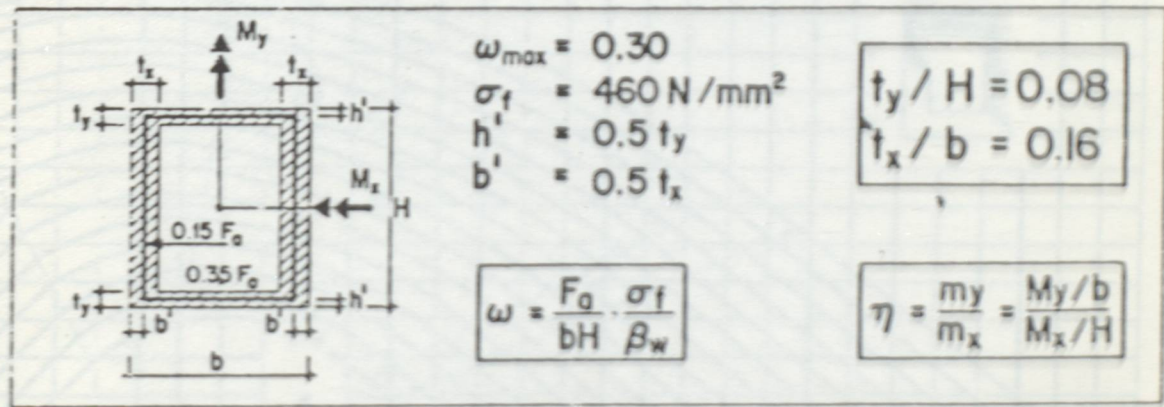
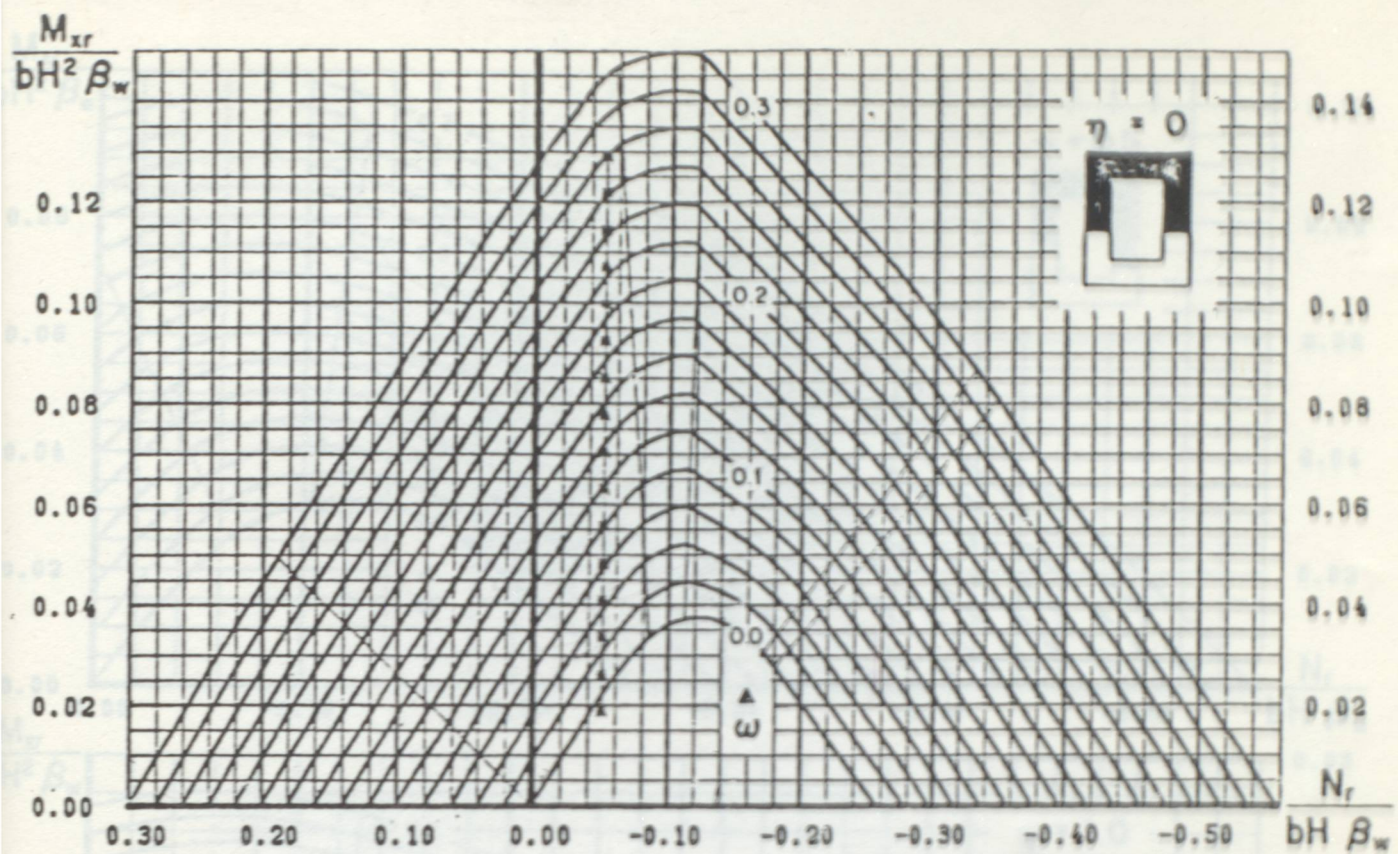


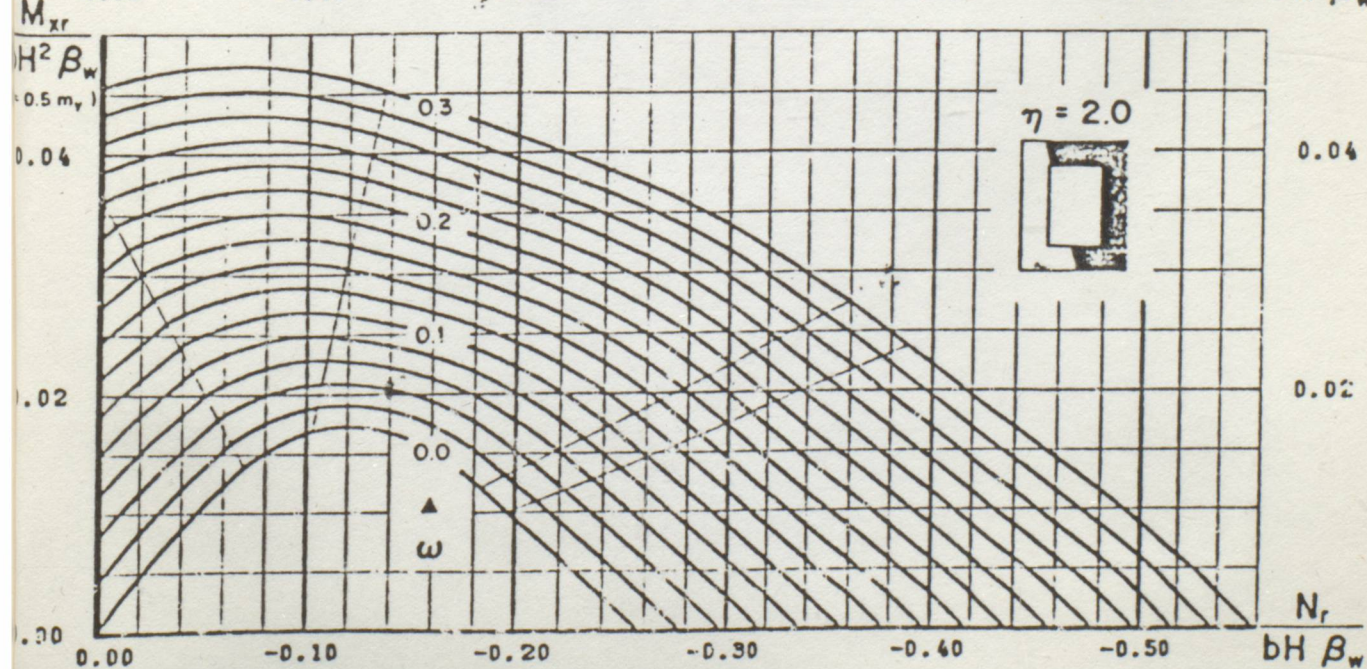
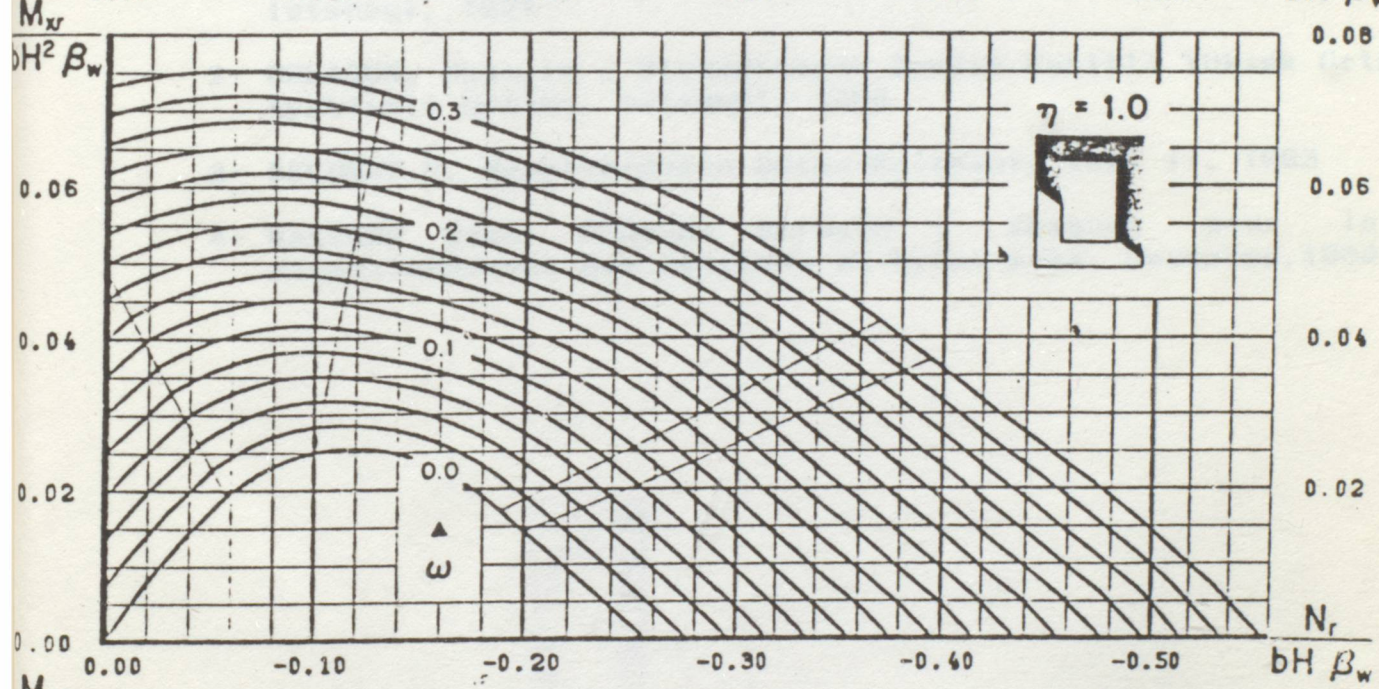
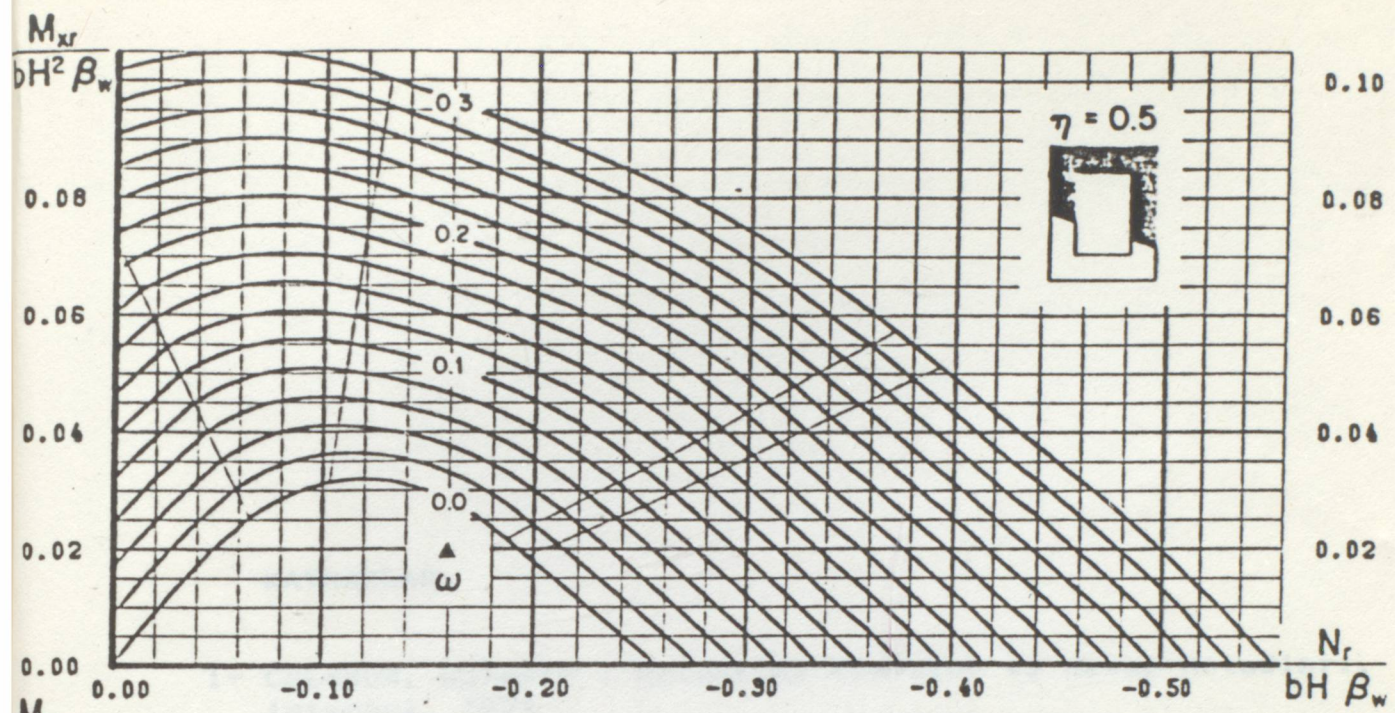


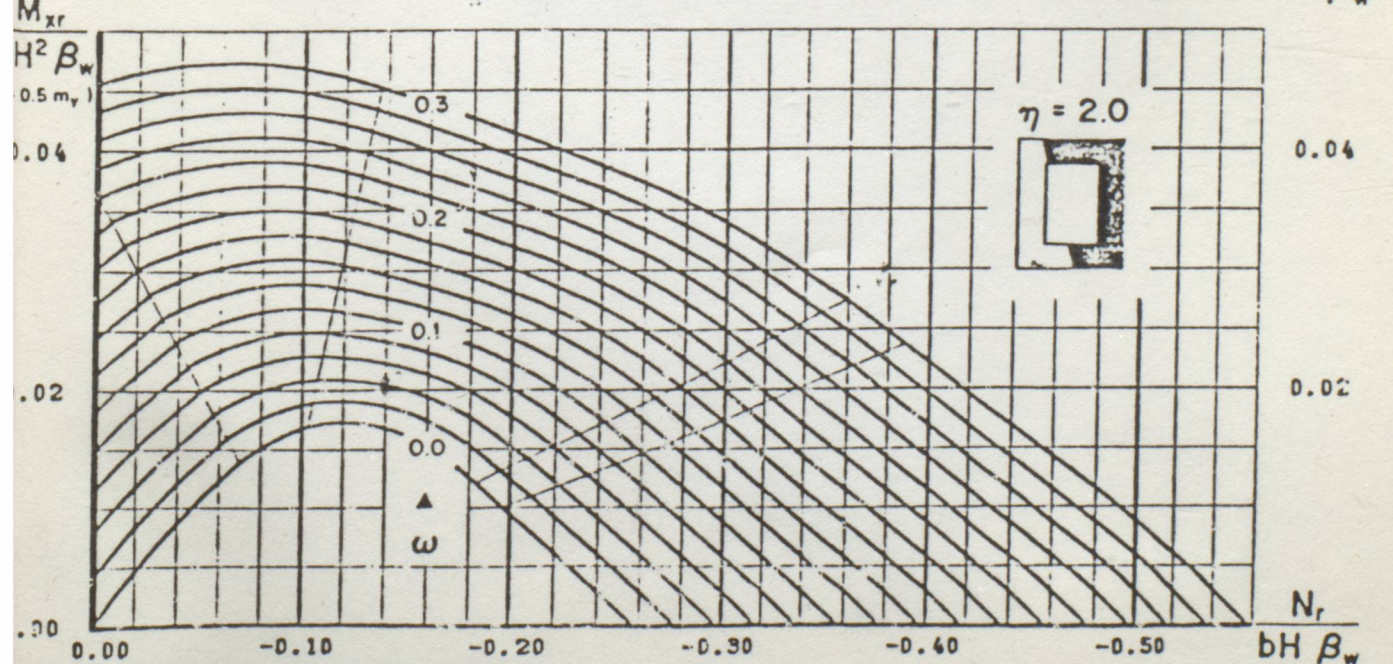
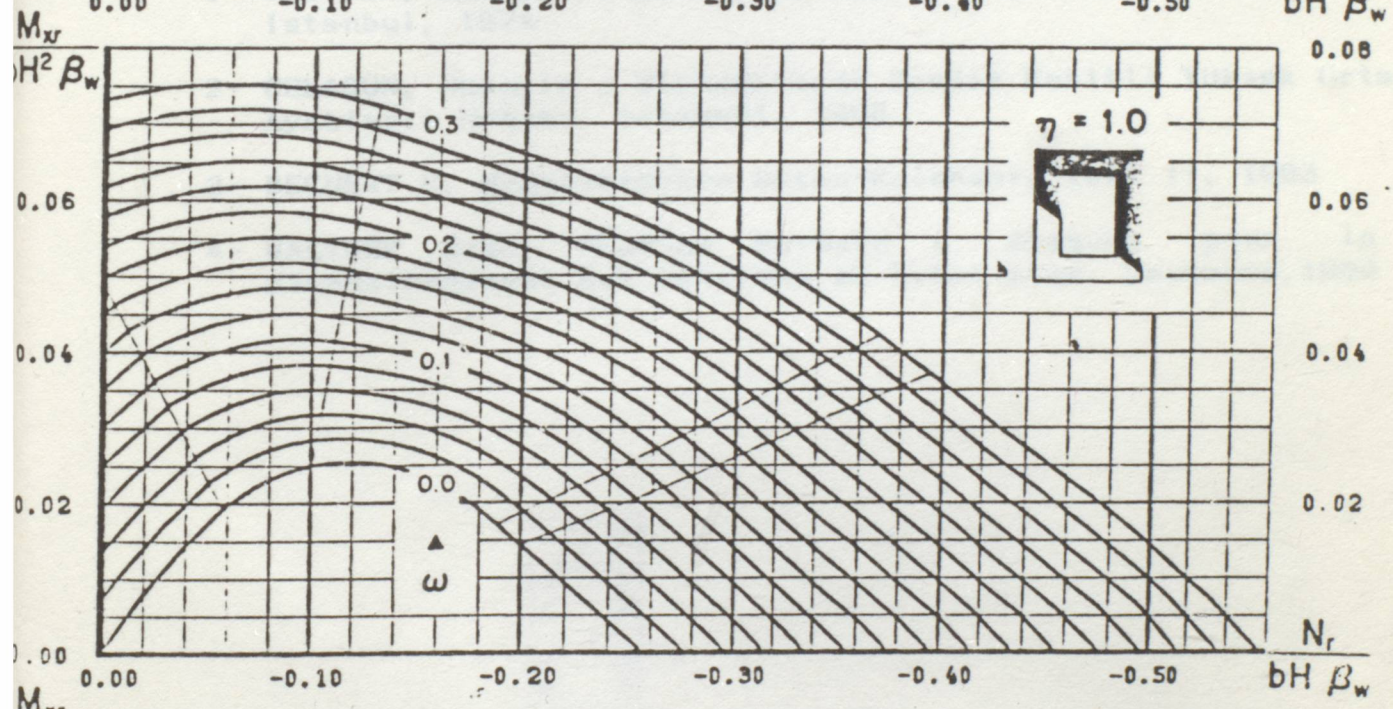
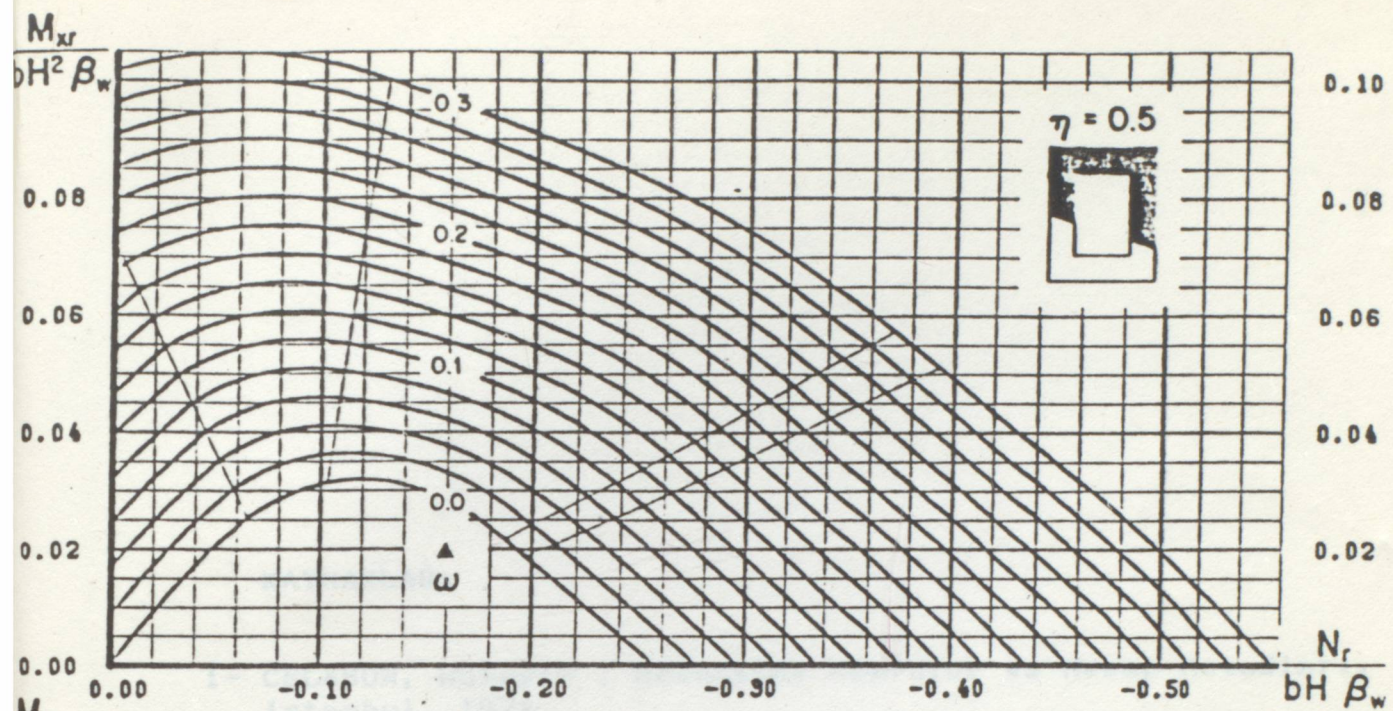












KAYNAKLAR:

- 1- CELASUN, Hüseyin ; Betonarme Köprüler ve Hesap Metodları, İstanbul, 1974
- 2- CELASUN, Hüseyin ; Viyadüklerde Sandık Kesitli Yüksek Orta Ayakların Hesabı, İstanbul, 1988
- 3- BECHERT H. Massivbrücken Beton-Kalender, Teil II, 1983
- 4- WALTHER Rene, HOURIET Bernard ; Abaques pour le dimensionnement des sections en beton armé. Lausanne, 1980





864010000*